

สำนักหอสมุดกลาง พระจอมเกล้าลาดกระบัง

การออกแบบและสร้างแหล่งกำเนิดเลเซอร์
แบบสามอิเล็กโทรด

Design and Construction of a three electrode
power regulated laser



หนังสืออ้างอิง
ห้ามนำออกนอกห้องสมุด

นายสิภณ ลีลายุทธ์โท
MR. SOPHON LEE LAYUTHTO

เลขหมู่ _____
เลขทะเบียน 19825
วัน, เดือน, ปี 13 ๒๕๓๖

วิทยานิพนธ์นี้เป็นส่วนหนึ่งของการศึกษาตามหลักสูตรปริญญาวิศวกรรมศาสตรมหาบัณฑิต
สาขาวิศวกรรมไฟฟ้า
บัณฑิตวิทยาลัย
สถาบันเทคโนโลยีพระจอมเกล้าเจ้าคุณทหารลาดกระบัง
พ.ศ. 2536

ISBN 974-621-000-9

ลิขสิทธิ์ของบัณฑิตวิทยาลัย สถาบันเทคโนโลยีพระจอมเกล้าเจ้าคุณทหารลาดกระบัง

เอกสารนี้เป็นเอกสารที่สงวนไว้สำหรับการใช้งานเพื่อการศึกษาเท่านั้น ไม่อนุญาตให้นำไปใช้ประโยชน์ด้านการค้า
ไม่ว่ากรณีใดๆทั้งสิ้น อีกทั้งห้ามมิให้ตัดแปลงเนื้อหา และต้องอ้างอิงถึงเจ้าของเอกสารทุกครั้งที่มีการนำไปใช้

Design and Construction of a three electrode
power regulated laser



A THESIS SUBMITTED IN PARTIAL FULFILLMENT
OF THE REQUIREMENTS FOR THE DEGREE
MASTER OF ENGINEERING IN ELECTRICAL ENGINEERING
GRADUATE SCHOOL
KING MONGKUT'S INSTITUTE OF TECHNOLOGY LADKRABANG 1993
ISBN 974-621-000-9

เอกสารนี้เป็นเอกสารที่สงวนไว้สำหรับการใช้งานเพื่อการศึกษาเท่านั้น ไม่อนุญาตให้นำไปใช้ประโยชน์ด้านการค้า
ไม่ว่ากรณีใดๆทั้งสิ้น อีกทั้งห้ามมิให้ตัดแปลงเนื้อหา และต้องอ้างอิงถึงเจ้าของเอกสารทุกครั้งที่มีการนำไปใช้

หัวข้อวิทยานิพนธ์

การออกแบบและสร้างแหล่งกำเนิด เลเซอร์
แบบสามอีเลคโทรด

นักศึกษา

นาย โสภณ ลีลายุทธ์โท

อาจารย์ผู้ควบคุมวิทยานิพนธ์

รศ.ดร. สมเกียรติ สุขเกษ

อาจารย์ผู้ควบคุมวิทยานิพนธ์ร่วม

ดร. แคเนียล บริน

ระดับการศึกษา

วิศวกรรมศาสตร์ มหาบัณฑิต สาขาวิศวกรรมไฟฟ้า

ภาควิชา

อิเล็กทรอนิกส์ สถาบันเทคโนโลยีพระจอมเกล้า

เจ้าคุณทหารลาดกระบัง

บทคัดย่อ

วิทยานิพนธ์นี้มุ่งหาการทดลองศึกษาการออกแบบและสร้างแหล่งกำเนิด เลเซอร์แบบสามอีเลคโทรด สำหรับนำไปใช้ในงานผ่าตัดทางการแพทย์ เมื่อคำนึงถึงรูปแบบของกำลังทางออกของ เลเซอร์ที่ใช้ในงานผ่าตัดแล้ว เราพบว่า การออกแบบ เลเซอร์มีความละเอียดอ่อนและยุ่งยากหลายด้านที่ต้องคำนึงถึง ในวิทยานิพนธ์ฉบับนี้ ได้พัฒนารูปแบบที่ง่ายและนำไปใช้งานได้สำหรับการออกแบบ CO₂ เลเซอร์ ที่มีกำลังทางออกแบบโหมคเต็วโดยศึกษาและทดลองหาความสัมพันธ์ต่าง ๆ ของพารามิเตอร์ทั้งหมดที่เกี่ยวข้องกับการออกแบบ รวมทั้งการใช้กราฟที่ทำให้เราสามารถกำหนดผลที่มีต่อปัจจัยอื่น ๆ ของการ เปลี่ยนแปลงพารามิเตอร์หนึ่ง ๆ ในการออกแบบได้และกำลังทางออกของ CO₂ เลเซอร์ที่มีรูปแบบโหมคเต็วนี้ได้ถูกพัฒนาและสร้างให้มีระดับขนาดสูงถึง 50 วัตต์ ซึ่งเป็นระดับกำลังที่สูงพอจะนำไปใช้ในงานผ่าตัดทางการแพทย์ได้

Thesis Title Design and Construction of a three electrode
 power regulated laser
Student Mr. Sophon Leelayuthto
Thesis Advisor Assoc. Prof. Dr. Somkiat Supadech
Thesis Co-advisor Dr. Danial Breen
Level of Study Master of Engineering in Electrical Engineering
Academic Year 1993

ABSTRACT

This thesis concerns the design and construction of a CO₂ laser for use as a laser scalpel. The design involves use of a three electrode discharge tube and a regulated power supply allowing accurate control of output power. Several critical factors must be considered. The design must be simple and rugged providing stable use over a long period. Output power should be in the fundamental mode and reach a level of 50 watts. Choice of design parameters is based on published work and adaptation to the specification required. Details of construction are given and the results of measurements carried out on the completed design. It is concluded that the laser is suitable for medical use in surgical operation.

กิติกรรมประกาศ

วิทยานิพนธ์ฉบับนี้สำเร็จลงได้ด้วยดีก็เพราะได้รับความเมตตาจาก ดร.แดเนียล บริน และ รศ.ดร. สมเกียรติ สุขเกษ ที่ให้ความกรุณาแนะนำแก่ผู้วิจัยตลอดมาผู้วิจัยรู้สึกทราบซึ่งและขอกราบขอบพระคุณเป็นอย่างสูง

ขอขอบพระคุณ ดร.พิเชษฐ์ ลีสมสุวรรณ อาจารย์ภาควิชาฟิสิกส์ คณะวิทยาศาสตร์ สถาบันเทคโนโลยีพระจอมเกล้าธนบุรีที่กรุณาแนะนำแนวทางและช่วยเหลือทางด้านเครื่องมือวิจัย ผู้วิจัยขอกราบขอบพระคุณเป็นอย่างสูง

ขอขอบพระคุณอาจารย์ วิวัฒน์ เผ่าสินจง และ นาย ภิสมณ อัครศรีวรนนท์ ภาควิชาวิศวกรรมไฟฟ้า สถาบันเทคโนโลยีราชมงคล (วิทยาเขตเทเวศน์) ที่ให้ความอนุเคราะห์เกี่ยวกับการจัดหาเครื่องมือวัดที่สำคัญ

สุดท้ายนี้ผู้วิจัยขอกราบขอบพระคุณ คุณพ่อสันติและคุณแม่ยืน ลีลาฤทธิ์ท ที่ให้กำลังใจและทุนทรัพย์ในการทำวิจัยตลอดมา .

นายภิสมณ ลีลาฤทธิ์ท

สารบัญ

	หน้า
บทคัดย่อภาษาไทย	I
บทคัดย่อภาษาอังกฤษ	II
กิตติกรรมประกาศ	III
สารบัญ	IV
สารบัญตาราง	VI
สารบัญภาพ	VII
สัญลักษณ์	IX
คานิยามของศัพท์ที่ใช้	X
บทที่	
1. บทนำ	1
2. เลเซอร์และคาร์บอนไดออกไซด์เลเซอร์	4
- นิยามของ เลเซอร์	4
- ความแตกต่างจากแหล่งกำเนิดแสงอื่น ๆ	6
ทฤษฎีของ เลเซอร์และหลักการ	7
- ความหมายของค่าในเลเซอร์	8
ระดับพลังงานและการ เปลี่ยนระดับ	9
การกระตุ้น	12
- การแผ่รังสีตามธรรมชาติที่ถูกกระตุ้น	13
ขบวนการย้อนกลับของประชากร	14
การขยายและการออสซิลเลท	16
รีโซเนเตอร์ , โหมดและคุณภาพของลำแสง	19
คาร์บอนไดออกไซด์เลเซอร์	25
กลไกการทำงานภายในของคาร์บอนไดออกไซด์เลเซอร์	26
3. กระบวนการออกแบบโครงสร้างของช่องตัวกลางและรีโซเนเตอร์	28
การพิจารณาวิธีการออกแบบทั่วไป	28
การคำนวณหา loss (l) สำหรับการออกแบบ	37
การคำนวณหาอัตราขยาย (g ₀) และความเข้มอิมพัลส์ (I _๒)	39
การคำนวณหากำลังทางออก (P _o)	39

รูปร่าง เรขาคณิตของหลอดและลำแสง	41
รูปแบบการออกแบบพิเศษเฉพาะ	43
4. แหล่งจ่ายไฟสำหรับแหล่งกำเนิดเลเซอร์	49
การคำนวณหาขนาดของทรานส์ฟอร์มเมอร์และไดโอด	49
การคำนวณหาขนาดของฟิลเตอร์คาปาซิเตอร์	52
วงจรควบคุมกระแส	54
5. โครงสร้างของแหล่งกำเนิดเลเซอร์, การทดลองและผลการทดลอง	61
ระบบแก๊สเลเซอร์ที่ไหลผ่าน	61
ระบบระบายความร้อน	62
โครงสร้างของระบบเลเซอร์ทั้งหมดที่ใช้ในการทดลอง	63
การทดลองและผลการทดลอง	66
6. สรุปผลการวิจัยและข้อเสนอแนะ	70
บรรณานุกรม	73
ภาคผนวก ก. แบบแสดงรายละเอียดของหัวปรับกระจกและแท่นวาง แหล่งกำเนิดเลเซอร์	74
ภาคผนวก ข. กราฟแสดงความสัมพันธ์ระหว่างความยาวคลื่นกับ การส่งผ่านของกระจก	77
ประวัติผู้เขียน	83

สารบัญตาราง

ตารางที่	หน้า
1. แสดงการหาค่า $110 / 100$	45
2. ผลการทดลองปรับกระแสและความดันแก๊ส	66



สารบัญภาพ

	หน้า
1. แสดงโครงสร้างอย่างง่ายของเลเซอร์สองชนิด	5
2. แสดงแบบที่สำคัญของการ เปลี่ยนระดับพลังงาน	10
3. แสดงแบบการสันสะเทือนของโมเลกุล CO ₂ สามแบบ	11
4. แสดงการแจกแจงประชากรกับระดับพลังงานที่สภาวะสมดุลย์ และช่วงการย้อนกลับของประชากร	15
5. แสดงคุณสมบัติสำหรับการกำเนิดเลเซอร์	17
6. แสดงปรากฏการณ์ threshold ในเลเซอร์	18
7. แสดงตัวอย่างของการออกแบบช่องในเลเซอร์	20
8. แสดงโหมดค่า ν ที่ถูกสร้างขึ้นจากรีโซเนเตอร์ที่เสถียร	24
9. แสดงโครงสร้างของระดับพลังงานใน CO ₂ เลเซอร์	26
10. แสดงโคอะแกรมโครงสร้างที่แสดงระดับที่ถูกปรับให้ปกติ ของความเข้มพลักซ์	31
11. แสดงสัมประสิทธิ์ของการดับลงที่ดีที่สุด (T_{opt}) สำหรับ กำลังทางออกของการออสซิลเลชันสูงสุด	35
12. แสดงค่าที่ปรับฐานแล้วของความเข้มพลักซ์เอาต์พุตสูงสุด	36
13. แสดง Average single-pass TEM ₀₀ mode loss for a half-symmetric cavity	37
14. แสดง Average single-pass TEM ₁₀ mode loss for a half-symmetric cavity	38
15. แสดงกราฟของกำลังทางออกต่อการส่งผ่านของกระจก สำหรับค่าอัตราขยายและ loss ต่าง ๆ	40
16. แสดงกราฟสามตัวแปรแสดงความสัมพันธ์ระหว่าง พารามิเตอร์ต่าง ๆ ของลำแสง	42
17. แสดงกำลังทางออกสูงสุด (ที่ T_{opt}) ต่ออัตราขยาย	43
18. แสดงการส่งผ่านของกระจกที่ดีที่สุด (T_{opt}) ต่อ g_0L_a	44
19. แสดงอัตราส่วน I_{10} / I_{00} ต่อ Fresnel number ที่ค่า g ต่าง ๆ ..	45
20. แสดงรูปภาพสามตัวแปรสำหรับเลือกพารามิเตอร์ต่าง ๆ ที่ใช้ในการออกแบบ	46
21. แสดงโครงสร้างของแหล่งกำเนิดเลเซอร์แบบสามอิเล็กโทรดที่ ปรับกำลังทางออกได้สูงสุด 50 วัตต์และเป็นโหมด TEM ₀₀	48

22. แสดงพลูเวพบริคจ์เรคตีไฟเออร์	49
23. แสดงรูปคลื่นของความต่างศักย์ที่ไหลลดย่างประมาณของวงจรพลูเวฟ	50
24. แสดงโครงสร้างทางฟิสิกส์ของหลอดคาโทดโรด	54
25. แสดงสัญลักษณ์ทางไฟฟ้าของหลอดคาโทดโรด	55
26. แสดงลักษณะ เออร์โทพของหลอดคาโทดโรด	56
27. แสดงวงจรส่วนควบคุมกระแส	58
28. แสดงวงจรกำเนิดแรงดัน 0 ~ -15 โวลต์	58
29. แสดงวงจรไฟฟารวมที่ใช้ในการทดลอง	59
30. แสดงไดอะแกรมของระบบแก๊สเลเซอร์ที่ไหลผ่าน	61
31. แสดงไดอะแกรมของระบบระบายความร้อน	62
32. แสดงไดอะแกรมของโครงสร้างของระบบเลเซอร์ทั้งหมดที่ใช้ทดลอง	63
33. ภาพถ่ายส่วนหัวปรับกระจก , หลอดแก้วและแท่นวาง	65
34. ภาพถ่ายส่วนแหล่งจ่ายไฟ	65
35. แสดงกราฟความสัมพันธ์ของกำลังทางออกของ เลเซอร์กับกระแส คิสซาร์จที่ค่าความดันต่าง ๆ	67
36. แสดงกราฟความสัมพันธ์ของกำลังทางออกของ เลเซอร์กับความดัน ที่ค่ากระแสคิสซาร์จต่าง ๆ	67
37. แสดงภาพถ่ายของโรหมคของกำลังทางออกที่ตกกระทบบนแผ่น พลาสติกหนา 3 mm.	68
38. แสดงภาพวาดภาคตัดขวางของรูป 5.4-3	68

VIII

เอกสารนี้เป็นเอกสารที่สงวนไว้สำหรับการใช้งานเพื่อการศึกษาเท่านั้น ไม่อนุญาตให้นำไปใช้ประโยชน์ด้านการค้า
ไม่ว่ากรณีใดๆทั้งสิ้น อีกทั้งห้ามมิให้ดัดแปลงเนื้อหา และต้องอ้างอิงถึงเจ้าของเอกสารทุกครั้งที่มีการนำไปใช้

สัญลักษณ์ (List of Symbol)

สัญลักษณ์	ความหมาย	หน่วย
E	พลังงาน	eV
V	ความถี่ของแสง	Hz
λ	ความยาวคลื่นของแสง	μm
A_T	พื้นที่หน้าตัดของหลอด เลเซอร์	m^2
D_T	เส้นผ่าศูนย์กลางของหลอด เลเซอร์	m
I	ความเข้มของแสง	W/m^2
P_o	กำลังของแสง เลเซอร์	W
T	การส่งผ่าน (Transmission)	-
L_o	ระยะระหว่างกระจกสะท้อนทั้งสองด้าน	m
L_A	ระยะที่มีการกระจาย	m
W	รัศมีของลำแสง เลเซอร์ที่ความเข้มลดลง $1/e^2$	mm
l	loss ภายในระบบ	-
h	ค่าคงที่ของ Planck (= 6.6256×10^{-34} Js)	Js
I_s	Saturation intensity	W/m^2
g	สัมประสิทธิ์อัตราขยายอิมคิว	-
g_o	สัมประสิทธิ์อัตราขยายไม่อิมคิว	-
N	Fresnel number	-
R	รัศมีความโค้งของกระจก	m
TEM	Transverse electromagnetic mode	-

คำนิยามศัพท์

1. **Achromatic** เป็นอุปกรณ์ทางแสงซึ่งถูกออกแบบเพื่อ หักเหตแสงที่มีความยาวคลื่นต่างกันในมุมเดียวกัน โดยทั่วไป achromatic lenses ทำมาจากส่วนประกอบสองอย่างหรือมากกว่าที่มีดัชนีหักเหแตกต่างกันและถูกออกแบบสำหรับใช้ที่ความยาวคลื่นที่มองเห็นได้อย่างเดียว
2. **Active medium** ตัวกลางในเลเซอร์เป็นวัสดุซึ่งทำให้เกิดการแผ่ที่ถูกระตุ้นและขยาย โดยทั่วไปชื่อของเลเซอร์ก็ได้มาจากตัวกลาง ตัวอย่างเช่น ฮีเลียม-นีออนเลเซอร์ มีตัวกลางที่พลังงานจะถูกส่งจากอะตอมฮีเลียม (ซึ่งเป็นอะตอมที่ดูดพลังงานกระตุ้นเอาไว้) ไปยังอะตอมนีออนซึ่งเป็นอะตอมที่แผ่รังสีออกไป
3. **Amplifier (laser)** เป็นอุปกรณ์ซึ่งขยายแสงที่ถูกสร้างมาจากแหล่ง เลเซอร์ภายนอก แต่ไม่มีกระจกที่จะทำให้ออสซิลเลชันและไม่ขึ้นอยู่กับการสร้างลำแสงเลเซอร์สิ่ง เกตุว่าคำนี้ไม่ค่อยจะถูกใช้มากนัก
4. **Angstrom** หน่วยความยาวเท่ากับ 10^{-10} เมตร หรือ 0.1 นาโนเมตร เป็นหน่วยที่ใช้กันมากในการวัดความยาวคลื่น แต่อังสตรอมไม่ได้เป็นส่วนหนึ่งของระบบ SI
5. **Aperture** รูบนพื้นผิวที่แสงส่องผ่านโดยทั่วไปจะใช้ก่าจำกัดขอบนอกของลำเลเซอร์ นั่นคือทำให้เรียบและจำกัดแสงที่จะกระจายออกและสร้างขอบของลำแสงให้ชันมากกว่าที่จะให้ขอบลาดเอียงตามที่เลเซอร์เป็นอยู่ Aperture อาจจะใช้คำว่า spatial filter แทนได้ซึ่งจะให้รายละเอียดที่มากกว่า
6. **Average power** จำนวนเฉลี่ยของกำลัง (ปกติวัดเป็นวัตต์) ที่ถูกแผ่ออกมาโดยเลเซอร์ค่านี้จะเท่ากับพลังงานต่อหนึ่งพัลส์ (ในหน่วยจูล) คูณกับจำนวนพัลส์ต่ออนาที และจะมีความหมายเหมือนกันสำหรับพัลส์เลเซอร์ที่เร็วมาก ๆ
7. **Beam diameter** เส้นผ่าศูนย์กลางของลำแสง เลเซอร์มักจะถูกพิจารณาขอบเขตไปถึงจุดที่ความเข้มของแสงในลำแสงลดลงไป $1/e^2$ (0.135) ของความเข้มสูงสุด
8. **Coherence** คุณสมบัติของคลื่นแม่เหล็กไฟฟ้าที่มีความยาวคลื่นเดียวกันและมีเฟสเดียวกัน
9. **Coherence length** ระยะทางตลอดช่วงที่แสงจาก เลเซอร์ยังคงรักษาคุณสมบัติ coherence ของมันไว้หลังจากที่มันแผ่ออกจาก เลเซอร์
10. **Concave** ความโค้งเข้า เป็นพื้นผิวที่มีรูปร่างเหมือนกับภายในของชาม
11. **Convex** ความโค้งออก เป็นพื้นผิวที่มีรูปร่างเหมือนกับผิวนอกของลูกบอล

12. **Efficiency** สำหรับในเลเซอร์คือ เบอร์เซนต์ของพลังงานที่ป้อนเข้าไปในเลเซอร์ซึ่งจะปรากฏออกมาเป็นลำแสงเลเซอร์ นิยามตามความรู้สึกทั่วไป ๆ คือ " wall-plug " เป็นเบอร์เซนต์ของกำลังไฟฟ้าที่ป้อนให้กับแหล่งจ่ายไฟ ซึ่งปรากฏออกมาเป็นลำแสงเลเซอร์ อย่างไรก็ตามมีคนวัดประสิทธิภาพโดยคิดจากจำนวนของพลังงานที่ปรากฏออกมาจากแหล่งจ่ายไฟหรือถูกดูดไว้จริงโดยตัวกลางเลเซอร์ ซึ่งในทางปฏิบัติแล้วจะทำให้ค่าที่สูงขึ้นเพราะไม่ได้คิดการสูญเสียในแหล่งจ่ายไฟและขบวนการสะสมพลังงาน
13. **Electronic transition** การเปลี่ยนระดับพลังงานที่ซึ่งอิเล็กตรอนในอะตอมหรือโมเลกุลเคลื่อนที่จากระดับพลังงานหนึ่งไปยังอีกระดับหนึ่ง โดยทั่วไปการเปลี่ยนระดับพลังงานแบบนี้ให้พลังงานมากกว่าแบบ vibrational
14. **Electrical pumping** การสะสมพลังงานเข้าไปในตัวกลางเลเซอร์ โดยผ่านกระแสไฟฟ้าหรือการคิซซาร์จหรือลาของอิเล็กตรอนในวัสดุ อิเล็กตรอนจะส่งผ่านพลังงานในตัวมันเข้าไปในตัวกลางเลเซอร์เพื่อให้พลังงานกระตุ้นที่จำเป็นสำหรับการเกิดเลเซอร์
15. **Focal length** สำหรับจุดประสงค์ในทางปฏิบัติ ความยาวโฟกัสหมายถึงระยะทางจากเลนส์ ที่ซึ่งรังสีขนานเริ่มต้นที่แกนของเลนส์ไปจนถึงจุดที่รังสีขนานกลายเป็นจุดในกรณีของ negative lens ซึ่งเบี่ยงเบนรังสีที่กว้างออกแทนที่จะแคบเข้า จุดโฟกัสที่ซึ่งจะเข้าวัดความยาวโฟกัสจะเป็นจุดที่รังสีปรากฏย้อนไปข้างหลังของเลนส์และความยาวโฟกัสจะมีเครื่องหมายเป็นลบ
16. **Gaussian beam** ลำแสงเลเซอร์ที่ซึ่งความเข้มมีค่าสูงสุดที่ศูนย์กลางของลำแสงแล้วค่อย ๆ ลดลงอย่างลาดเอียงไปจนถึงขอบ รูปร่างของความเข้มที่ถูกวัดตกคร่อมศูนย์กลางของลำแสงเป็นเส้นโค้งแบบ Gaussian
17. **Intensity** จำนวนของแสงที่ตกกระทบต่อหน่วยพื้นที่ สำหรับมนุษย์ที่มองเห็นแสงที่มองเห็นได้ จะใช้คำว่า ความส่องสว่าง (illuminance) ส่วนการแผ่รังสีแม่เหล็กไฟฟ้าจะใช้คำว่า เส้นแรงแรังสี (radiant flux)
18. **Laser** เป็นคำย่อของ " light amplification by the stimulated emission of radiation " ถูกใช้กับอุปกรณ์หลากหลายที่ทำการกำเนิดแสงโดยหลักการนี้ ถ้าเปรียบเทียบกับแหล่งกำเนิดแสงอย่างอื่นแล้วแสงเลเซอร์จะมีช่วงความยาวคลื่นแคบมาก , เป็นแสงต่อเนื่องและมีทิศทาง
19. **Laser tube** หลอดแก้ว (หรือวัสดุอื่น) ที่ถูกเติมไว้ด้วยแก๊สเลเซอร์และมีอุปกรณ์รวบรวมแสงต้องการท่อหุ้มจากภายนอกและแหล่งจ่ายไฟ

20. **Maser** เป็นคำย่อของ " microwave amplification by the stimulated emission of radiation " ไมโครเวฟคล้ายกันกับเลเซอร์ แต่ถูกค้นพบก่อน มันเป็นตัวกำเนิดไมโครเวฟต่อเนื่องโดยการแผ่รังสีไมโครเวฟที่ถูกกระตุ้น
21. **Mode** เป็นเงื่อนไขแสดงประสิทธิภาพของการออสซิลเลชันเลเซอร์ เลเซอร์สามารถทำงานในหนึ่งโหมด (single mode) หรือหลายโหมด (multimode) และมีทั้งโหมดตามขวาง (transverse) และตามแกนยาว (longitudinal)
22. **Monochromatic** ที่มีความยาวคลื่นเดียวหรือความถี่เดียว ในความเป็นจริงแสงไม่สามารถมี monochromatic ได้ แต่มีช่วงความยาวคลื่นกว้างเป็นแถบ ความกว้างของช่วงนี้เป็นตัวกำหนดว่า monochromatic ของแสงเป็นอย่างไร
23. **Peak power** กำลังสูงสุดที่ส่งออกมาอย่างทันทีทันใด ระหว่างพัลส์ของแสงเลเซอร์ ulybpd คำนีจะมากกว่ากำลังเฉลี่ยตลอดช่วงไซเคิลของพัลส์
24. **Population inversion** การกระจายพลังงานที่มีจำนวนอะตอม หรือโมเลกุลอยู่ในระดับพลังงานชั้นสูงมากกว่า ที่อยู่ในระดับพลังงานชั้นต่ำ ถ้าการเปลี่ยนระดับพลังงานเป็นไปได้ระหว่างระดับพลังงานสองชั้นนี้ ก็สามารถกล่าวได้ว่ามีการเกิด population inversion กล่าวคือ ประชากรย้อนกลับกับสถานการณ์ที่ภาวะสมดุลเทอร์โมไดนามิกส์ ที่มีจำนวนอะตอมหรือโมเลกุลอยู่ในระดับพลังงานชั้นต่ำมากกว่าที่อยู่ในระดับพลังงานชั้นสูง
25. **Positive lens** เลนส์ซึ่งโฟกัสรังสีขนานกับแกนทางแสงของมัน ให้เล็กลงเป็นจุดซึ่งเป็นสาเหตุให้ลำแสงลู่เข้า (converge) และความยาวโฟกัสของมันจะมีค่าเป็นบวก
26. **Power / Energy meter** เครื่องมือที่ใช้วัดจำนวนกำลังทางแสง (วัตต์) หรือพลังงาน (จูล) มันสามารถทำงานได้ในช่วงแสงที่มองเห็นได้ , อินฟราเรด หรืออุลตราไวโอเล็ต และตรวจจับลำแสงแบบพัลส์หรือแบบต่อเนื่องก็ได้ คำนีจะวัดทั่วไปได้สามารถรวมเข้าไว้เป็นพวกของเครื่องมือวัดแสง ulybpd ไม่พิจารณาการปรับแต่งของมัน
27. **Radius** ในการใช้ทางแสงรัศมีของเลนส์หรือกระจก ulybpd ทั่วไปได้จะอ้างถึงรัศมีความโค้งของพื้นผิวของมัน ขนาดทางฟิสิกส์ของอุปกรณ์ทางแสงโดยทั่วไปจะถูกวัดเป็นเส้นผ่าศูนย์กลาง
28. **Resonator** คือคู่ของกระจกที่ถูกวางไว้ที่ปลายทั้งสองข้างของตัวกลางเลเซอร์ ซึ่งเป็นเหตุให้แสงกระโดดกลับไปกลับมาระหว่างกระจกทั้งสองนี้ ขณะที่มีการผ่านของตัวกลางเลเซอร์ ulybpd กระจกบานหนึ่งในสองบานจะยอมให้แสงทะลุผ่านตัวมันออก

- มาได้บางส่วนเพื่อเกิดเป็นลาแสงเลเซอร์ แต่ในบางครั้งกระจกมากกว่าสามบาน จะกำหนดรีโซเนเตอร์ที่มีรูปร่างแบบวงแหวน
29. **Resonator , stable** เป็นรีโซเนเตอร์ซึ่งรังสีแสงที่ระลอกกลับเข้ามา ระหว่างกระจกจะเคลื่อนที่ไปตามแนวแกนเลเซอร์ และอยู่ในแนวแกนนี้ตลอดไป รีโซเนเตอร์แบบนี้เป็นแบบที่พบมากที่สุดในการค้า ครอบคลุมแบบกำลังต่ำ ๆ แต่ประสิทธิภาพที่ได้จากการดูดพลังงานจากตัวกลาง เลเซอร์ไม่ดีที่สุดเสมอไป
30. **Resonator , unstable** เป็นรีโซเนเตอร์ซึ่งรังสีแสงที่ระลอกกลับเข้ามา ระหว่างกระจกจะเคลื่อนที่ออกไปจากแนวแกนเลเซอร์ในที่สุด ซึ่งในการค้า รีโซเนเตอร์แบบนี้จะให้ลาแสงที่มีการกระจายพลังงานแบบ รูปร่างโค่นหักคร่อม ลาแสงและสามารถดูดพลังงานจาก เลเซอร์ได้ประสิทธิภาพมากกว่าแบบ stable
31. **Rotational transition** การเปลี่ยนแปลงในสถานะหมุนของโมเลกุล การ เปลี่ยนระดับแบบหมุนนี้เกี่ยวข้องกับพลังงานน้อยกว่าทั้งแบบอิเล็กทรอนิกส์ และแบบ สั่นสะเทือน โดยทั่วไปตรงกับความยาวคลื่นในช่วง เกินอินฟราเรดไปประมาณ 20 ไมครอนเมตร
32. **Spectroscope** อุปกรณ์ที่ใช้กระจายเส้นสเปกตรัมออกมาเพื่อการวิเคราะห์แบบ ตัวอย่างที่ง่ายที่สุดคือ ใช้ปริซึม หรือ เกล็ดหักเห (diffraction grating) กระจายเส้นสเปกตรัมออกบนขึ้นกระดาษหรือพื้นแก้ว
33. **Spontaneous emission** การแผ่รังสีออกมาโดยอะตอมหรือโมเลกุล เมื่อ มันลดพลังงานจากระดับสูงลง ไปสู่ระดับต่ำโดยธรรมชาติ (คือไม่มีการแทรกแซง จากภายนอก)
34. **Stimulated emission** ขบวนการที่ทำให้เกิดแสงเลเซอร์ มันเกิดขึ้นเมื่อ อะตอมหรือโมเลกุลในสถานะกระตุ้นถูกกระตุ้นให้แผ่รังสีออกมาและลดระดับลง ไปสู่ระดับพลังงานชั้นต่ำ โดยรังสีจากที่อื่นที่มีพลังงานด้านขวา (right energy) สำหรับการเปลี่ยนระดับ โดยทั่วไปรังสีที่มาจากการกระตุ้นจะมาจากอะตอมหรือโมเลกุลที่มีการเปลี่ยนระดับพลังงานเหมือน ๆ กัน
35. **Threshold** ระดับพลังงานกระตุ้นที่ต่ำที่สุดที่จำเป็นในการเกิดเลเซอร์ ตัวอย่าง เช่น ในเลเซอร์โคโรดทั่วไป กระแสขั้ว 10 ถึง 100 mA ต้องไหลผ่านรอยต่อ สารกึ่งตัวนำก่อนการเริ่มต้นเกิดเลเซอร์
36. **Transition** การเลื่อนของอะตอมหรือโมเลกุลจากระดับพลังงานหนึ่งไปสู่อีก ระดับหนึ่งที่เกี่ยวข้องกับการเพิ่มขึ้นหรือลดลงของพลังงาน
37. **Vibrational transition** การเปลี่ยนแปลงในสถานะสั่นสะเทือนของอะตอม ภายในโมเลกุลที่เป็นผลมาจากการ เปลี่ยนระดับระหว่างชั้นพลังงาน โดยทั่วไป

การ เปลี่ยนระดับแบบสั้นสะ เทือนจะ เกี่ยวพันกับพลังงานน้อยกว่าแบบอิ เลคทรอนิกส์ แต่มากกว่าแบบหมุน ในทางปฏิบัติการ เปลี่ยนระดับพลังงานแบบ การสั้นสะ เทือน และแบบหมุนจะ เกิดขึ้นพร้อม ๆ กัน



บทที่ 1

บทนำ

ในความเจริญก้าวหน้าทางวิทยาศาสตร์และเทคโนโลยีวิศวกรรมศาสตร์ที่ประสบความสำเร็จระหว่างศตวรรษที่ 20 นั้น เลเซอร์ก็จัดอยู่ในตำแหน่งที่สำคัญสาขาวิชาหนึ่ง เลเซอร์ที่ถูกสร้างขึ้นครั้งแรกในปี ค.ศ. 1960 นั้นเป็นแนวทางที่นำไปสู่การพัฒนาความก้าวหน้าในเทคโนโลยีเลเซอร์ต่อมา ในปัจจุบันเลเซอร์และระบบเลเซอร์ถูกนำไปใช้งานในด้านวิทยาศาสตร์และวิศวกรรมหลายสาขา เช่น ในระบบสื่อสาร , คอมพิวเตอร์ , อุปกรณ์การเคลื่อนที่เร็ว , เครื่องมือวัดและขบวนการเทคโนโลยีที่ซับซ้อน , การค้นคว้าทางชีววิทยา , การแพทย์และทางเคมีฟิสิกส์ก็นำเลเซอร์ไปใช้ประโยชน์มากมาย

การที่เลเซอร์ถูกนำไปใช้ประโยชน์ในวิทยาศาสตร์ และเทคโนโลยีอย่างกว้างขวางก็สืบเนื่องมาจากคุณสมบัติเฉพาะของการแผ่รังสีของเลเซอร์ เลเซอร์เป็นแหล่งกำเนิดแสงต่อเนื่องและเป็นแหล่งกำเนิดแสงที่แตกต่างจากแหล่งกำเนิดแสงอื่น ๆ เช่น หลอดฟลูออเรสเซนต์หรือหลอดไฟแบบมีไส้ เลเซอร์จะให้การแผ่รังสีด้วยความเข้มสูงอย่างต่อเนื่องที่มีความถี่เดียวและมีทิศทาง

เลเซอร์ที่ใช้ใช้งานในปัจจุบันมีหลายชนิดแต่ละชนิดก็ให้ผลที่แตกต่างกันออกไป เลเซอร์แบบหนึ่งที่น่าสนใจและเหมาะกับการใช้งานด้านการแพทย์คือคาร์บอนไดออกไซด์ เพราะมันให้เอาต์พุตที่ต่อเนื่องสูงกว่าและมีประสิทธิภาพที่สูงกว่าแบบอื่น ๆ และยังมีประโยชน์ทางการแพทย์มากด้วย เช่น ใช้ในงานการผ่าตัดแทนใบมีดโลหะ ใช้ทำลายเนื้ออก หรือ ใช้เชื่อมเส้นเลือดฝอยในลูกตา กระจกสามารถเชื่อมเส้นเลือดที่มีขนาดเส้นผ่าศูนย์กลางน้อยกว่า 1 มิลลิเมตร ซึ่งปกติจะเป็นการผ่าตัดที่ยากมากและมีโอกาสสำเร็จได้น้อย เลเซอร์แบบนี้จะสามารถเชื่อมต่อเส้นเลือดขนาดเล็กได้โดยอาศัยปรากฏการณ์ของการหลอมละลายเชื่อมติดกันของเนื้อเยื่อปริมาตร เมื่อถูกทำลายด้วยเลเซอร์ที่มีกำลังพอเหมาะและทำงานอย่างนิ่มนวลมีแค่ เลเซอร์ชนิดนี้เท่านั้นที่เหมาะสมกับงานที่มีขนาดเล็ก ง่ายและรวดเร็ว

เนื่องจากเลเซอร์แบบคาร์บอนไดออกไซด์มีความยาวคลื่น 10.6 ไมครอน ซึ่งเป็นความยาวคลื่นที่ถูกดูดกลืนความร้อนจากน้ำได้ดี และภายในเนื้อเยื่อของมนุษย์หรือสัตว์ก็ตามจะประกอบด้วยน้ำจำนวนมาก ดังนั้นเมื่อแสงกระทบกับเนื้อเยื่อน้ำที่

อยู่ภายในเนื้อ เนื้อจะร้อนขึ้นอย่างรวดเร็ว เนื้อ เยื่อที่ตำแหน่งนั้นก็จะถูกความร้อนทำลาย และสลายตัวไปอย่างรวดเร็วในขณะที่เนื้อ เยื่อบริเวณรอบ ๆ ยังไม่ถูกทำลาย

เลเซอร์แบบ CO₂ นี้มีข้อดีที่ว่าใบมีคิลหะอยู่หลายอย่างคือ

1. คนไข้จะไม่เสียเลือดขณะผ่าตัด เพราะความร้อนของ เลเซอร์จะไป หลอมละลายหลอดเลือด เลือดที่ปากแผล เมื่อหลอดเลือดปิดสนิทเลือดจึงไม่ไหล
2. เนื่องจากไม่ต้องถ่ายเลือดเพราะไม่เสียเลือดขณะผ่าตัด คนไข้จึงไม่ ต้อง เสี่ยงกับการติดเชื้อขณะผ่าตัด
3. ไม่ต้อง เสี่ยงต่อการติดเชื้อที่บริเวณบาดแผลขณะผ่าตัด เพราะความร้อนของแสง เลเซอร์จะฆ่า เชื้อโรคที่บาดแผลไปในตัว
4. เลเซอร์สามารถเข้าไปถึงส่วนต่าง ๆ ของร่างกายได้ง่ายขณะที่ใบ มีคิลหะคาทาไม่เข้า
5. เลเซอร์สามารถยิงทีละครั้งในช่วงเวลาสั้น ๆ เพื่อทำลายเนื้องอก ำให้หายไ้โดยไม่ต้อง เสี่ยงกับเส้นประสาทที่อยู่ข้าง เคียง เพราะบางครั้งใบมีคิลหะคาทา ไม่สามารถตัด เนื้องอกออกได้ เนื่องจากมีเส้นประสาทที่อยู่ข้าง เคียงจำนวนมาก

การใช้งานของ เลเซอร์แม้จะมีข้อดีมากกว่าใบมีคิลหะอยู่หลายประการ แต่ก็ยังมีข้อควรระวังในการใช้งานเลเซอร์ผ่าตัดดังนี้คือ

1. ไม่ควรใช้ เลเซอร์ร่วมกับแอลกอฮอล์ อีเธอร์ หรือก๊าซที่ไวไฟ
2. ทุกคนที่อยู่ภายในห้องที่ใช้งาน เลเซอร์ต้องสวมแว่นที่ทากจากแก้วหรือ พลาสติก เพราะแสง เลเซอร์จะไม่สามารถผ่านแก้วหรือพลาสติกได้
3. ควรมีเครื่องหมายแสดงไว้หน้าห้องว่าห้องนี้กำลังใช้งาน เลเซอร์
4. ไม่ควรมีอุปกรณ์ใด ๆ ที่สะท้อนแสงได้อยู่ภายในห้อง เพราะอาจ เป็น อันตรายได้ถ้าแสง เลเซอร์ถูกสะท้อนโดยวัตถุสะท้อนแสงนั้น
5. ทุกคนที่เกี่ยวข้องกับการใช้งาน เลเซอร์ ควรที่จะทราบว่าการาแสง เลเซอร์ชนิดนี้ไม่สามารถมองเห็นได้ด้วยตาเปล่า แต่ความร้อนของมันเป็นอันตรายต่อ ทุกคนดังนั้นจึงต้องระมัดระวัง
6. ทุกคนควรจะทราบว่าภายในระบบของ เลเซอร์ประกอบด้วยไฟฟ้าแรง สูงซึ่งมีอันตรายมาก
7. อย่าเปิด เครื่อง เลเซอร์ทิ้งไว้โดยไม่มีผู้เฝ้าอยู่ด้วย

ในวิทยานิพนธ์ฉบับนี้ได้มุ่งหมายทำการทดลองออกแบบและสร้างแหล่งกำเนิดคาร์บอนไดออกไซด์เลเซอร์ วัตถุประสงค์การให้ได้กำลังทางออกที่เหมาะสมที่จะนำไปใช้เป็นใบมีดผ่าตัดทางการแพทย์ แหล่งกำเนิดเลเซอร์ที่มีความต้องการในการผ่าตัดควรมีกำลังทางออกอยู่ในช่วง 50 วัตต์และโหมดของกำลังทางออกต้องเป็นแบบ TEM₀₀ จึงจะสามารถนำไปใช้งานด้านการผ่าตัดได้ดีซึ่งจุดสำคัญที่จะให้ได้แหล่งกำเนิดเลเซอร์ที่มีคุณภาพแบบนี้คือการออกแบบและคำนวณโครงสร้างของช่องตัวกลาง (medium cavity) และรีโซเนเตอร์ให้ถูกต้องซึ่งได้กล่าวรายละเอียดไว้ในบทที่ 3 สำหรับในบทที่ 2 จะกล่าวถึงทฤษฎีเบื้องต้นและนิยามต่างๆ เกี่ยวกับเลเซอร์และคาร์บอนไดออกไซด์เลเซอร์ เพื่อเป็นแนวทางในการนำไปสู่การออกแบบโครงสร้างของระบบในบทที่ 3 และบทต่อไป แหล่งกำเนิดเลเซอร์ต้องการแหล่งจ่ายไฟสูงในการกระตุ้นให้เกิดลาแสงเลเซอร์ในบทที่ 4 จึงกล่าวถึงรายละเอียดในการออกแบบแหล่งจ่ายไฟแรงสูงสำหรับแหล่งกำเนิดเลเซอร์ รายละเอียดทั้งหมดที่ถูกออกแบบไว้นี้จะถูกนำไปสร้างเครื่องต้นแบบและทำการตรวจสอบประสิทธิภาพของเครื่องต้นแบบที่สร้าง การทดลองและผลการทดลองที่ได้จะนำเสนอไว้ในบทที่ 5 ส่วนในบทสุดท้ายคือบทที่ 6 จะเป็นบทสรุปและวิจารณ์การทดลอง และผลการทดลองทั้งหมดที่ทำมาตลอดตั้งแต่เริ่มจนสำเร็จเป็นเครื่องต้นแบบ

บทที่ 2

เลเซอร์และคาร์บอนไดออกไซด์เลเซอร์

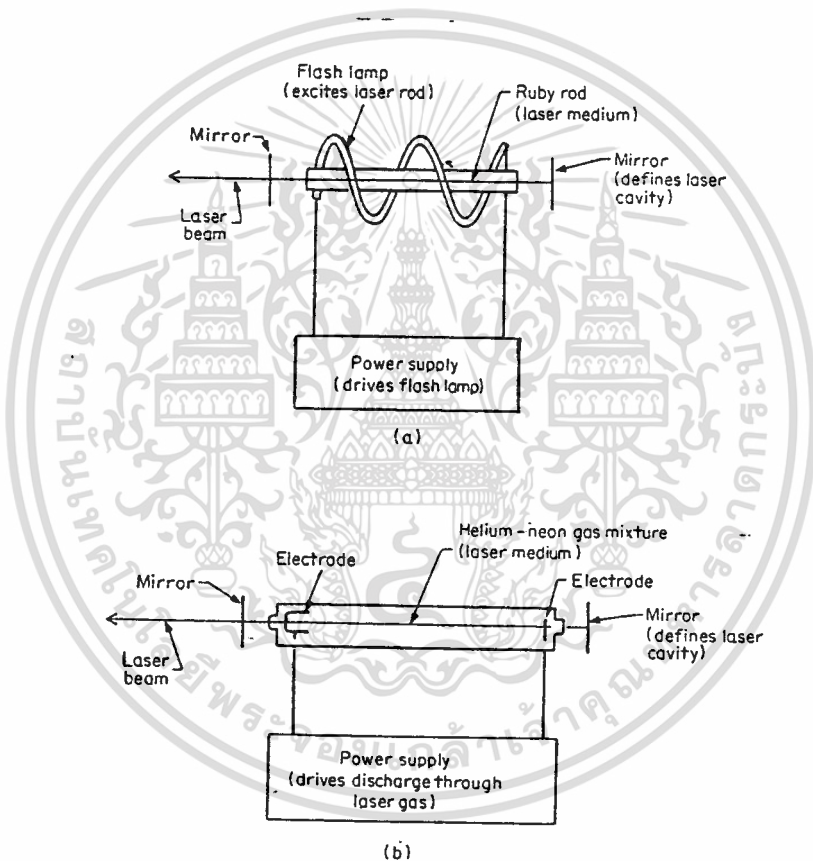
คำว่า " Laser " เป็นคำย่อของ " Light amplification by the stimulated emission of radiation " ซึ่งเป็นถ้อยคำที่ควบคุมส่วนใหญ่ของขบวนการทางฟิสิกส์ที่สำคัญภายในเลเซอร์ วิชาแม่เหล็กนิยามสั้นๆ ว่าจะอาจจะให้ความเข้าใจแก่คนทั่วไปที่ต้องการใช้เลเซอร์แต่สนใจเกี่ยวกับฟิสิกส์ภายในน้อยกว่าคุณลักษณะภายนอก ผู้ใช้เลเซอร์อยู่ในตำแหน่งที่เปรียบเทียบกับนักออกแบบวงจรอิเล็กทรอนิกส์ ความรู้ทั่วไปเกี่ยวกับฟิสิกส์ของเลเซอร์ เป็นประโยชน์กับผู้ใช้งานเลเซอร์เท่ากับความเข้าใจทั่วไปเกี่ยวกับเซมิคอนดักเตอร์ฟิสิกส์ที่เป็นประโยชน์ต่อนักออกแบบวงจร

2.1 นิยามของเลเซอร์

จากแนวคิดในทางปฏิบัติ เลเซอร์สามารถถูกพิจารณาเป็นแหล่งของลำแสงต่อเนื่องเล็ก ๆ ความถี่เดียวในช่วง visible , อินฟราเรดหรืออุลตราไวโอเลตของสเปกตรัม กำลังของลำแสงต่อเนื่องมีตั้งแต่ไม่กี่มิลลิวัตต์ไปจนถึง 20 กิโลวัตต์ในเลเซอร์การค้าและมากไปจนถึงเมกะวัตต์ในเลเซอร์ทางทหาร พัลส์เลเซอร์สามารถส่งกำลังที่คึกสูงมากระหว่างพัลส์แม้ว่าจะระดับกำลังเฉลี่ย (ที่รวมช่วงขณะที่เลเซอร์ off และ on) เปรียบเทียบกับแบบต่อเนื่องจะพอ ๆ กัน

อุปกรณ์ที่ใช้ในเลเซอร์นั้นกว้างมาก ตัวกลางเลเซอร์ (คือวัสดุที่แผ่ลำแสงเลเซอร์ออกมา) เป็นได้ทั้งแก๊ส , ของเหลว , แก้ว , ของแข็งที่เป็นผลึกหรือผลึกสารกึ่งตัวนำ และมีขนาดตั้งแต่เมล็ดเกลือไปจนถึงขนาดที่ใส่ภายในตึกขนาดหอประชุมได้ เลเซอร์ไม่ทุกชนิดที่ให้ลำแสงต่อเนื่องเล็ก ๆ ความถี่เดียว ตัวอย่างเช่นเลเซอร์เซมิคอนดักเตอร์แคโรทีนให้ลำแสงที่กระจายออกช่วงมุม 20° ถึง 40° ไม่ได้เป็นลำแสงเข้มบาง ๆ ส่วนเลเซอร์ Liquid dye แผ่รังสีในช่วงความยาวคลื่นกว้างหรือแคบขึ้นอยู่กับ อุปกรณ์ทางแสง (optic) ที่ใช้กับมัน ส่วนแบบอื่น ๆ มีการแผ่รังสีออกมาเป็นเส้นบาง ๆ (spectral line) ที่เป็นแสงที่ทิ้งไม่ต่อเนื่องและหลายความถี่

ในทางปฏิบัติแล้ว เลเซอร์ประกอบด้วยอุปกรณ์ 3 อย่าง อย่างแรกคือ ตัวกลางเลเซอร์ (Laser medium) ซึ่งเป็นตัวกำเนิดแสงเลเซอร์ อันที่สองคือ เพาเวอร์ซัพพลาย ซึ่งส่งพลังงานให้แก่ตัวกลางเลเซอร์ในรูปที่จำเป็นเพื่อกระตุ้นให้มันแผ่แสงออกมา อันที่สามคือช่องทางแสงหรือ Resonator ซึ่งเป็นตัวรวบรวมแสงเพื่อกระตุ้นการแผ่รังสีเลเซอร์ อุปกรณ์หลักทั้งสามนี้มีรูปแบบที่แตกต่างกันและแม้ว่ามันจะไม่ปรากฏโดยตรงในเลเซอร์ทุกแบบแต่หน้าที่ของมันสำคัญ รูปที่ 2.1-1 แสดงถึงอุปกรณ์เหล่านี้ในเลเซอร์ทับทิมและฮีเลียม-นีออน



รูปที่ 2.2-1 วิศวกรรมอย่างง่ายของเลเซอร์สองชนิด (a) ทับทิมและ (b) ฮีเลียม-นีออน ซึ่งแสดงอุปกรณ์หลักพื้นฐานของเลเซอร์ มีคุณลักษณะเหมือนกันในกลุ่มเลเซอร์ส่วนใหญ่ ซึ่งผู้ใช้ใหม่อาจจะคาดไม่ถึงเหมือนกับแหล่งกำเนิดแสงอื่นว่า เลเซอร์ที่มีประสิทธิภาพต่ำในการ เปลี่ยนพลังงานเอาท์พุทไปเป็น

แสงประสิทธิภาพจะอยู่ในช่วง 0.01 ไปจนถึง 20% ประสิทธิภาพต่ำเช่นนี้จะนำไปสู่ความต้องการ cooling แบบพิเศษ ในบางกรณีอุปกรณ์พิเศษอาจจะจำเป็นในการสร้างเงื่อนไขที่ถูกต้องแก่การทำงานของเลเซอร์ ลักษณะการทำงานของเลเซอร์แต่ละชนิดขึ้นอยู่กับอุปกรณ์โครงสร้างเช่น cavity optics และในหลายกรณีมีช่วงกว้างมาก การจัดเก็บก็มีผลต่อคุณลักษณะของเลเซอร์และผู้ใช้เลเซอร์

2.2 ความแตกต่างจากแหล่งกำเนิดแสงอื่น ๆ

ความแตกต่างพื้นฐานระหว่างเลเซอร์ และแหล่งกำเนิดแสงอื่น ๆ เป็นคุณลักษณะที่ดูเข้าใจอธิบายเลเซอร์ : ลำแสงเอาร์ทุทเล็กและแคบ , แสงมีความถี่เดียวและการแผ่อย่างต่อเนื่อง แต่ละลักษณะเหล่านี้สำคัญในการใช้งานและสมควรอธิบายให้มาก

ลำแสงเลเซอร์โดยทั่วไปมีมุมเบี่ยงเบนราว 1 มิลลิเรเดียน หมายถึงว่า มันจะกระจายเส้นผ่าศูนย์กลางออกหนึ่ง เมตรหลังจากไปไกลหนึ่งกิโลเมตรลักษณะนี้เป็นไปแคบกว้างมากขึ้นอยู่กับชนิดของเลเซอร์และ optics ที่ใช้กับมัน แต่ในบางกรณีมันทำหน้าที่ในการรวบรวมกำลังเอาร์ทุทลงบนพื้นที่เล็ก ๆ ดังนั้นกำลังเลเซอร์พอประมาณสามารถสร้างความเข้มแสงสูง ๆ ภายในพื้นที่เล็ก ๆ ของลำเลเซอร์

ความเข้มในลำเลเซอร์ฮีเลียม-นีออน 1 mW เปรียบเทียบได้กับความเข้มของแสงอาทิตย์ในวันอากาศดี ตัวอย่างเช่น ลำแสงเลเซอร์กำลังสูงขนาด 10 วัตต์หรือมากกว่าแบบต่อเนื่อง หรือเป็นพัลส์สามารถรวมความเข้มมาที่จุดสูงพอที่มันจะเจาะ , คว้านหรือตัดวัสดุต่าง ๆ ได้

แสงที่ถูกรวมเข้มเป็นลำเลเซอร์จะส่งพลังงานไปที่จุดโฟกัส ตัวอย่างเช่น ลำแสงเลเซอร์ที่ถูกโฟกัสให้เข้ม สามารถเขียนจุดบนวัสดุที่ไวต่อแสงโดยไม่ทำลายพื้นที่ข้าง ๆ ทำให้เกิดลายเส้นที่มีความละเอียดสูง ในทางตรงกันข้ามลำแสงเลเซอร์ผ่าตัดสามารถโฟกัสเป็นจุดเล็ก ๆ สำหรับการผ่าตัดเล็ก ๆ โดยไม่ทำให้เกิดความเสียหายต่อเนื้อเยื่อรอบ ๆ เลนส์สามารถโฟกัสรังสีขนานในลำเลเซอร์ให้เป็นจุดที่เล็กกว่าที่มันแผ่ออกมาจากแหล่งกำเนิด

เลเซอร์ส่วนใหญ่ส่งลำแสงที่มีช่วงความยาวคลื่นแคบ ๆ ดังนั้นลำแสงถูกพิจารณาเป็นแสงความถี่เดียวสำหรับงานปฏิบัติทุกงาน ตรงกันข้ามกับแหล่งแสงโดยทั่วไปจะแผ่แสงออกมาตลอดช่วงมองเห็นและช่วงสเปกตรัมอินฟราเรด สำหรับการใช้งานส่วนใหญ่ช่วงความยาวคลื่นที่แผ่ออกโดยเลเซอร์ จะแคบพอทำให้สะดวกแก่นักออกแบบโดยไม่จำเป็นต้องมี achromatic optic และทำให้งานหนักที่จะเข้าาใจปฏิบัติการระหว่างลำเลเซอร์และเป้าหมายง่ายขึ้น อย่างไรก็ตามในงาน spectroscopy และงานด้าน

การสื่อสารแล้วช่วงความยาวคลื่นของ เลเซอร์นี้ไม่แคบพอ และจำเป็นต้องใช้ทางเลือก ช่วงแคบอื่นที่พิเศษกว่า

คุณสมบัติอีกอย่างหนึ่งที่ไม่เหมือนใครของลาเลเซอร์ คือ ความต่อเนื่อง (coherence) ซึ่งเป็นคุณสมบัติที่คลื่นแสงที่อยู่ในลาเลเซอร์นั้นอยู่ในเฟสเดียวกันกับ คลื่นแสงอันอื่น ๆ อีกอันหนึ่ง กล่าวอีกอย่างว่าทุกวแหล่งกำเนิดแสงมีความยาวต่อเนื่อง ที่จำกัดหรือระยะเวลาตลอดที่แสงซึ่งมันสร้างขึ้นมาอยู่ในเฟสเดียวกัน อย่างไรก็ตามสำหรับ แหล่งกำเนิดแสงตามธรรมชาติระยะทางนั้นจะเป็นศูนย์ สำหรับเลเซอร์ส่วนใหญ่ระยะ ทางนั้น เป็นเศษของ เมตรหรือมากกว่าที่ยอมให้พวก เราใช้ในประโยชน์ที่ต้องการแสงต่อ เนื่อง (coherence length) จุดสำคัญของการใช้งานคือสเปกตรัมกราฟฟี แม้ว่า ความต่อเนื่องจะเป็นประโยชน์ใน spectroscopy บางแบบ และมีการใช้ประโยชน์ จากความต่อเนื่องนี้มากขึ้นในด้านการศึกษา

เลเซอร์บางชนิดมีข้อดีอื่นอีกสองอย่างนอกเหนือไปจากแหล่งกำเนิดแสงอื่น คือกำลังที่สูงกว่าและช่วงชีวิตที่ยาวนานกว่าในเลเซอร์บางชนิด เช่น เซมิคอนดักเตอร์ เลเซอร์ช่วงชีวิตต้องถูกประนีประนอมกับกำลังที่สูงแต่ในบางชนิดแล้วการประนีประนอม กันนี้มีน้อยมาก การรวมกำลังและทิศทางที่มั่นคงทำให้เลเซอร์เลือกตำแหน่ง เพื่อส่ง ความเข้มสูงไปยังพื้นที่เล็ก ๆ ได้สำหรับการใช้งานบางอย่าง เลเซอร์ยอมให้มีช่วง ชีวิตที่ยาวนานกว่าแหล่งกำเนิดแสงอื่นวัตถุประสงค์การ เปรียบเทียบความสว่างและราคา นอก จากนี้ทั้ง ๆ ที่ประสิทธิภาพต่ำ แต่เลเซอร์บางชนิดยังมีประสิทธิภาพในการ เปลี่ยนเป็น เป็นพลังงานแสงได้มากกว่าแหล่งกำเนิดแสงอื่น ๆ

2.3 ทฤษฎีของ เลเซอร์และหลักการ

คำว่า "เลเซอร์" ครอบคลุมอุปกรณ์หลายอย่าง ขณะที่เลเซอร์หลายชนิด มีส่วนคล้ายคลึงกันอย่างชัดเจน แต่บางชนิดก็แตกต่างกันมากทีเดียว ซีเลียม-นีออน , ไอออนและคาร์บอนไดออกไซด์เลเซอร์ มีความคล้ายคลึงกันมาก เพราะมันทั้งหมดเป็น แก๊สเลเซอร์ที่ถูกกระตุ้นด้วยไฟฟ้าแต่คูเพิน ๆ แล้วพวกมันไม่ค่อยมีส่วนคล้ายกับเซมิคอน ดักเตอร์เลเซอร์ อย่างไรก็ตามการท างานของทุก เลเซอร์อยู่บนหลักการทางฟิสิกส์ พื้นฐานเดียวกันและ เป็นหลักการที่จะอธิบายในหัวข้อนี้

เลเซอร์ฟิสิกส์เป็นสาขาวิชาที่เกี่ยวข้องกับวิชาการแขนงอื่น ๆ อีกหลายแขนง มีควันตัมแมคคานิกส์ , optics , gas dynamic , atomic , เซมิคอนดักเตอร์ ฟิสิกส์ , atomic และ molecular physics , และทฤษฎีรีโซเนเตอร์ หลักการ ที่สำคัญอันหนึ่งคือการส่งผ่านพลังงานของอะตอมและโมเลกุล ซึ่งมีความสำคัญอย่างใกล้ชิดกับควันตัมแมคคานิกส์ คุณสมบัติของ เลเซอร์ขึ้นอยู่กับ การออกแบบช่อง (cavity)

ของตัวกลาง เลเซอร์อย่างมากด้วย และที่การออกแบบนั้นก็ขึ้นอยู่กับฟิสิกส์ของตัวกลาง เลเซอร์อีกด้วย ในหัวข้อนี้จะให้คำแนะนำเกี่ยวกับหลักพื้นฐานของ เลเซอร์ ซึ่งผู้อ่านที่ ค้นคว้าทางการทดลองให้มากยิ่งขึ้นสามารถหาข้อมูลได้จากหนังสือเหล่านี้ (svelto, 1982; Tarasov,1983; Thyagarajan and Ghatak ,1981;Yariv , 1975; O'Shea al , 1977)

2.3.1 ความหมายของควาในเลเซอร์

ตัวอย่าง เป็นทางการของ เลเซอร์ฟิสิกส์คือ ควันตัมอิเล็กทรอนิกส์ ควานี้จะ กลับไปสู่คอน เริ่มแรกของการวิจัยของ maser และทุกวันนี้ควานี้ยังใช้เกี่ยวข้องกับงาน วิจัยทางการศึกษา ส่วนในวิทยานิพนธ์นี้ยังคงขอใช้คำว่า เลเซอร์ฟิสิกส์ อยู่ตลอดเล่ม

ควานในเลเซอร์ฟิสิกส์ส่วนมากมาจาก spectroscopy และ ฟิสิกส์ของ วมเลกุลและอะตอมหลักคิดที่สำคัญอันหนึ่งคือระดับพลังงาน (energy level) หรือ หมายถึง quantum state ของอะตอมหรือวมเลกุล พลังงานของระดับเฉพาะระดับ หนึ่งถูกวัดเทียบกับระดับกราวนหรือระดับพลังงานต่ำสุดที่เป็นไปได้ ซึ่งโดยทั่วไปจะ กำหนดค่าให้เป็นศูนย์

คำว่า "species" จะถูกใช้เพื่อหลีกเลี่ยงการซ้ำคำว่า "atom" หรือ molecule" อยู่เสมอ เมื่ออธิบายถึงระดับพลังงานในถ้อยคำทั่ว ๆ ไป การเลื่อนตัว (shift) ของสปีชีส์ (species) จากระดับพลังงานหนึ่งไปยังอีกระดับพลังงานหนึ่ง เราเรียกว่า "transition" การเลื่อนตัวสู่ระดับพลังงานที่สูงกว่าคือ การกระตุ้น (excitation) ไปสู่สถานะที่ถูกกระตุ้นและต้องการดูดเอาพลังงานจำนวนหนึ่งที่ เท่ากับความแตกต่างกันในพลังงานระหว่างระดับทั้งสอง การลดลงจากระดับพลังงาน ที่สูงกว่าไปสู่ระดับพลังงานที่ต่ำกว่าถูกเรียก " decay " หรือ " deexcitation " และเกิดการปลดปล่อยพลังงานในการ transition

สปีชีส์จะถูก เอาหรือปลดปล่อยพลังงานออกมาในรูปของโฟตอนซึ่งเป็นก้อน (quanta) ของรังสีคลื่นแม่เหล็กไฟฟ้า ในโลกของ เลเซอร์คำว่า " light " ถูก ใช้ในความหมายทั่วไปสำหรับการแผ่รังสีคลื่นแม่เหล็กไฟฟ้าตลอดช่วงอินฟราเรด และ อุลตราไวโอ เล็ตของสเปคตรัมและสำหรับช่วงแสงที่มองเห็นได้จริงด้วย " light " นั้นโดยตัวมันเองแล้วมีธรรมชาติ เป็นคู่คือ เป็นได้ทั้งอนุภาค(โฟตอน) และคลื่นธรรมชาติ ของแสงสามารถถูกวัดได้สามทางคือ

1. ความยาวคลื่นของแสง
2. ความถี่ของการออสซิลเลชันของคลื่น
3. พลังงานของโฟตอน

ความยาวคลื่นถูกวัดค่าคงที่ในหน่วยเมตรเป็น ไมครอนเมตร (μm) , นาโนเมตร (nm) หรือเมตรอังสตรอม ($1\text{Å} = 0.1\text{ nm}$) ความถี่และพลังงานของโฟตอนถูกวัดอย่างสมมูลกันตรงตามความสัมพันธ์ของ Planck ,

$$E = h\nu$$

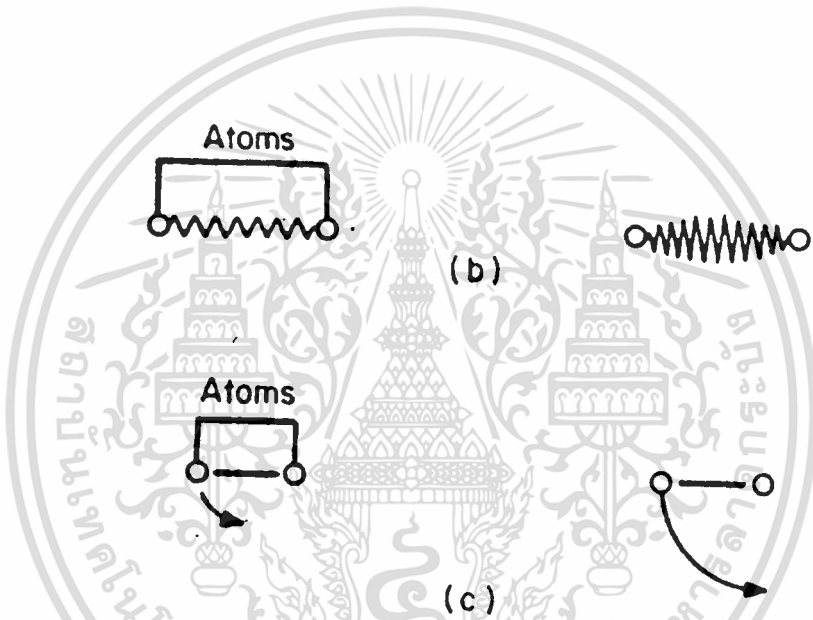
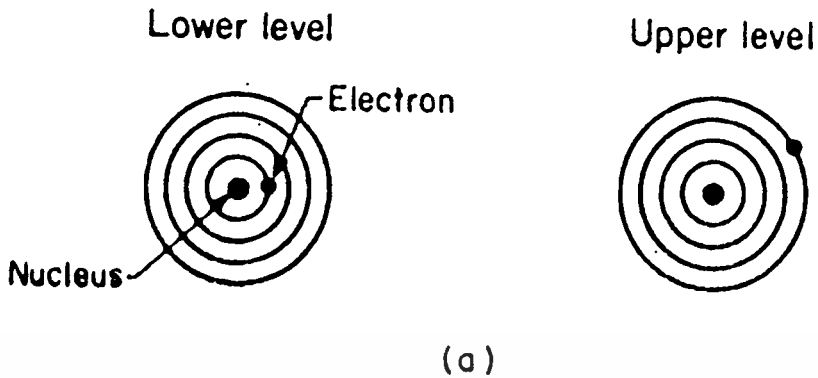
ขณะที่ E เป็นแหล่งพลังงาน , h เป็นค่าคงที่ของ Planck และ ν เป็นความถี่พลังงานโดยทั่วไปถูกวัดค่าในหน่วยอิเล็กตรอนโวลต์ (eV ; 1eV คือพลังงานที่ต้องการเคลื่อนย้ายอิเล็กตรอนผ่านความต่างศักย์ 1 โวลต์) ความถี่โดยปกติแล้วถูกวัดในหน่วยของเฮิรตซ์ (Hz) ซึ่งเป็นจำนวนของการออสซิลเลตต่อวินาที นักวิเคราะห์สเปกตรัมโดยเฉพาะที่เคหสถานในย่านอินฟราเรดนั้น บางครั้งจะใช้หน่วยกลับของเซ็นติเมตร (cm^{-1}) ซึ่งตามชื่อที่กล่าวคือส่วนกลับของความยาวคลื่นในหน่วยเซ็นติเมตร แม้ว่าหน่วยนี้จะอยู่บนพื้นฐานของความยาวคลื่นแต่มันก็เป็นสัดส่วนโดยตรงกับความถี่หรือพลังงานโฟตอน

2.3.2 ระดับพลังงานและการเปลี่ยนระดับ (Transitions)

มีระดับพลังงานพื้นฐานอยู่ 3 ชนิดที่ถูกพบในเลเซอร์ฟิสิกส์ ดังแสดงในรูปที่ 2.3-1 คือ

ระดับทางอิเล็กทรอนิกส์ (Electronic level)

เป็นระดับที่เกี่ยวข้องกับโครงสร้างของอิเล็กตรอนในสปีชีส์ การเปลี่ยนระดับอิเล็กทรอนิกส์ (electronic transition) เป็นการเปลี่ยนระดับที่ถูกพรรณานในรูปของอะตอมไฮโดรเจนของ Bohr ซึ่งในนั้นอิเล็กตรอนเดี่ยวจะป็นขึ้นตามระดับพลังงานที่ละชั้นขณะที่มันเคลื่อนที่ออกจากนิวเคลียส จนในที่สุดมันได้พลังงานที่สูงพอที่จะหนีจากไป ขณะที่อิเล็กตรอนที่มากขึ้นถูกเพิ่มเข้าสู่ระบบของอะตอมและโมเลกุลที่ซับซ้อนยิ่งขึ้นรูปแบบก็ยิ่งเพิ่มความซับซ้อนมากยิ่งขึ้นและปฏิกิริยาต่าง ๆ จะก่อให้เกิดระดับพลังงานทางอิเล็กทรอนิกส์ขึ้นมากมาย การเปลี่ยนระดับทางอิเล็กทรอนิกส์ซึ่งโดยปกติเกิดขึ้นในทางเลเซอร์ฟิสิกส์ที่เกี่ยวข้องกับอิเล็กตรอนในชั้นข้างนอก และโดยทั่วไปเกี่ยวข้องกับพลังงานในระดับขนาดอิเล็กตรอนโวลต์หรือมากกว่า ที่ตรงกับความยาวคลื่นในย่านใกล้อินฟราเรด , ย่านมองเห็นได้ (visible) และย่านอัลตราไวโอเล็ต การเปลี่ยนระดับชั้นข้างในที่ใกล้กับนิวเคลียสมากกว่า จะเกี่ยวข้องกับพลังงานที่สูงกว่าที่ตรงกับ Far-ultraviolet หรือ X-ray photon และเป็นประโยชน์น้อยสำหรับการทำเลเซอร์



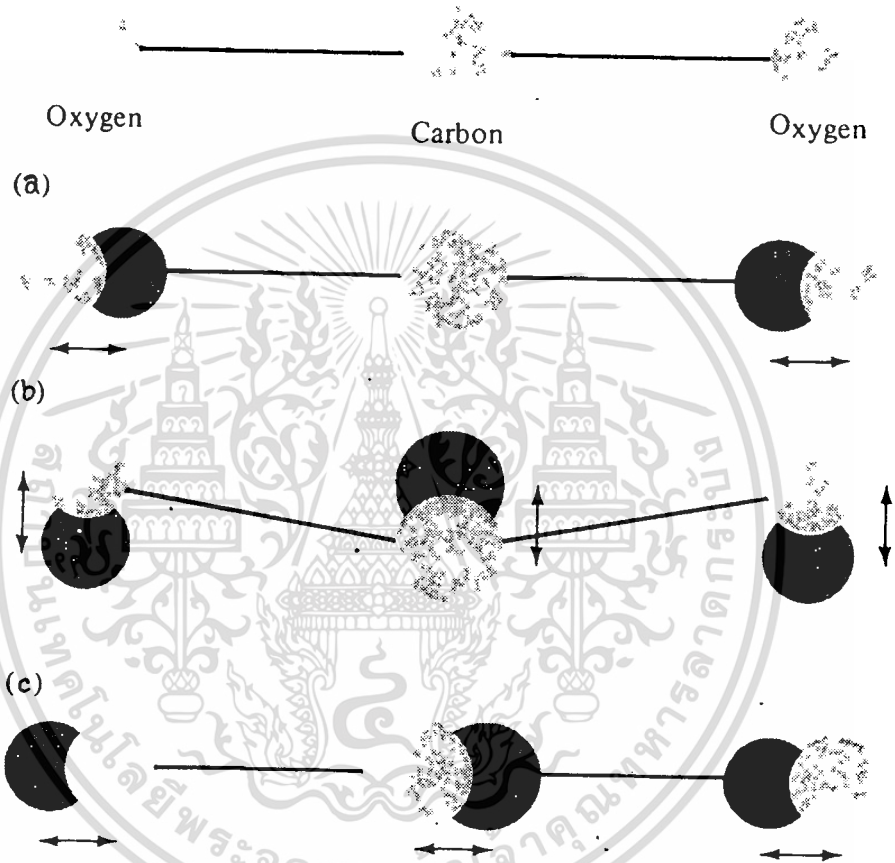
รูปที่ 2.3-1 แบบที่สำคัญของการเปลี่ยนระดับพลังงาน

- (a) การเปลี่ยนระดับทางอิเล็กทรอนิกส์ที่เกิดขึ้นในอะตอมและโมเลกุล
- (b) การเปลี่ยนระดับจากการสั่นสะเทือน
- (c) การเปลี่ยนระดับแบบการหมุนที่เกิดขึ้นในโมเลกุลเพียงอย่างเดียว

ระดับการสั่นสะเทือน (Vibrational level)

เป็นระดับที่เกี่ยวข้องกับการสั่นสะเทือนของอะตอมในโมเลกุล การสั่นสะเทือนของค่าอิสระ (degrees of freedom) ที่ต่างกัน ๗ ถูกจำกัดในการสร้างชุดของ level สำหรับรูปแบบในการสั่นสะเทือนที่เป็นไปได้ในแต่ละแบบ มีรูปแบบของการสั่นสะเทือนหลายแบบที่เป็นไปได้ ซึ่งเพิ่มมากขึ้นตามจำนวนของอะตอมในโมเลกุลที่เพิ่มขึ้น ดังแสดงในรูปที่ 2.3-2 การเปลี่ยนระดับจากการสั่นสะเทือนเกิดขึ้นเมื่อโมเลกุลเคลื่อนตัว

จากสถานะสั่นสะเทือนหนึ่งไปสู่อีกสถานะหนึ่งซึ่งสามารถก่อให้เกิดการเลื่อนจากรูปแบบการสั่นสะเทือนหนึ่งไปยังรูปแบบอื่นอีก โดยทั่วไปการเปลี่ยนแปลงระดับจากการสั่นสะเทือน (Vibrational transitions) จะมีพลังงานขนาดเศษส่วนของอิเล็กตรอนโวลต์ และตรงกับความยาวคลื่นช่วงอินฟราเรด



รูปที่ 2.3-2 แบบการสั่นสะเทือนของโมเลกุล CO₂ สามแบบ

(a) Symmetric stretching (ν_1 mode)

(b) Bending (ν_2 mode)

(c) Asymmetric stretching (ν_3 mode)

โมเลกุลยิ่งซับซ้อนมากขึ้นก็จะมีแบบของการสั่นสะเทือนที่ซับซ้อนมากขึ้น

ระดับการหมุน (Rotational level)

เป็นระดับที่เกี่ยวข้องกับการหมุนที่ถูกจำกัด (quantized rotation) ของโมเลกุลโดยทั่วไปพลังงานจะอยู่ในช่วง 0.001 - 0.1 eV และตรงกับความยาวคลื่นช่วง far-infrared หรือ submillimeter

หลักทางคว้นคัมแมคแคนนิคส์ที่ซับซ้อนบอกว่าจะมีการเปลี่ยนระดับระหว่างสถานะที่แตกต่างหรือระดับพลังงานบางอันก็ถูกเรียกว่า "forbidden transition" แม้ในโลกของคว้นคัมแมคแคนนิคส์ "forbidden" มีความหมายจริงว่าไม่น่าเป็นไปได้ (very unlikely) แต่ในบางที่เป็นไปได้ ส่วนอันอื่นถูกยอมรับภายใต้หลักของคว้นคัมแมคแคนนิคส์และดังนั้นน่าจะเกิดขึ้นอย่างรวดเร็ว สถานะที่ถูกกระตุ้นโดยปกติจะลดลงสู่สถานะที่พลังงานต่ำกว่าอย่างรวดเร็ว โดยทำการเปลี่ยนระดับที่ยอมรับได้หนึ่งระดับหรือเป็นชุด (series) อย่างไรก็ตามมีระดับที่ถูกกระตุ้น "metastable" เป็นสถานะที่ซึ่งสปีซีที่ถูกจับไว้ข้างในเพราะไม่มีการเปลี่ยนระดับที่ยอมรับได้ง่ายลงไปสู่ระดับพลังงานที่ต่ำกว่าสถานะ metastable เหล่านี้มีความสำคัญมากในเลเซอร์หลายชนิด เพราะมีคัมจับสปีซีในสถานะที่ถูกกระตุ้นไว้เป็นเวลานานบนระบอบอะตอมของสิ่งต่าง ๆ

แม้ว่าสถานะทางอิเล็กทรอนิกส์ , การสั่นสะเทือนและการหมุนของสปีซีไม่ขึ้นแก่กันแต่มันสามารถ เปลี่ยนแปลงพร้อมกันในการ เปลี่ยนระดับครั้งเดียวได้ การเปลี่ยนระดับทางอิเล็กทรอนิกส์ของอะตอมหรือไอออนเกิดขึ้นอย่างอิสระ เพราะสปีซี เช่นนั้นไม่มีสถานะทางการสั่นสะเทือนหรือการหมุน อย่างไรก็ตามในโมเลกุลการเปลี่ยนแปลงในสถานะทางการสั่นสะเทือนโดยทั่วไป ถูกส่งมาพร้อมกับการเปลี่ยนแปลงในสถานะทางการหมุน

มีความแตกต่างที่สำคัญระหว่างการเปลี่ยนระดับที่เกี่ยวข้องกับการเลือนตัวในระดับพลังงานเพียงหนึ่งชนิด และการเปลี่ยนระดับที่เกี่ยวข้องกับการเลือนตัวพร้อมกันระหว่างระดับพลังงานสองชนิดหรือมากกว่า การเปลี่ยนระดับระหว่างระดับพลังงานทางอิเล็กทรอนิกส์สองระดับของอะตอมถูกกำหนดอย่างชัดเจนที่ความยาวคลื่นหนึ่งอย่าง ไรก็ตามถ้าการเลือนตัวหลายแบบเกิดขึ้นพร้อมกันการเปลี่ยนระดับจะกระจายออกตลอดแถบความยาวคลื่น ดังกรณี dye เลเซอร์หรือคาร์บอนไดออกไซด์เลเซอร์

2.4 การกระตุ้น (Excitation)

การกระตุ้นเป็นกระบวนการที่ยกระดับสปีซีจากระดับพลังงานที่ต่ำกว่าไปสู่ระดับพลังงานที่สูงกว่าและเป็นความต้องการเริ่มต้นสำหรับการเกิดเลเซอร์ การส่งพลังงานเข้าไปในตัวกลางเลเซอร์สามารถเกิดขึ้นได้หลายอย่าง ที่ประกอบด้วย :

- การดึงดูดโฟตอน

- การชนกันระหว่างอิเล็กตรอน (หรือบางครั้งเป็นไอออน) และสปีชีส์ในตัวกลางทำงาน (active medium)
- การชนกันในหมู่ของอะตอมหรือโมเลกุลในตัวกลางทำงาน
- การรวมตัวกันใหม่ (Recombination) ของอิเล็กตรอนอิสระกับอะตอมที่ถูกไอออไนส์
- การรวมตัวกันใหม่ของพาหะ (carriers) ปัจจุบันในสารกึ่งตัวนำ
- ปฏิกิริยาทางเคมีที่ผลิตสปีชีส์ที่ถูกกระตุ้น
- การเร่งของอิเล็กตรอน

ความน่าจะเป็นของสปีชีส์ที่ถูกกลืนพลังงานโดยกลไก เหล่านี้บางอันถูกแสดงโดยการวัด absorption cross section ความน่าจะเป็นของการกระตุ้นหรือพื้นที่ภาคตัดขวาง (cross section) ขึ้นอยู่กับตัวประกอบหลายตัว เช่น ความยาวคลื่นของแสงที่ส่อง , ความเร็วของอิเล็กตรอนที่ตกลงบนกระจก หรือ ความเหมือนกันในโครงสร้างระดับพลังงานของสปีชีส์ การกระตุ้นของเลเซอร์บ่อยครั้ง เป็นกระบวนการหลายขั้นตอนตัวอย่าง เช่นในฮีเลียม-นีออน เลเซอร์อิเล็กตรอนที่กำลังผ่านตลอดตัวกลางทำงานจะส่งพลังงานให้แก่อะตอมฮีเลียม ซึ่งมันก็จะส่งพลังงานที่ถูกกลืนไว้ให้แก่อะตอมนีออนแล้วจะแผ่แสง เลเซอร์ออกมา

2.5 การแผ่รังสีตามธรรมชาติและที่ถูกกระตุ้น (Spontaneous and Stimulated Emission)

สปีชีส์ที่ถูกกระตุ้นสามารถปลดปล่อยพลังงานที่เกิดขึ้นได้โดยกระบวนการที่ไม่แผ่รังสี เช่น การชนกับอะตอมหรือโมเลกุลอื่น ๆ หรือโดยการแผ่รังสีออกมา การแผ่รังสีออกมาสามารถเกิดขึ้นเองตามธรรมชาติหรือโดยการกระตุ้น ตามชื่อก็บอกไว้แล้วว่าการแผ่ตามธรรมชาติเกิดขึ้นโดยไม่มีการแทรกแซงจากภายนอก เมื่อสปีชีส์ลดลงสู่ระดับพลังงานต่ำกว่าหลังจากเวลาล่วงไปตามธรรมชาติ (เปรียบเทียบกับครึ่งชีวิตของไอโซโทปที่แผ่กัมมันตภาพรังสี) ซึ่งโดยทั่วไปเป็นเศษส่วนน้อย ๆ ของวินาที

การแผ่รังสีและการ เปลี่ยนระดับไปสู่ระดับพลังงานที่ต่ำกว่าสามารถถูกกระตุ้นได้ด้วยการเกิดโฟตอนที่มีพลังงานเท่ากับที่เกิดจากการ เปลี่ยนระดับ มองดูคร่าวคร่าวครั้งแรกมัน เป็นไปไม่ได้อย่างมากที่โฟตอนของพลังงานที่ถูกต้องแน่นอนจะ เคลื่อนที่ไปโดยไร้จุดหมายในเวลาปกติอันสั้น ก่อนสปีชีส์ที่ถูกกระตุ้นจะลดลงสู่ระดับพลังงานที่ต่ำกว่าตามธรรมชาติ อย่างไรก็ตามในกรณีส่วนใหญ่มีแหล่งโฟตอน เช่นนั้นอยู่พร้อมแล้วการแผ่ตามธรรมชาติโดยสปีชีส์เดิม โฟตอนที่ถูกแผ่ออกมา เล็ก น้อยตามธรรมชาติในครั้งแรก

สามารถก่อให้เกิดการแผ่ที่ถูกระตุ้นของโฟตอนอื่น ๆ ที่เข้าไปสู่ห้องกระจกของการแผ่ที่ถูกระตุ้น การแผ่ที่ถูกระตุ้นมีคุณสมบัติพิเศษเป็นคู่ มันมีความยาวคลื่นเดียวกันกับโฟตอนเริ่มต้นและมันอยู่ในเฟสเดียวกัน (หรือ coherent) กับแสงเริ่มต้น

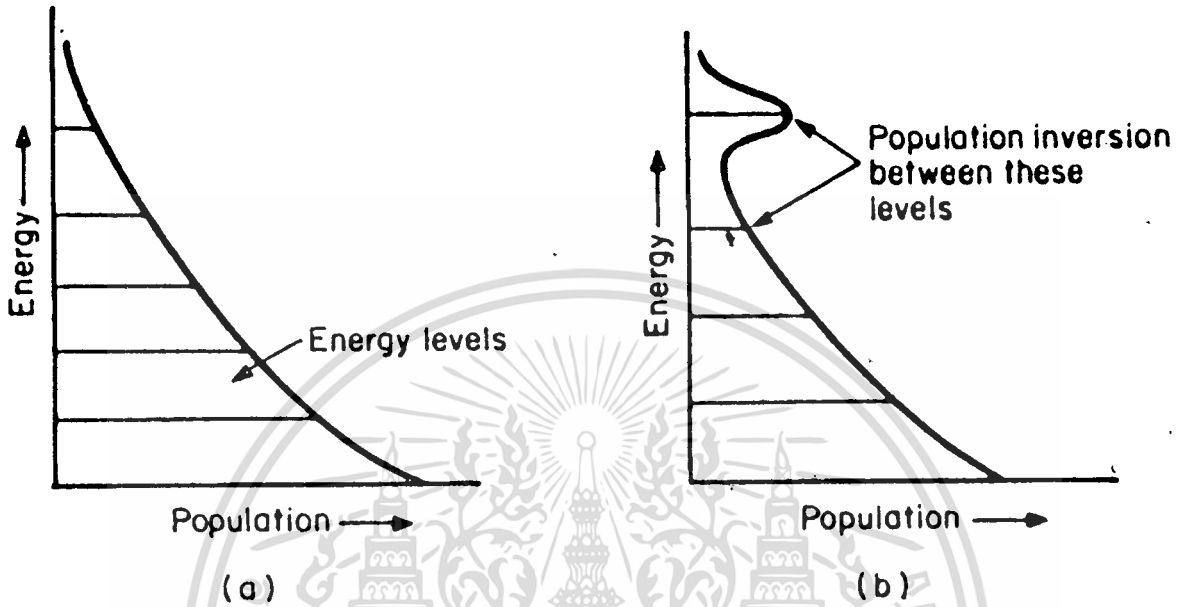
การแผ่ตามธรรมชาติจะกำเนิดแสงที่เราเห็นได้จากดวงอาทิตย์, ดวงดาว, หลอดไฟฟ้า, กองไฟ, หลอดฟลูออเรสเซนต์และวัสดุอื่น ๆ อีก การแผ่ที่ถูกระตุ้นจะผลิตแสงเลเซอร์กล่าวไว้ที่หนักแน่นลงไปก็คือแหล่งกำเนิดแสงอื่น ๆ สามารถมีผลเลือกของการแผ่ที่ถูกระตุ้นแต่ในทางปฏิบัติจำนวนการแผ่ที่ถูกระตุ้นไม่สามารถตรวจสอบได้

2.6 ขบวนการย้อนกลับของประชากร (Population Inversion)

การแผ่ที่ถูกระตุ้นไม่ค่อยจะเกิดขึ้นเพราะความจริงทางเทอร์โมไดนามิกส์ของชีวิตที่เหมือนกันที่ทำการแผ่ตามธรรมชาติเกิดขึ้น : สปีชีส์มักจะลดลงสู่ระดับพลังงานที่ต่ำที่สุดภายใต้เงื่อนไขปกติที่ถูกเรียกว่า สภาวะสมดุลทางเทอร์โมไดนามิกส์ จำนวนประชากรของสถานะจะลดลงตามพลังงานที่เพิ่มขึ้นของมันดังแสดงในรูป 2.6-1 อันนี้หมายความว่า ภายปกติจะมีประชากรในสถานะที่ต่ำกว่าของการเปลี่ยนระดับมากกว่าในสถานะที่สูงกว่า ดังนั้นโฟตอนน่าจะถูกระดมโดยสปีชีส์ในสถานะที่ต่ำกว่ามากกว่าที่จะกระตุ้นการแผ่รังสีจากสปีชีส์ในสถานะที่สูงกว่า ภายปกติจะอย่างนี้การแผ่รังสีแบบธรรมชาติจะมีบทบาทมากกว่า

สำหรับการแผ่รังสีที่ถูกระตุ้นจะเกิดขึ้นได้จำเป็นต้องมี การย้อนกลับของประชากร (population inversion) ซึ่งหมายถึงว่า ประชากรของระดับที่สูงกว่าของการเปลี่ยนระดับต้องมีจำนวนมากกว่าที่จะถูกระดมโดยสถานะที่ต่ำกว่า ผลลัพธ์ก็คือการขยายกำลัง เลเซอร์ที่มีการเพิ่มจำนวนโฟตอนตามพลังงานการเปลี่ยนระดับ ซึ่งมีค่าตรงกับความแตกต่างระหว่างการแผ่ที่ถูกระตุ้นและการดูดกลืนที่ความยาวคลื่นนั้น ภายปกติว่าประชากรขยายถูกวัดเป็นการเพิ่มขึ้นเป็นเปอร์เซ็นต์ต่อการผ่านตลอดตัวกลาง เลเซอร์หรือต่อระยะทาง เป็นเซนติเมตรตลอดตัวกลาง เลเซอร์ บางทีอัตราการขยายถูกวัดเป็นโฟตอนที่เพิ่มขึ้นที่ถูกก่อให้เกิดขึ้นสำหรับแต่ละ เซนติเมตรของตัวกลาง เลเซอร์ ตัวอย่างเช่น 4cm^{-1} ซึ่งจริง ๆ หมายถึง สี่ต่อเซนติเมตรไม่ใช่นับส่วนกลับของเซนติเมตรของนักวิเคราะห์เส้นสเปกตรัม

อัตราการขยายของ เลเซอร์ เป็นสัดส่วนโดยตรงกับความแตกต่างระหว่างโอกาสของการแผ่ที่ถูกระตุ้นและโอกาสของการดูดกลืน อันนี้หมายความว่า ประชากรของทั้งระดับที่ต่ำกว่าและที่สูงกว่าของการเปลี่ยนระดับใน เลเซอร์มีความสำคัญมาก ดังนั้นถ้าการกระทำเลเซอร์ถูกก่อให้เกิดขึ้นเรื่อย ๆ ระดับที่ต่ำกว่าต้องถูกลดประชากร ขณะที่ระดับที่สูงกว่าประชากรจะเพิ่มขึ้นหรือการย้อนกลับของประชากรจะสำเร็จ



รูปที่ 2.6-1 (a) การแจกแจงประชากรกับระดับพลังงานที่ภาวะสมดุลและ
 (b) ช่วงการย้อนกลับของประชากรซึ่ง เก่งกว่าการย้อนกลับของประชากร
 ไม่ต้อง เกิดขึ้นในการ เปลี่ยนระดับที่เป็นไปได้ทุกช่วง เพียงการ
 เปลี่ยนระดับเลเซอร์หนึ่งก็พอ การย้อนกลับของประชากรสามารถ
 เพียงทำให้เกิดการแผ่เลเซอร์ ถ้าการย้อนกลับอยู่เหนือพลังงาน
 สมดุลย์ พลังงานสำหรับประชากรนั้นจะสูงสุดในภาวะสมดุลย์

การขยายเลเซอร์สามารถเกิดขึ้นตลอดช่วงของความยาวคลื่นเพราะการ
 การเปลี่ยนระดับไม่แคบมากนัก ช่วงของความยาวคลื่นที่ซึ่งการดูดกลืนและการกระตุ้น
 จะเกิดขึ้นถูกขยายให้กว้างระดมการ เคลื่อนของโมเลกุล , ระดับพลังงานการสั่นสะเทือน
 และการหมุน และตัวประกอบอื่น ๆ ดังนั้นผู้เชี่ยวชาญทาง เลเซอร์จะพูดถึง เนื้อหาของ
 " gain bandwidth " ในความหมายว่า ช่วงของความยาวคลื่นที่ซึ่งอัตราขยายของ
 เลเซอร์สามารถเกิดขึ้นได้ ค่าของตัวประกอบอัตราขยาย (gain factor) จะสูงที่
 สุดในศูนย์กลางของแถบ (band) และต่ำสุดที่ตรงขอบ (edges)

2.7 การขยายและการออสซิลเลท (Amplification and Oscillation)

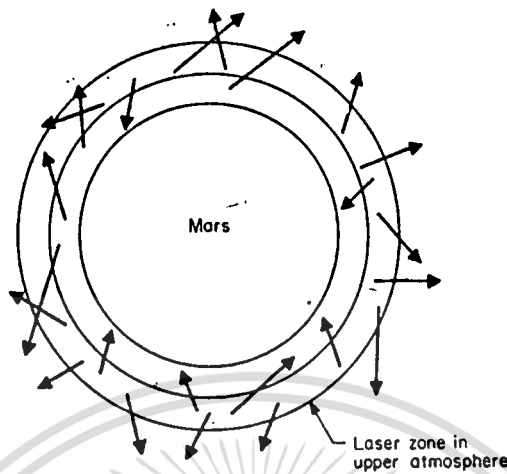
เพียงการย้อนกลับของประชากรอย่าง เดียวก็เพียงพอจะก่อให้เกิดเลเซอร์ แต่ผลที่ได้เป็นลาแสงต่อเนื่องความยาวคลื่นเดียว ลักษณะส่วนใหญ่ที่เป็นประโยชน์ของ เลเซอร์มาจากการออสซิลเลทของแสงภายในช่อง เลเซอร์ (cavity) เพื่อให้เข้าใจ ความแตกต่างระหว่างการขยายเลเซอร์และการออสซิลเลทเลเซอร์ มันเป็นประโยชน์ ในการพิจารณาตัวอย่างของปรากฏการณ์ทั้งสอง

การขยายของการแผ่ที่ถูกระตุ้นสามารถเกิดขึ้นได้ในธรรมชาติ แม้ว่า ปรากฏการณ์นี้จะไม่ถูกค้นพบจนกระทั่งหลังการประดิษฐ์เลเซอร์ ตัวอย่างหนึ่งที่น่าสนใจ มาก เกิดขึ้นในระดับสูงกว่าของบรรยากาศดาวอังคาร การฉายแสงอาทิตย์ทำให้เกิด การย้อนกลับของประชากรในคาร์บอนไดออกไซด์ในชั้นสูงกว่าบาง ๆ ของบรรยากาศ ของดาว อัตรารายค่าเพราะความดันของแก๊สต่ำ แต่ปริมาตรที่เกี่ยวข้องใหญ่มากจน กระทั่งโดยมาตรฐานของมนุษย์ (แม้ว่าจะไม่ใช่โดยมาตรฐานของจักรวาล) กาลังที่ ถูกแผ่ออกมาโดยการเปลี่ยนระดับของ CO₂ เลเซอร์ 10.4 μ m มีค่าสูง อย่างไรก็ตาม พลังงานที่ถูก เก็บอยู่ในโมเลกุล CO₂ เหล่านั้นจะถูกตัดทอนอย่างไม่มีประสิทธิภาพและ การแผ่เลเซอร์จะถูกกระจายออกไปอย่างสุ่มไปในอวกาศตั้งแตงไว้ในรูปแบบที่ 2.7-1 ตามผลลัพธ์นี้ความ เข้มที่ไปถึงโลกต่ำมากจนกระทั่งการแผ่เลเซอร์นี้จะถูกค้นพบเพียงใช้ เครื่องมือตรวจสอบรังสีคลื่นแม่เหล็กไฟฟ้าที่ซับซ้อน

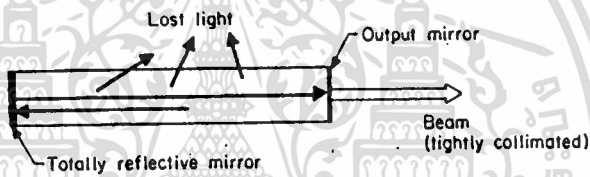
โดยปกติ CO₂ เลเซอร์ทำงานที่ความดันค่อนข้างสูงกว่าและใช้ปริมาตร ของแก๊สน้อยกว่ามากแต่ข้อดีในทางปฏิบัติจริง ๆ ของมันอยู่ที่ว่ามันถูกเอาพลังงานอย่าง มีประสิทธิภาพและรวมความ เข้มของมันเข้าไปอยู่ในลาแคบ ๆ อันนี้ถูกทำโดยการใส่คู่ ของกระจกทั้งสองปลายของทรงกระบอก ถ้าการแผ่ที่ถูกระตุ้นเกิดขึ้นบนแกนระหว่าง กระจกทั้งสองมันจะถูกสะท้อนกลับไปมาตลอดทั้งลอคัล กระจกที่ไปกระตุ้นการแผ่ครั้งแรก แล้ว ครั้ง เล่าจากโมเลกุลของ CO₂ การแผ่ที่ถูกระตุ้นโดยทิศทางอื่นจะสูญหายไปจากตัว กลาง เลเซอร์ ผลลัพธ์ก็คือการแผ่ที่ถูกระตุ้นจะถูกรวบรวมในลาแสงที่ออสซิลเลทกลับ ไปมาระหว่างกระจกทั้งสอง

จากหลักทางอี เลคทรอนิกส์กระจกจะทำให้การบ้อนกลับแบบบวก เลเซอร์กับ คู่ของกระจกสะท้อนกลับทั้งหมดเหมือนกับระบบบ้อนกลับแบบบวก ในทางทฤษฎีที่จะขยาย ตัวมันเอง ไปถึงอนันต์ แต่ในทางปฏิบัติการสูญเสียในช่องจะจำกัดการบ้อนกลับแบบบวก และระดับ (degree) ของการขยาย ในเลเซอร์ที่ใช้งานจริงกระจกอันหนึ่ง (หรือ บางทีก็สองอัน) จะให้แสงส่วนหนึ่งหลุดออกไปจากช่อง เลเซอร์ทั้งรอบ ๆ ขอบของมัน, ตลอดทั้งรู (hole) หรือตลอดทั้งส่วนที่เห็นได้บางส่วน แสงที่หลุดออกจากช่อง เลเซอร์ จะสร้างลาเลเซอร์

สำนักหอสมุดกลาง พระจอมเกล้าลาดกระบัง



(a)



(b)

รูปที่ 2.7-1 กุญแจสำหรับการกำเนิดเลเซอร์คือความมีทิศทาง (directivity)

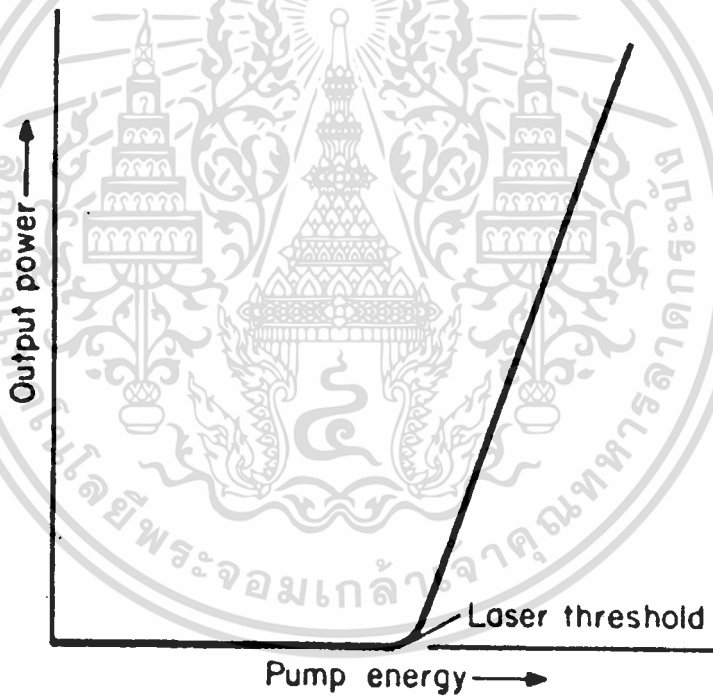
(a) ส่วนที่สูงกว่าบรรยากาศดาวอังคารแผ่แสงเลเซอร์อย่างสม่ำเสมอหาทิศทางที่จะตรวจสอบได้จากโลก

(b) เลเซอร์ที่มนุษย์สร้างขึ้นประกอบด้วยช่องรีโซแนนซ์ที่ก่อให้เกิดแสงที่ถูกหาทิศทาง

ส่วนของแสงที่ถูกขอมให้ออกไปจากช่อง เลเซอร์ขึ้นอยู่กับอัตราขยายของตัวกลางเลเซอร์ ถ้าเลเซอร์ที่มีเอาร์ทพุทเริ่มทำงานอัตราขยายทั้งหมดต้องเท่ากับผลรวมของการสูญเสียของช่องกับส่วนหนึ่งของพลังงานที่ถูกขอมให้ออกจากช่อง ดังนั้นอัตราขยายยิ่งต่ำส่วนที่สามารถถูกส่งออกจากช่องยิ่งน้อย ถ้าอัตราขยายสูงการส่งผ่านก็จะสูงตามไปด้วย ในบางกรณีเช่น excimer laser และในกรณีเลเซอร์อัตราขยายจะ

สูงมากจนกระทั่งกระจกทั้งคู่ของช่องไม่จำเป็น (เลเซอร์แบบนี้ถูกเรียกว่าทำงานในโหมด superradiant)

ทางอื่นที่จะพิจารณาการออสซิลเลทของ เลเซอร์คือเหมือนกับปรากฏการณ์ threshold ที่เกิดขึ้น เมื่ออัตราขยายของตัวกลางเลเซอร์เกินกว่าผลบวกของการสูญเสียของช่อง (cavity losses) และการส่งผ่าน (transmission) ของกระจก เอาท์พุทในกรณีนี้อัตราขยายเป็นสัดส่วนโดยตรงกับเงื่อนไขการทำงานที่รวมถึงพลังงานที่ให้แก่ตัวกลางเลเซอร์ขณะที่กำลังอินพุทเพิ่มขึ้น เอาท์พุทของเลเซอร์ในช่วงแรกเป็นศูนย์จนกระทั่งผ่านพ้น threshold ไปแล้วจะเพิ่มขึ้นอย่างรวดเร็ว ดังแสดงในรูป 2.7-2 Thresholds จะแตกต่างกันไปตามโครงสร้างของช่องและเงื่อนไขของตัวกลางเลเซอร์ที่แตกต่างกัน ในทางปฏิบัติแล้วการออกแบบขนาดช่องและเงื่อนไขการทำงานที่แตกต่างถูกใช้สร้างกำลัง เอาท์พุทที่ระดับต่าง ๆ



รูปที่ 2.7-2 ปรากฏการณ์ threshold ในเลเซอร์ เลเซอร์จะไม่ให้อาท์พุททางแสง ออกมาจนกระทั่งพลังงานจากการยกกระตุ้นจะผ่านค่า threshold ไปก่อน ที่พลังงานการยกกระตุ้นที่สูงกว่านี้กำลัง เอาท์พุทจะเพิ่มขึ้นอย่างรวดเร็ว ในทางปฏิบัติ เลเซอร์แต่ละอันจะจำกัดอยู่ที่เอาท์พุทและในที่สุด เส้นโค้งอินพุทและ เอาท์พุทจะโค้ง เอนออกมา

ความสัมพันธ์ระหว่างกำลังภายในช่องเลเซอร์ (intracavity power) และในลาเลเซอร์ขึ้นอยู่กับกำลังของกระจก เอาท์พุทสำหรับตัวกลางที่มีอัตราขยายต่ำ ขณะที่กำลังของกระจกต่ำระดับกำลังภายในสูงกว่าภายนอก ถ้าจะวิเคราะห์กำลังสูง ๆ เช่น ในการกำเนิดสารรมนิคหรือบางการทดลองมันอาจจะต้องการใส่ส่วนเพิ่มเติมทางแสงภายในช่องเลเซอร์เพื่อหาประโยชน์ของกำลังสูงที่นั่น เลเซอร์บางอย่างถูกออกแบบด้วยระยะภายในช่องที่จะยอมให้วาง เลนส์หรือของทดลองภายในช่อง

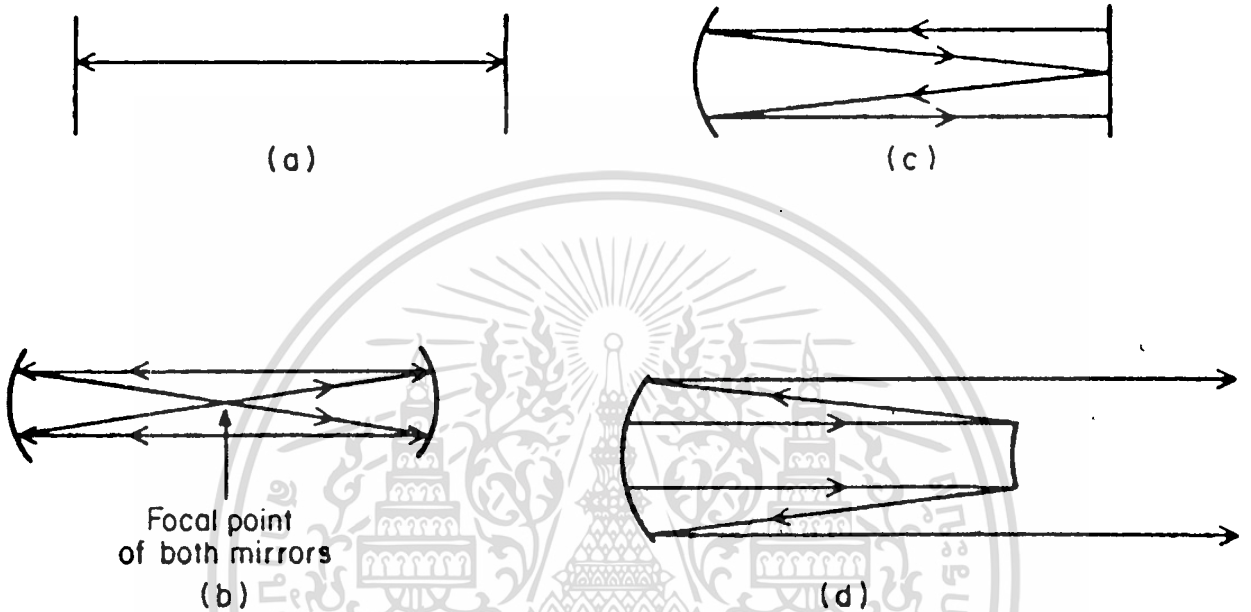
เมื่อยกเว้นเลเซอร์ชนิดอัตราขยายสูงที่ทำงานในโหมด superradiant แล้ว เลเซอร์ส่วนใหญ่เป็นออสซิลเลเตอร์ที่มีช่องที่ถูกกำหนด เขตโดยตัวสะท้อนทั้งสอง อย่างไรก็ตามมันเป็นที่ค้ำยที่จะสร้าง เลเซอร์แอมพลิฟายเออร์ที่เพิ่มกำลัง ที่ถูกสร้างโดยออสซิลเลเตอร์ที่แยกต่างหาก เลเซอร์แอมพลิฟายเออร์ไม่มีกระจกของช่องและไม่กำเนิดแสงภายในมันจะมีตัวกลางทำงาน (active medium) ซึ่งขยายลาแสงจากออสซิลเลเตอร์ที่แยกต่างหาก โดยทั่วไปการออกแบบนี้ถูกใช้สร้างพัลส์ของกำลังสูง ๆ จากตัวกลางเลเซอร์ที่มีการเก็บพลังงานไว้ข้างในและอัตราการขยายสูง ๆ สำหรับเลเซอร์แบบนี้โดยทั่วไปมันมีประสิทธิภาพที่จะได้กำลังสูง ๆ โดยใช้ออสซิลเลเตอร์และแอมพลิฟายเออร์ที่แยกต่างหากมากกว่า โดยพยายามสร้างออสซิลเลเตอร์ที่ใหญ่กว่ามาก ลูกโซ่แอมพลิฟายเออร์มวลทั้งก้อนถูกสร้างขึ้นเพื่อใช้ในการทดลอง เลเซอร์พิวซัน (George, 1982)

2.8 รีโซเนเตอร์ , โหมดและคุณภาพของลาแสง

การออสซิลเลเลเซอร์เกิดขึ้นในช่องรีโซแนนซ์ที่ถูกกำหนด เขตโดยกระจกที่ปลายทั้งสองทฤษฎีรีโซเนเตอร์ของเลเซอร์ได้พัฒนามาจากงานวิจัยในเรื่องรีโซแนนซ์ของความถี่วิทยุ แต่ความแตกต่างในความยาวคลื่นอย่างมากทำให้เปลี่ยนแปลงไปมาก เพราะความยาวของช่อง (cavity) มีขนาดเป็นหลายเท่าของความยาวคลื่นเลเซอร์ มันเป็นที่ค้ำยที่จะออสซิลเลหรือมวกัน ในหลายโหมด เพื่อที่จะจำกัดโหมดในการออสซิลเลช่องในเลเซอร์จะเปิดด้วยกระจกเล็ก ๆ สองอันที่ปลายทั้งสองข้างซึ่งไม่เหมือนช่องในวิทยุที่สามารถสะท้อนจากทุก ๆ ด้าน

โครงสร้างหลายแบบเป็นที่ค้ำยสำหรับรีโซเนเตอร์ในเลเซอร์ตัวอย่างแบบต่าง ๆ ถูกแสดงในรูป 2.8-1 โดยความคิดแล้วแบบที่ง่ายที่สุดคือแผ่นแบบราบขนานกันหรือรีโซเนเตอร์แบบ Fabry-perot ซึ่งเป็นแบบที่กระจกแบนราบสองอันถูกวางไว้ที่ปลายทั้งสองข้างของช่องที่ถูกหาที่ขนานซึ่งกันและกัน และตั้งฉากกับแกนของช่อง รีโซแนนซ์เกิดขึ้นเมื่อความยาวของช่อง (D) เท่ากับจำนวนเต็ม n เท่าของความยาวคลื่น ($\lambda / 2$) :

$$D = \frac{n\lambda}{2}$$



รูปที่ 2.8-1 ตัวอย่างของการออกแบบช่องในเลเซอร์ซึ่งแสดงถึงแสงสะท้อนกลับมาระหว่างกระจกที่ปลายอย่างไร สิ่งเกี่ยวกับการออกแบบในรูป (d) จะทำให้ได้ลำแสงที่มีพื้นที่ภาคตัดขวางแบบ doughnutlike

- (a) Plane-parallel resonator (marginal stability);
- (b) Confocal resonator (stable);
- (c) Hemiconfocal resonator (stable);
- (d) Positive-branch confocal unstable resonator

สมการข้างบนสามารถแก้หาความยาวคลื่นได้ด้วยที่ให้ความเป็นไปได้ของการออสซิลเลชันที่ความยาวคลื่น

$$\lambda = 2D / n$$

เพราะว่าโดยทั่วไปช่องของ เลเซอร์มีค่าเป็นทึบหรือแสงเท่าของความยาวคลื่น ดังนั้นจึงยอมให้มีการออสซิลเลชันที่ความยาวคลื่นช่วงกว้างมาก อย่างไรก็ตามการออสซิลเลชันจะเป็นไปได้ที่ความยาวคลื่นภายในแถบขยาย (gain bandwidth) ของตัวกลาง เลเซอร์ และ เครื่องมือทางแสงที่พิเศษอื่นก็สามารถจำกัดช่วงออสซิลเลชัน

ความง่ายของรีโซเนเตอร์แบบ plane-parallel ถูกลดลงไปโดยความยากในทางปฏิบัติของการทำให้กระจกอยู่ในแนวตรงแน่นอนพอดี สำหรับการทางานที่มีเสถียรภาพของ เลเซอร์หลัก เกณฑ์เดียวกันนี้ใช้กับการออกแบบหัว ๆ ไป ที่ใช้กระจกโค้งทรงกลมหนึ่งหรือสองอัน เพื่อให้การทำให้อยู่ในแนวตรง (alignment) ง่ายขึ้น ซึ่งประกอบด้วย

Concentric (or spherical) resonator : กระจกโค้งทรงกลมที่เหมือนกันสองอันถูกแยกโดยระยะห่างเท่ากับสอง เท่าของรัศมีความโค้ง ดังนั้นศูนย์กลางของความโค้งจึงต้องตรงกัน

Confocal resonator : กระจกโค้งทรงกลมที่เหมือนกันสองอันถูกแยกเป็นสอง เท่าของความยาวโฟกัสของมัน ดังนั้นจุดโฟกัสจึงตรงกัน (เพราะความยาวโฟกัสของกระจกทรงกลมเป็นครึ่งหนึ่งของรัศมีความโค้ง อันนี้หมายความว่าศูนย์กลางของความโค้งของกระจกหนึ่งอยู่ที่ตำแหน่งวางของกระจกอีกอันหนึ่ง)

Hemiconfocal resonator : กระจกทรงกลมถูกวางห่างจากกระจกแบนด้วยระยะความยาวโฟกัสของมัน

Hemispherical resonator : กระจกทรงกลมถูกวางห่างจากกระจกแบนราบด้วยระยะรัศมีความโค้งของมัน

รีโซเนเตอร์เหล่านี้และการออกแบบด้วยระยะกระจกขนาดต่าง ๆ กัน ที่คล้ายกันนี้ถูกเรียกว่า รีโซเนเตอร์ที่เสถียร (stable resonator) ทฤษฎีรีโซเนเตอร์ในเลเซอร์ซับซ้อนมากและกล่าวเจาะจงคำว่า " เสถียร " ไม่ควรใช้กับ plane-parallel resonator หรือ concentric resonator โดยไม่มีการอธิบายเพิ่มอีก

หลัก เกณฑ์ของรีโซเนเตอร์ที่เสถียรสามารถเห็นได้จากการติดตามคลอคาทางเดินของรังสีในช่อง จุด threshold ของความมีเสถียรภาพจะถูก เข้าไปถึง ใต้ถ้ารังสีแสง ที่เริ่มต้นขนานกับแกนของช่อง เลเซอร์สามารถสะท้อนกลับไประหว่างกระจกทั้งสองโดยไม่มีการหนีไปจากที่ระหว่างกระจก ซึ่งหลัก เกณฑ์ถูกแสดงไว้ในรูป 2.8-1 เงื่อนไขที่ใช้ได้และค่อนข้างแน่นอนกว่าสำหรับการทางานของรีโซเนเตอร์ที่เสถียรภาพคือว่ารังสีแสงที่ออกมาออกแนวที่ตรงกับแกนไปเล็กน้อย ควรจะถูกสะท้อนอย่างต่อเนื่อง

ระหว่างกระจกของรีโซเนเตอร์เช่นเดียวกัน อธิบายเงื่อนไขอื่นอีกทางหนึ่งก็คือว่าต้องมีกำลังที่พอสufficiant หนึ่งภายในช่อง เลเซอร์ซึ่งในกรณีนี้กำลังที่พอสufficiant ให้กระจกกระจก

รีโซเนเตอร์แบบ plane-parallel ต้องมีเงื่อนไข threshold สำหรับความถี่เสถียรภาพ แต่โดยตัวของมันเองไม่สามารถให้กำลังที่พอสufficiant ซึ่งต้องการ เพื่อให้มีเงื่อนไขที่แน่นอนดังนั้นโดยตัวของมันเองแล้วรีโซเนเตอร์แบบนี้ไม่เป็นรีโซเนเตอร์ที่เสถียรจริง ๆ โดยเฉพาะ เพราะปัญหาในทางปฏิบัติของการทำให้กระจกตรงขนานซึ่งกันและกันอย่างเที่ยงตรง อย่างไรก็ตามมันสามารถใช้ได้ถ้ามีสิ่งอื่นในช่อง เลเซอร์ให้กำลังที่พอสufficiant ตามต้องการ กรณีนี้เกิดขึ้นในเลเซอร์แบบ solid-state crystalline และ glass ซึ่งการพอสufficiant ทางอุณหภูมิตั้ง (rod) ของมันเองจะให้การพอสufficiant ที่จำเป็นสำหรับการทำงานที่เสถียรภาพ

รีโซเนเตอร์แบบ concentric เป็นกรณีพิเศษอีกแบบหนึ่ง มันต้องการกฎเกณฑ์ของความเสถียรภาพทางทฤษฎีแต่ในทางปฏิบัติไม่ได้ให้การทำงานของ เลเซอร์ที่เสถียรภาพเพราะมันมีพอสufficiant หน้าคลื่น (wavefront) ภายในที่จุดกึ่งกลางของมัน ในทางปฏิบัติการออกแบบอื่น ๆ ที่มีกระจกโค้งเว้า (concave) อย่างน้อยหนึ่งอันถูกใช้โดยทั่วไปสำหรับแก๊ส เลเซอร์กำลังต่ำที่ทำงานตลอดเวลา

รีโซเนเตอร์ซึ่งไม่มีกฎเกณฑ์เสถียรภาพถูก เรียกว่ารีโซเนเตอร์ที่ไม่เสถียร เพราะ รังสีแสง เบี่ยงเบนออกไปจากแกนมีการเปลี่ยนแปลงมาก ในรีโซเนเตอร์ที่ไม่เสถียรตัวอย่างหนึ่งคือ กระจกทรงกลมโค้งออก (convex) อยู่ตรงข้ามกับกระจกแบนราบ อีกตัวอย่างหนึ่งประกอบด้วยกระจกทรงกลมโค้ง เข้า (concave) ที่มีรัศมีต่างกัน (ดังนั้นแสงถูกสะท้อนจากกระจกที่ใหญ่กว่าหนีออกไปรอบ ๆ ขอบของกระจกที่เล็กกว่า) และยังมีแบบที่ใช้กระจกโค้งออกทั้งสองอัน

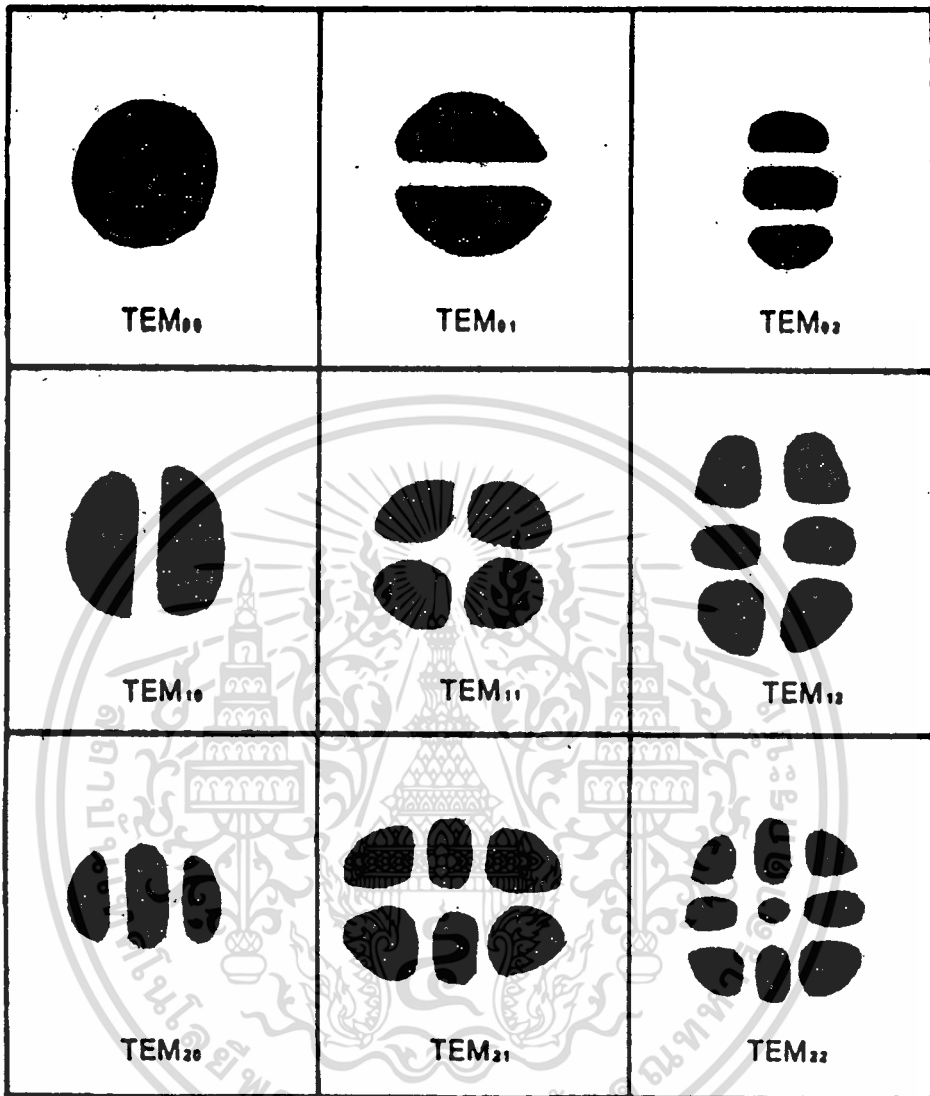
รีโซเนเตอร์ทั้งสองแบบที่กล่าวมามีข้อดี และรูปแบบของโหมดที่แตกต่างกัน รีโซเนเตอร์ที่เสถียรรวมความเข้มแสงตามแนวแกน เลเซอร์ ซึ่งมันจะถูกเอาพลังงานอย่างมีประสิทธิภาพจากบริเวณนั้นแต่ไม่ได้เอาจากบริเวณนอกที่ไกลไปจากแกน ไลท์ที่มันเกิดขึ้นมีพิคความเข้มอยู่ที่ศูนย์กลางและความเข้มจะลดลงแบบ Gaussian ความระยะที่เพิ่มขึ้นจากแนวแกนมันเป็นแบบมาตรฐานที่ถูกใช้กับเลเซอร์แบบคลื่นต่อเนื่องและอัตรารายค่าเช่น ฮีเลียม-นีออน เลเซอร์

รีโซเนเตอร์ที่ไม่เสถียรภาพ มักจะกระจายแสงภายในช่อง เลเซอร์ตลอดปริมาณทั้งหมด ในกรณีทั่วไปไลท์เอาท์พอสufficiant มีรูปร่าง เป็นวงกลมที่มีพิคความเข้มอยู่ในวงแหวนรอบแกนแต่ไม่มีผลอยู่บนแกน การออกแบบนี้จะรวบรวมพลังงาน เลเซอร์จากปริมาณส่วนมากในช่อง เลเซอร์ ซึ่งโดยทั่วไปจะนำไปสู่ประสิทธิภาพการเปลี่ยนรูปพลังงานทั้งหมดสูงกว่าแบบทั้งหมดที่ได้จากรีโซเนเตอร์ที่เสถียร แม้ว่าประสิทธิภาพใน

การคุกคลื่นพลังงานจากบริเวณแกนของ เลเซอร์จะต่ำกว่าอันนี้จะทำได้ดีที่สุดสำหรับพัลส์ เลเซอร์ที่มีอัตราขยายสูง ข้อดีพิเศษหนึ่งคือความสามารถใช้เครื่องมือทางแสงที่สะท้อน กลับหมดที่มีลาแสง เอาท์พุทหนีออกไปรอบ ๆ กระจกอันเล็ก ซึ่งสำคัญในงานด้านอุลตรา ไวโวลเลทที่มีวัสดุไม่กี่อย่างที่สามารถส่งผ่านกำลังสูง ๆ ได้ แม้ว่าลาแสงที่มีรูปร่าง แบบคณันท์จะไม่มีผลของความเข้มในสนามใกล้แกน (the near field) แต่มันเรียบ ออกไปที่ระยะห่างออกไปจากแกนเลเซอร์ ที่ให้การแจกแจงพลังงานแบบยูนิฟอร์มมาก กว่า ในบริเวณสนามที่ไกลแกน (the far field) ลาแสงของรีโซเนเตอร์ที่ไม่ เสถียรมักจะมีมุมที่บานออก (divergence) น้อยกว่าลาแสงของรีโซเนเตอร์ที่เสถียร รีโซเนเตอร์ในเลเซอร์มีชนิดของโหมดที่แตกต่างกันสองชนิดคือ แบบตาม ขวาง (transverse) และแบบตามยาว (longitudinal) โหมดตามขวางจะ แสดงตัวเองโดยรูปร่างภาคตัดขวางนั้นคือในรูปแบบความเข้มของมัน ส่วนโหมดตาม ยาวเป็นไปตามรีโซแนนซ์ที่แตกต่างกันตามความยาวของช่อง เลเซอร์ซึ่งเกิดขึ้นที่ความถี่ หรือความยาวคลื่นต่าง ๆ ภายในอัตราขยายแบบ แบนด์วิดท์ (gain bandwidth) ของเลเซอร์ เลเซอร์ที่มีโหมดตามขวาง เดียวที่ออสซิลเลทในโหมดความยาว เดียวจะ ออสซิลเลทที่เพียงความถี่เดียว ส่วนเลเซอร์ที่ออสซิลเลทในโหมดตามยาวสองโหมด จะออสซิลเลทพร้อมกันที่ความยาวคลื่นสองค่าแยกกัน (แต่มักจะมีระยะใกล้กัน) เมื่อ ยกเว้นความต้องการการใช้งานในด้าน การวิเคราะห์สเปกตรัม และ การสื่อสารแล้ว การควบคุมโหมดตามยาวจนกระทั่งการออสซิลเลทอยู่ที่ความถี่ เดียวนั้นมีความสำคัญน้อยกว่าการควบคุมโหมดตามขวาง ซึ่งนำไปสู่คุณภาพของแสง

การใช้ถ้อยคำพิเศษสำหรับโหมดตามขวางได้พัฒนามาเรื่อย ๆ โดยอยู่บน งานทางทฤษฎีที่ถูกทำในการพัฒนา เลเซอร์ในปัจจุบัน โหมดตามขวางถูกแบ่งตามจำนวน ที่ไม่มีผลของความเข้มที่ปรากฏตามขวางของพื้นที่ภาคตัดขวางของลาแสงในสองทิศทาง โหมดต่ำที่สุด (fundamental mode) ซึ่งมีทิศความเข้มอยู่ที่ศูนย์กลาง ถูกเรียกว่า TEM₀₀ ส่วนโหมดที่มีความเข้มอยู่ในแนวแกนเดียวและไม่มีความเข้มอยู่ในแนวตั้งฉาก คือ TEM₀₁ หรือ TEM₁₀ ซึ่งขึ้นกับระนาบ ตัวอย่างของโหมดเหล่านี้ซึ่งถูกสร้างขึ้นจาก รีโซเนเตอร์ที่เสถียรถูกแสดงในรูปที่ 2.8-2 สำหรับการใช้งานส่วนใหญ่โหมด TEM₀₀ เป็นโหมดที่ต้องการมากแต่ลาแสงโหมดอื่นถูกใช้ส่งกำลังที่มากกว่าในคุณภาพของลาแสง ที่ต่ำกว่าได้ตั้งนั้นจึงถูกใช้ในบางกรณี การใช้ถ้อยคำสำหรับอธิบายโหมดของ เลเซอร์ที่มี รีโซเนเตอร์ไม่เสถียรได้วิวัฒนาการมาต่างกัน แต่สำหรับจุดประสงค์ในทางปฏิบัติส่วนใหญ่ เลเซอร์ที่มีรีโซเนเตอร์ที่ไม่เสถียรสามารถใช้งานในโหมดที่ต่ำสุดซึ่งจะให้ลาแสงที่มีภาคตัดขวาง เป็นวงกลม

เอกสารนี้เป็นเอกสารที่สงวนไว้สำหรับการใช้งานเพื่อการศึกษาเท่านั้น ไม่นอนุญาตให้นำไปใช้ประโยชน์ด้านการค้า ไม่ว่ากรณีใดๆทั้งสิ้น อีกทั้งห้ามมิให้ตัดแปลงเนื้อหา และต้องอ้างอิงถึงเจ้าของเอกสารทุกครั้งที่มีการนำไปใช้



รูปที่ 2.8-2 โหมดค่า v ที่ถูกสร้างขึ้นจากรีโซเนเตอร์ที่เสถียร

รูปแบบโหมดตามขวางที่แตกต่างกันข้างบนสามารถเห็นได้ในบริเวณสนามใกล้ที่ใกล้กับช่องเปิดเออร์นุทของเลเซอร์ขณะที่ลำแสงเดินทางผ่านทะลุที่ว่าง การแจกแจงพลังงานจะเป็นแบบยูนิฟอร์มมากกว่าไกลออกไปจากเลเซอร์ที่เรียกว่า far field ความไม่เป็นยูนิฟอร์ม เช่น ความเข้มน้อยที่สุดที่ศูนย์กลางของลำแสงรีโซเนเตอร์ที่ไม่เสถียรมักจะถูกทำให้เรียบ

สำหรับการใช้งานส่วนใหญ่ของ เลเซอร์ คุณสมบัติทางเรขาคณิตของเส้นผ่าศูนย์กลางของลำแสงและมุมที่บานออกของลำแสง มีความสำคัญมากกว่าโครงสร้างของโหมบสำหรับลำแสงแบบ gaussian เส้นผ่าศูนย์กลางของลำแสงโดยทั่วไปถูกวัดที่จุดซึ่งความเข้มลดลงเป็น $1/e^2$ ของความเข้มที่ศูนย์กลางของลำแสงของช่อง เลเซอร์ เป็นตัวกำหนดเส้นผ่าศูนย์กลางของลำแสงซึ่งโดยทั่วไปถูกวัดที่กระจกเอาต์พุต การวัดโหมบเส้นผ่าศูนย์กลาง (diameter) หมายถึง ภาคตัดขวางเป็นวงกลมแก่ลำแสง เลเซอร์สามารถมีรูปร่าง เป็นรูปสี่เหลี่ยมหรือรูปสี่เหลี่ยมคี่

มุมที่บานออกของลำแสงขึ้นอยู่กับอุปกรณ์แสงของช่อง (cavity optics) เป็นอันดับแรกมันวัดมุมที่ซึ่งลำแสงกระจายออกหลังจากมันออกมาเป็นเลเซอร์ เมื่อไม่รวมเลเซอร์เซมิคอนดักเตอร์โคโรดแล้วส่วนใหญ่มันจะน้อยกว่ามิลลิเรเดียน ($m\ rad$) เสมอและมีหลายชนิดที่โดยทั่วไปมีขนาด $1\ m\ rad$ ซึ่งจำกัดล่าง (lower limit) ซึ่งกล่าวว่ามีมุมที่เล็กที่สุดซึ่งสามารถสร้างขึ้นได้ (ถูกวัดในหน่วย $m\ rad$) จะเป็นสัดส่วนโดยตรงกับความยาวคลื่นที่หารด้วยช่องเปิดเอาต์พุต (output aperture) $D : Divergence = 1.22(\lambda / D)$ ตามความสัมพันธ์นี้มุมที่บานออกของลำแสงสามารถลดลงได้โดยการใช้ช่องเปิดเอาต์พุตที่ใหญ่ขึ้นหรือลดความยาวคลื่นให้สั้นลง เลเซอร์ที่มีมุมที่บานออกประมาณเท่ากับขีดจำกัดการเบี่ยงเบนจะถูกเรียกว่า diffraction-limited

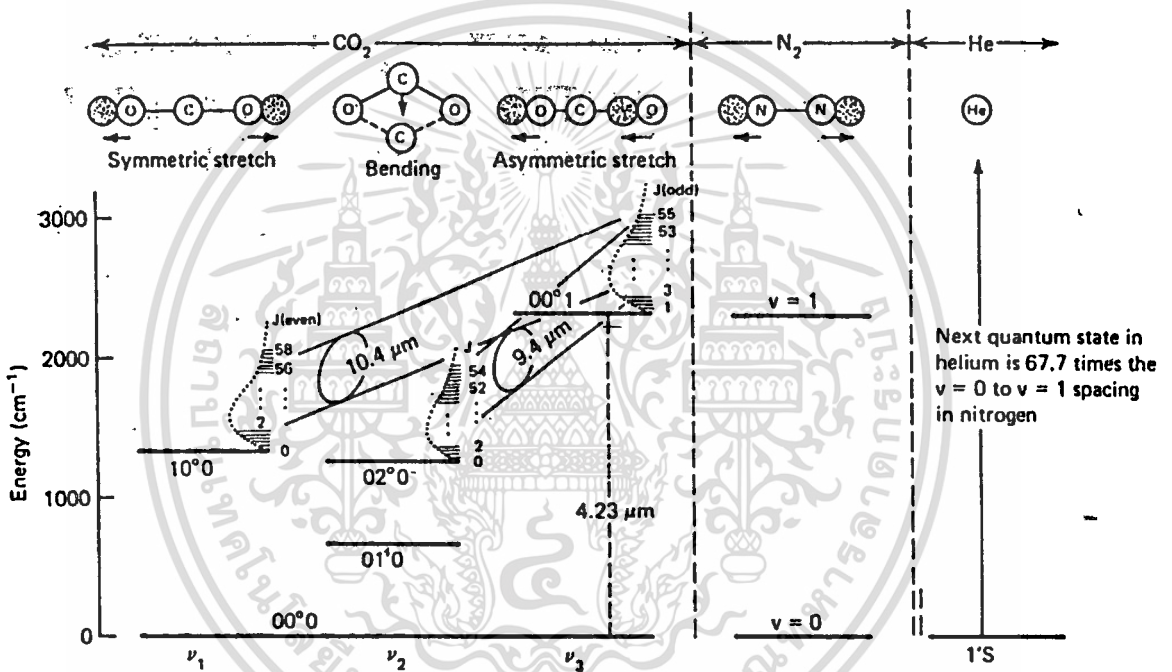
2.8 คาร์บอนไดออกไซด์เลเซอร์

คาร์บอนไดออกไซด์เลเซอร์เป็นเลเซอร์แบบหนึ่งที่น่าสนใจ เพราะมันให้เอาต์พุตที่ต่อเนื่องสูงกว่าและประสิทธิภาพที่สูงกว่าเลเซอร์แบบอื่น ๆ และในกรณีนี้เลเซอร์ชนิดนี้จึงมีการใช้งานเกิดขึ้นหลายรูปแบบที่ประกอบไปด้วย เลเซอร์ต่อเนื่องกำลังสูงที่มีรูปแบบตั้งแต่ในท้องลับ และอุปกรณ์ของวิศวกรไปจนถึงการติดตั้งขนาดใหญ่ในงานวิจัย, พัลส์และ Q-switched เลเซอร์, ระบบออสซิลเลเตอร์แอมพลิฟายเออร์ และเลเซอร์ความถี่เดียวที่เสถียรความสามารถในการใช้งานที่เพิ่มขึ้นและการปรับปรุงของคุณสมบัติของ C.W. และพัลส์เลเซอร์ที่ดีขึ้นมากได้กระตุ้นให้เกิดความสนใจใหม่ในอุปกรณ์แบบต่าง ๆ ความก้าวหน้าที่สำคัญส่วนใหญ่เป็นผลของการวิจัยอัตราการผลิตของแก๊สแบบเร็วในเลเซอร์ความดันต่ำและเป็นผลของการวิจัยพัลส์คิซาร์จ เลเซอร์ทางานที่ความดันบรรยากาศ ถ้าปัญหาที่น่ากลัวผ่านพ้นไปได้การรวมการทางานที่มีอัตราการผลิตแบบเร็วและความดันแก๊สสูง เข้าด้วยกัน จะนำไปสู่ความก้าวหน้าที่สำคัญมากในการทางานแบบต่อเนื่อง สำหรับการใช้งานในด้านต่าง ๆ เหล่านี้ที่ความก้าวหน้าถูกจำกัดโดยคุณสมบัติของ เลเซอร์นั้นจะต้องมีการปรับปรุงให้ก้าวหน้าต่อไป

เอกสารนี้เป็นเอกสารที่สงวนไว้สำหรับการใช้งานเพื่อการศึกษาเท่านั้น ไม่อนุญาตให้นำไปใช้ประโยชน์ด้านการค้า ไม่ว่าจะกรณีใดๆทั้งสิ้น อีกทั้งห้ามมิให้ดัดแปลงเนื้อหา และต้องอ้างอิงถึงเจ้าของเอกสารทุกครั้งที่มีการนำไปใช้

2.9.1 กลไกการทำงานภายในของคาร์บอนไดออกไซด์เลเซอร์

ตัวกลางทำงานของ CO₂ เลเซอร์ทั่วไปเป็นแก๊สผสมคาร์บอนไดออกไซด์, ไนโตรเจน และ ฮีเลียม การอธิบายกลไกแบบธรรมดาแสดงได้ ดังรูปที่ 2.9 -1 เลเซอร์เกิดขึ้นโดยการเปลี่ยนระดับแบบสั้นสะเทือนและ แบบการหมุนของสถานะกราวน์ทางอิเล็กทรอนิกส์ของ CO₂ พลังงานการกระตุ้นของระดับ $V = 1$ ของ N₂ อยู่ใกล้กับระดับบนสุดของเลเซอร์มาก และการแลกเปลี่ยนพลังงานระหว่างระดับทั้งสองเกิดขึ้นอย่างรวดเร็ว



รูปที่ 2.9-1 โครงสร้างของระดับพลังงานใน CO₂ เลเซอร์

คาร์บอนไดออกไซด์เป็นตัวแผ่แสงเลเซอร์โมเลกุลของ CO₂ จะถูกกระตุ้นก่อน ดังนั้นมันจึงสั้นสะเทือนในโหมดยกกระดืบแบบไม่สมมาตร (asymmetrical stretching) แล้วโมเลกุลนี้จะสูญเสียพลังงานการกระตุ้นบางส่วนไปโดยลดระดับพลังงานลงมาหนึ่งในสอง ไปสู่สถานะการสั้นสะเทือนในระดับพลังงานที่ต่ำกว่าตามรูป 2.9-1 ถ้าโมเลกุลของมันแผ่ลำโฟตอนเลเซอร์ออกมา มันจะลดระดับพลังงานลงมาเป็นชั้นบันไดจนกระทั่งถึงสถานะกราวน์โดยผ่าน V₂

โมเลกุลของไนโตรเจนจะเป็นตัวเก็บพลังงานสำหรับช่วยกระตุ้นในโมเลกุล CO₂ วิทยุระดับไปสู่ระดับพลังงานที่สูงกว่าได้อีกทางหนึ่ง นอกจากการกระตุ้นโดยตรงโดยการชนกันของอิเล็กตรอน สถานะการสั้นสะเทือนที่ต่ำที่สุดของ N₂ เป็น 18 cm⁻¹ ซึ่งเป็นพลังงานที่ต่ำกว่าโหมดยกกระดืบแบบไม่สมมาตรของ CO₂ แต่ความแตกต่างนี้น้อยกว่าหนึ่งในสิบของพลังงานความร้อนเฉลี่ยของโมเลกุลที่อุณหภูมิห้อง ด้วยเหตุนี้จึงไม่มีความสำคัญในเชิงปฏิบัติทำให้โมเลกุลของไนโตรเจนดูดกลืนพลังงาน และส่งต่อไปให้โมเลกุลของ CO₂ ดังนั้นจึงยกกระดืบของโมเลกุล CO₂ ไปสู่ระดับที่สูงกว่า

โมเลกุลของ CO₂ ยังสามารถไปถึงระดับพลังงานที่สูงกว่าได้อีกทางหนึ่งคือมันสามารถดูดกลืนพลังงานจากอิเล็กตรอนที่ถูกจ่ายเข้าไปในแก๊สไนการคิสซาร์จหรือลาอิเล็กตรอน ทางเลือกหนึ่งของการทำให้เกิดการย้อนกลับของประชากรซึ่งจำเป็นสำหรับการกำเนิดเลเซอร์คือ การทำให้แก๊สเลเซอร์ความดันสูงที่ร้อนขยายตัวอย่างรวดเร็วเข้าไปในสุญญากาศที่เย็น อันนี้เป็นหลักเกณฑ์พื้นฐานของแก๊สไดนามิกส์คาร์บอนไดออกไซด์เลเซอร์ ในทางปฏิบัติการมี N₂ อยู่เป็นการส่งเสริมการทำงานของเลเซอร์ที่สำคัญและเป็นแก๊สที่มีอยู่ใน CO₂ เลเซอร์เสมอ

ส่วนที่สี่มีหน้าทั้งสองอย่าง อย่างแรกเป็นบัฟเฟอร์แก๊ส (buffer gas) ช่วยถ่ายเทความร้อนให้แก่ผสมเย็นลง เนื่องจากมันมีสภาพ ความนำความร้อน (thermal conductivity) สูงมาก และหน้าที่อีกอย่างคือมันช่วยให้โมเลกุลของ CO₂ มีอัตราการผ่อนคลาย (relaxation) จากระดับเลเซอร์ที่ต่ำกว่าไปสู่ระดับกราวน์ ดังนั้นจึงช่วยรักษาภาวะการย้อนกลับของประชากรที่จำเป็นสำหรับการทำงานของเลเซอร์

ส่วนประกอบและความดันของแก๊สใน CO₂ เลเซอร์เปลี่ยนแปลงได้กว้างในการออกแบบแหล่งกำเนิดเลเซอร์ในทางปฏิบัติ โดยทั่วไปใน CO₂ เลเซอร์ความดันของแก๊สผสมที่ไหลผ่านจะอยู่ราว ๆ 15 torr (2000 Pa) โดยมีส่วนผสมของแก๊ส CO₂ 10 % , แก๊ส N₂ 10 % และที่เหลือเป็นฮีเลียม โดยทั่วไปความเข้มข้นของไนโตรเจนและคาร์บอนไดออกไซด์จะถูก เปรียบเทียบกันแต่น้อยกว่าความเข้มข้นของฮีเลียมและความดันค่า ๆ จำเป็นสำหรับการทำงานต่อเนื่อง

บทที่ 3

กระบวนการออกแบบโครงสร้างของช่องตัวกลางและรีโซเนเตอร์

3.1 บทนำ

ในบทนี้จะกล่าวถึงรายละเอียดของการออกแบบคาร์บอนไดออกไซด์เลเซอร์แบบธรรมดาที่ง่ายและ เป็นที่ยอมรับที่อยู่บนพื้นฐานความสัมพันธ์ระหว่างพารามิเตอร์ต่าง ๆ แม้ว่าจะมีบทความหลายบทความและหนังสือที่ตีพิมพ์เล่มอธิบายถึงคุณสมบัติทางฟิสิกส์ , ทางกลไก และทางแสงของคาร์บอนไดออกไซด์เลเซอร์ แต่งานเหล่านี้ไม่ได้ อธิบายถึงความสัมพันธ์ทั่วไประหว่างพารามิเตอร์เหล่านี้ ซึ่งจำเป็นมากในการออกแบบ วัสดุที่ดีที่สุด บทนี้จะอธิบายแต่ละพารามิเตอร์ในเชิงปริมาณรวมทั้งความสัมพันธ์ระหว่าง diffraction losses ของโหมด TEM₀₀ และ TEM₁₀ ที่ประกอบด้วยเส้นผ่าศูนย์กลางของหลอด , ความยาวที่ทำงาน (active length) , รัศมีความโค้ง ของกระจก , การส่งผ่านของกระจก (transmission) กับ dissipative loss ที่ประกอบด้วยอัตราขยาย (gain) , ความเข้มอ้อมคัวและกำลังทางออก ความสัมพันธ์ บางอันมาจากทฤษฎี บางอันมาจากการสังเกตในการทดลอง แล้วในบทนี้จะกล่าวถึงรูปแบบการออกแบบอย่างละเอียดที่มีพื้นฐานอยู่บนความสัมพันธ์ทางปริมาณต่าง ๆ เหล่านี้ ซึ่งจะสามารถทำให้เราออกแบบคาร์บอนไดออกไซด์เลเซอร์ที่ให้กำลังทางออกเป็นแบบ หมดเดี่ยวนั้น ปัจจุบันการออกแบบที่มีอยู่ในรูปกราฟเท่าที่เป็นไปได้จะทำให้เราสามารถ กำหนดผลของการ เปลี่ยนพารามิเตอร์ในการออกแบบ , กำลังทางออกของ เลเซอร์ที่ เกิดขึ้นหรือออกแบบระบบเลเซอร์ใหม่ให้ได้กำลังทางออกแบบ TEM₀₀ ตามต้องการได้ ในที่นี้การออกแบบจะให้เลือกพารามิเตอร์ต่าง ๆ ทางเรขาคณิต และ การส่งผ่าน (transmission) ของกระจกทางออกโดยสมมติว่าส่วนผสมของแก๊ส , ความดันและ เงื่อนไขของการดิสชาร์จนั้นอยู่ในภาวะที่ดีที่สุด และในตอนที่ 3.2 เราได้ทำการออกแบบคาร์บอนไดออกไซด์เลเซอร์ขนาด 50 วัตต์ซึ่งใช้เป็นตัวต้นแบบในการหาข้อมูลต่าง ๆ สำหรับวิทยานิพนธ์ฉบับนี้

3.2 การพิจารณาวิธีการออกแบบทั่วไป

ในหัวข้อนี้จะอธิบายถึงความสัมพันธ์ต่าง ๆ ในการออกแบบและจะแสดงถึง การหาค่ากำลังทางออกในเทอมของความสัมพันธ์เหล่านี้

ความสัมพันธ์อันแรกที่จะถูกพิจารณาคือกำลังทางออก (P_o) ที่ขึ้นอยู่กับ loss ทั้งหมด (1) ที่แต่ละปลายหลอด , อัตราขยาย $g_o L_a$ (single pass gain , g_o คือ unsaturated gain , และ L_a คือ active discharge length) ,

ความเข้มอิมิตัว (I_s : saturation intensity) และการส่งผ่านของกระจก
เอาต์พุต (transmission) สำหรับกำลังทางออก (P_o) จะมีความสัมพันธ์ดังนี้

$$P_o = K A_T I_o \quad \dots\dots(3.1)$$

ขณะที่ A_T คือพื้นที่หน้าตัดของหลอด

และ I_o คือความเข้มที่มีผลตรงทางออก (effective output intensity)
ส่วนค่าคงที่ K หาได้จากการทดลอง สำหรับคาร์บอนไดออกไซด์เลเซอร์ที่มีกำลังออก
ทั้งหมด TEM₀₀ เราพบจากการทดลองว่าค่าคงที่ $K = 0.8$

เพื่อความสะดวกเราจะเขียน I_o ให้อยู่ในรูปผลคูณของ I_o / I_s กับ I_s
โดยที่ I_s คือความเข้มอิมิตัว (Saturation intensity) จะทำให้สมการ (3.1)
กลายเป็น

$$P_o = 0.2 A_T D_T^2 (I_o / I_s) I_s \quad \dots\dots(3.2)$$

ขณะที่ D_T คือเส้นผ่าศูนย์กลางของหลอด

ความเข้มของการแผ่รังสีที่เกิดจากเลเซอร์สภาวะคงตัวได้ถูกหาและคำนวณ
มาแล้วภายใต้ข้อจำกัดของค่าเศษส่วนน้อย ๆ ของ loss per pass สุทธิ อย่างไรก็ตาม
ก็ตามเมื่อเกิดมีเลเซอร์อัตราขยายสูงซึ่งสามารถออสซิลเลตได้แม้จะมี dissipative
หรือ coupling loss เกิดขึ้นได้มาก มันจึงสะดวกในการขยายการคำนวณ
เหล่านี้โดยตัดข้อจำกัดข้างท้ายทิ้งไป การวิเคราะห์ที่ถูกทำที่นี่จะหาเพียงกรณีของ
homogeneous laser transition ซึ่งในการเปลี่ยนระดับรูปร่างของเส้น (line
shap) จะไม่เปลี่ยนแปลงในช่วงอิมิตัวของอัตราขยาย (gain saturation)

รีโซเนเตอร์ถูกสมมติว่ามีรูปร่างที่จะตอบสนองต่อคลื่นแม่เหล็กไฟฟ้าตาม
แนวราบได้เป็นอย่างดี โดยที่ loss ของมันถูกรวมไปสู่จุดเดียวใกล้ ๆ กับกระจก แม้
จะมีข้อสมมุติเหล่านี้ผลลัพธ์จะให้ลักษณะ first order ของการแจกแจงการแผ่รังสี
ในรูปของเลเซอร์อัตราขยายสูงเป็นส่วนใหญ่ เมื่อ loss นั้นมีค่ามากหลายเบอร์เซ็นต์

ถ้าเราแทนความเข้มชันของการแผ่รังสีที่ถูกปรับให้ปกติ (normalized)
ในทิศทาง +Z และ -Z ของเลเซอร์ออสซิลเลเตอร์ด้วย $\beta_+ = I_+ / I_s$ และ
 $\beta_- = I_- / I_s$ ตามลำดับ ขณะที่ I_s เป็นความเข้มอิมิตัวแล้วสัมพันธ์อัตรา
ขยายอิมิตัว $g(z)$ จะสัมพันธ์กับสัมพันธ์อัตราขยายไม่อิมิตัว g_o ตามสมการ

$$g(z) = g_0 / (1 + \beta_+ + \beta_-) \quad \dots\dots(3.3)$$

ขณะที่สัมประสิทธิ์อัตราขยายเป็น isotropic

$$g(z) = \frac{1}{\beta_+} \frac{d\beta_+}{dz} = \frac{-1}{\beta_-} \frac{d\beta_-}{dz} \quad \dots\dots(3.4)$$

และเราพบว่า

$$\beta_+ \beta_- = \text{Const.} = C \quad \dots\dots(3.5)$$

ดังแสดงในรูปที่ 3.2-1 ระยะพิคต์ z ที่วิ่งอยู่ระหว่างปลายของตัวกลาง เลเซอร์ที่มูนิฟอร์ม ซึ่งถูกกำหนดขอบเขตโดยค่าการสะท้อนที่มีผล (effective reflectance)

และ

$$\begin{aligned} r_1 &= 1 - l_1 - T_1 \quad \text{ที่ } Z = 0 \\ r_2 &= 1 - l_2 - T_2 \quad \text{ที่ } Z = L \end{aligned} \quad \dots\dots(3.6)$$

ขณะที่ l_1 , l_2 เป็น dissipative losses และ T_1 , T_2 เป็นค่าการส่งผ่านของกระจกตามลำดับแล้วการออสซิลเลทจะมีเสถียรภาพที่ระดับซึ่งทำให้เงื่อนไขขอบเขต (boundary condition) ค่าเบนี้จริง

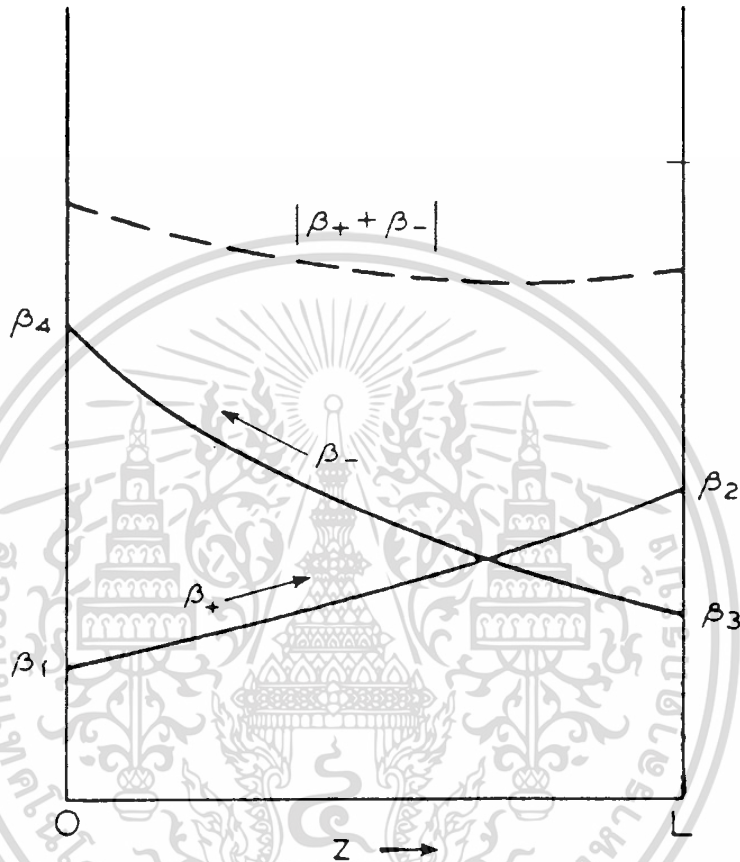
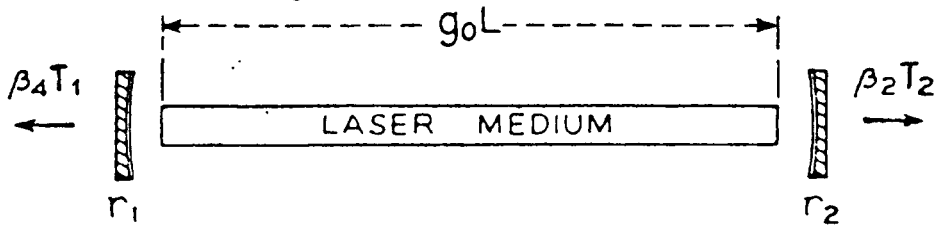
$$(\beta_2 / \beta_3) r_2 = (\beta_4 / \beta_1) r_1 = 1 \quad \dots\dots(3.7)$$

จากสมการที่ (3.5) เราจะได้

$$\beta_1 \beta_4 = \beta_2 \beta_3 = C \quad \dots\dots(3.8)$$

ดังนั้น

$$\beta_2 / \beta_4 = (r_1 / r_2)^{1/2} \quad \dots\dots(3.9)$$



รูปที่ 3.2-1 าคณะแกรมร์ตรงสร้างที่แสดงระดับที่ถูกปรับให้ปกติของความ
 เข้มพลักซ์ ในทั้งสองทิศทางในเลเซอร์ออสซิลเลเตอร์แบบ
 ไม่สมมาตร (asymmetric) และสัญลักษณ์ที่ดูใช้ในบทนี้

หากการอินทิเกรตสมการอัตราขยาย (3.3) สำหรับกำลังที่ไหลในทิศทางบวก

$$\frac{1}{\beta_+} \frac{d\beta_+}{dz} = \frac{g_0}{1 + \beta_+ + c/\beta_+} \dots (3.10)$$

จะได้
$$g_0 L_A = \ln(\beta_2/\beta_1) + \beta_2 - \beta_1 - C(1/\beta_2 - 1/\beta_1) \dots\dots(3.11)$$

ใช้วิธีเดียวกันนี้สำหรับอัตราขยายในทิศทางลบจะได้

$$g_0 L_A = \ln(\beta_4/\beta_3) + \beta_4 - \beta_3 - C(1/\beta_4 - 1/\beta_3) \dots\dots(3.12)$$

รวมสมการที่ (3.11) และ (3.12) และใช้สมการที่ (3.7) และ (3.8) ข่ายวน การจัดรูปจะได้

$$\beta_2 = \frac{(r_1)^{1/2}}{[(r_1)^{1/2} + (r_2)^{1/2}][1 - (r_1 r_2)^{1/2}]} [g_0 L_A + \ln(r_1 r_2)^{1/2}] \dots\dots(3.13)$$

ส่วน β_4 หาได้จากสมการที่ (3.9)

ความเข้มรังสีตรงทางออก (output radiation intensity) ที่ผ่าน กระจกแต่ละอันออกมาจะเป็น

$$\frac{I_4}{I_3} = \beta_4 T_1 \quad \text{และ} \quad \frac{I_2}{I_1} = \beta_2 T_2$$

ถ้ากระจกทาง T_1 เป็นกระจกแบบสะท้อนกลับหมด แล้วกระจกทาง T_2 จะเป็นกระจกเอ้าท์พุทอื่นเดียว ดังนั้นความเข้มรังสีตรงทางออก (I_0) ผ่านกระจก เอ้าท์พุทออกมาจะเป็น

$$\frac{I_0}{I_1} = \frac{(r_1)^{1/2} T_2 [g_0 L_A + \ln(r_1 r_2)^{1/2}]}{[(r_1)^{1/2} + (r_2)^{1/2}][1 - (r_1 r_2)^{1/2}]}$$

แทนค่า $r_1 = 1-l$ และ $r_2 = 1-l-T$ (ในทักกระจกทั้งสองมี loss เท่ากัน $l_1=l_2=l$) จะได้

$$\frac{I_0}{I_1} = \frac{(1-l)^{1/2} T \{g_0 L_A + \ln[(1-l)(1-l-T)]^{1/2}\}}{[(1-l)^{1/2} + (1-l-T)^{1/2}][1 - [(1-l)(1-l-T)]^{1/2}]} \dots\dots(3.14)$$

ถ้ากระจกทั้งสองสามารถให้แสงผ่านได้บางส่วน จะให้ความเข้มตรงทางออก เป็น

$$\frac{I_4 + I_2}{I_0} = \beta_1 T_1 + \beta_2 T_2 \quad \dots\dots(3.15)$$

เมื่อ loss ที่กระจกแต่ละอันเท่ากัน

$$l_1 = l_2 = l$$

สมการที่ (3.15) จะลดลงเป็น

$$\frac{I_4 + I_2}{I_0} = \frac{1 - 1 - (r_1 r_2)^{1/2} [g_0 L_A + \ln(r_1 r_2)^{1/2}]}{1 - (r_1 r_2)^{1/2}} \quad \dots\dots(3.16)$$

สำหรับรีโซเนเตอร์แบบสมมาตรจะมี

$$r_1 r_2 = r^2 \quad \dots\dots(3.17)$$

$$r = 1 - l - T \quad \dots\dots(3.18)$$

ซึ่งจะมีความเข้มตรงทางออกที่กระจกแต่ละอันเป็น I_0

$$\frac{2I_0}{I_s} = \frac{[(1-l-r)/(1-r)] [g_0 L_A + \ln r]}{[T/(1+T)] [g_0 L_A + \ln(1-l-T)]} \quad \dots\dots(3.19)$$

$$= \dots\dots(3.20)$$

ดังนั้นเมื่อ $l_1 = l_2$ เราสามารถแทนรีโซเนเตอร์แบบไม่สมมาตรด้วยรีโซเนเตอร์แบบสมมาตรที่ดูให้ตามสมการที่ (3.17) ซึ่งมีความสัมพันธ์ระหว่างกำลังทางออกทั้งหมดและอัตราขยายที่ไม่อิ่มตัว ($g_0 L_A$) เหมือนกัน นอกจากนี้เมื่อกระจกอันหนึ่งไม่มีการส่งผ่านและไม่มีการสูญเสีย กล่าวคือ $T_1 = 0$ และ $r_1 = 1$ ความเข้มตรงทางออกจะกลายเป็น

$$\frac{I_0}{I_s} = \beta_2 T_2 = \frac{T_2}{l_2 + T_2} [g_0 L_A + \ln(r_2)^{1/2}] \quad \dots\dots(3.21)$$

ซึ่งตรงกับเอาต์พุตที่แต่ละกระจุก ซึ่งเหมือนกันทั้งสองของรีจเนเตอร์แบบสมมาตรด้วยค่าที่เป็นสองเท่าของอัตราขยาย

เอาต์พุตกับบลิ้งที่ดีที่สุด (T_{opt}) ที่ซึ่ง I_o ในสมการที่ (3.20) มีค่าสูงสุดจะถูกกำหนดโดย

$$\frac{T}{1} = \left[\frac{(1-1-T)/(1+T)}{1} \right] [g_o L_A + 1n(1-1-T)] \dots (3.22)$$

ซึ่งจะหา

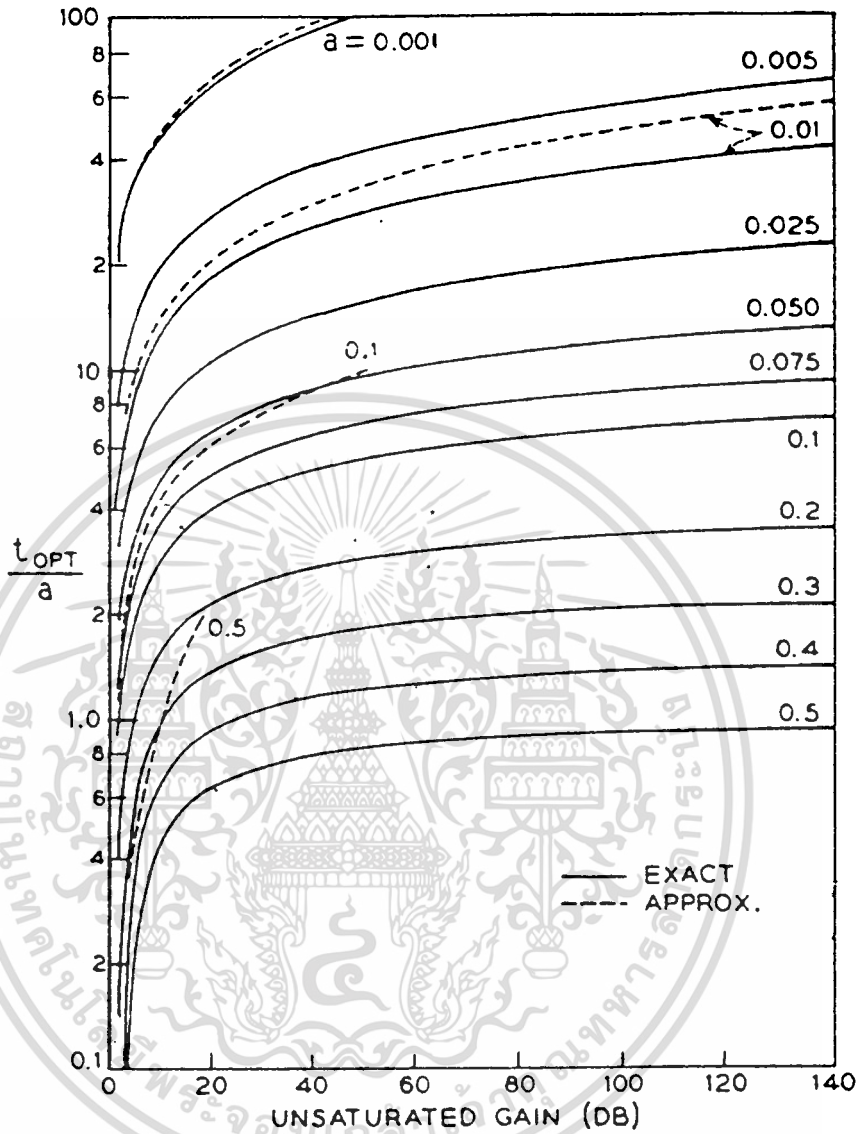
$$\frac{2(I_o)_{max}}{I_s} = \frac{T^2}{1(1-1-T)}, \quad T = T_{opt} \dots (3.23)$$

สำหรับเศษ loss น้อย ๆ $(1+T) \ll 1$ ดังนั้นสมการเหล่านี้จะลดรูปเป็นค่าประมาณ

$$\frac{T_{opt}}{1} = \left(g_o L_A / 1 \right)^{1/2} - 1 \dots (3.24)$$

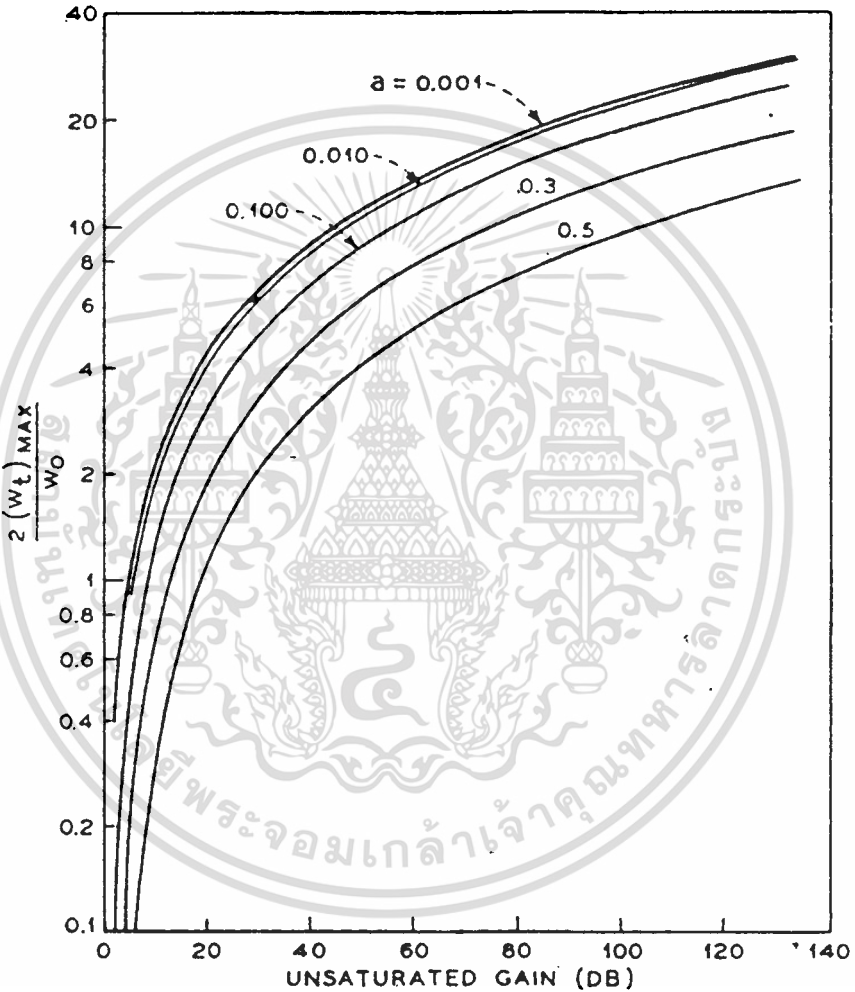
$$\frac{2(I_o)_{max}}{I_s} = \frac{T_{opt}^2}{1} \dots (3.25)$$

ค่าที่ถูกต้องและค่าประมาณของ T_{opt} ถูกพล็อตไว้ในรูป 3.2-2 สำหรับค่าต่าง ๆ ของอัตราขยายไม่อ้อมตัวในหน่วย dB , $4.343 g_o L_e$ และเศษส่วน loss(1) ค่าตอบอย่างประมาณนั้นพอเพียงสำหรับเลเซอร์อัตราขยายสูงตั้งแต่ 1 คำน้อย ๆ ไปจนถึง $1 = 1\%$ อย่างไรก็ตามความผิดพลาดในค่าตอบอย่างประมาณจะเพิ่มมากขึ้นอย่างรวดเร็วตามค่า loss และ $g_o L_e$ ที่สูงขึ้นเราจะเห็นว่า $T_{opt} / 1$ จะลดลงอย่างรวดเร็ว ขณะที่ค่า 1 เพิ่มขึ้น uly ที่ $T_{opt} \approx 1-1$ สำหรับ $1 > 0.5$ ที่ค่าอัตราขยายสูง



รูปที่ 3.2-2 สัมประสิทธิ์ของการคับปลิ่งที่ดีที่สุด (T_{opt}) สำหรับกำลังทางออกของการออสซิลเลทสูงสุด ซึ่งเป็นฟังก์ชันของเศษ loss (l) และอัตราขยายไม่อ้อมควานหน่วย dB, 4.343 g_{01a} เส้นทึบจะแทนค่าที่ถูกต้อง และเส้นประจะแทนค่าประมาณ

เส้นโค้งในรูปที่ 3.2-3 แสดงถึงความเข้มเอาต์พุตสูงสุดที่ปรับฐานแล้ว ซึ่งถูกให้ตามสมการที่ (3.23) ที่ค่า 1 และ 4.343 $g_0 L_a$ ค่าต่าง ๆ การเพิ่มขึ้นของกำลังทางออกขณะที่ค่า 1 ลดลงจะเพิ่มมากที่สุดในช่วงค่าอัตราขยายค่า ๆ ที่ค่าอัตราขยายและค่า loss ($1 > 0.5$) สูง ๆ เอาต์พุตที่ถูกปรับแล้วตามสมการที่ (3.23) จะเข้าใกล้ $(1-1)g_0 L_a$



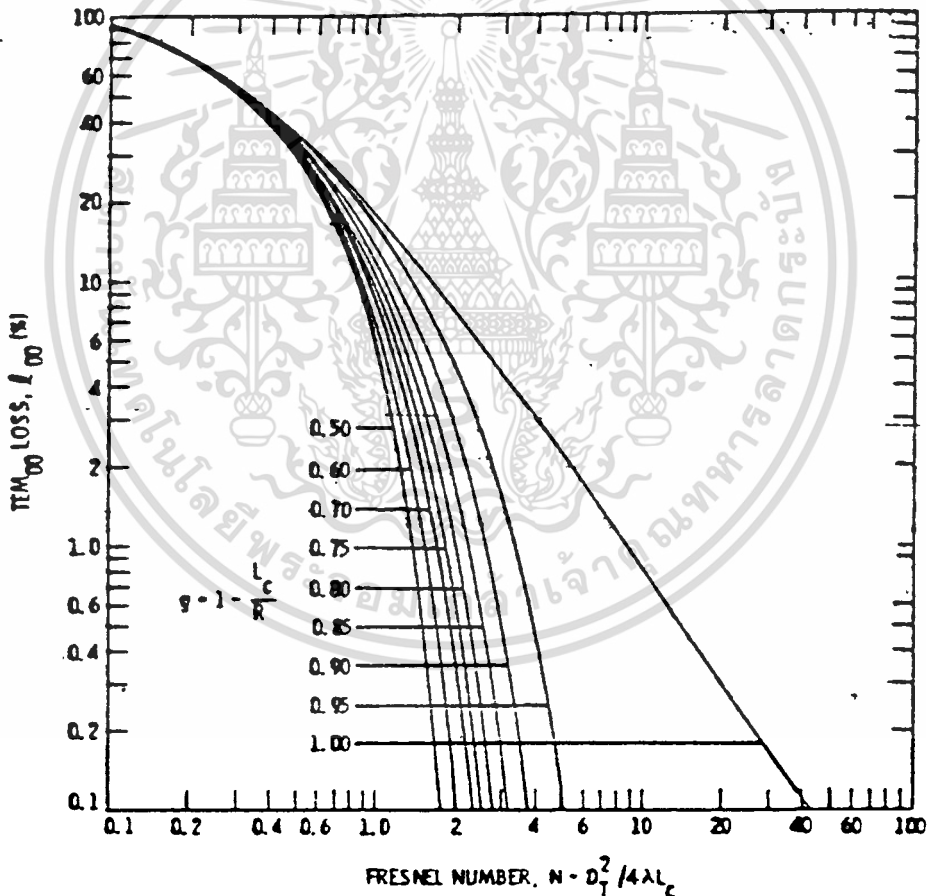
รูปที่ 3.2-3 ค่าที่ปรับฐานแล้วของความเข้มพิกซ์เอาต์พุตสูงสุด , $2(I_o)_{max} / I_o$ ของเลเซอร์ออสซิลเลเตอร์แบบ homogeneous line ซึ่งจะได้ความสัมพันธ์ของเอาต์พุต สำหรับค่า 1 และอัตราขยาย 4.343 $g_0 L_a$ (dB) ค่าต่าง ๆ

3.3 การคำนวณหา loss (l) สำหรับการออกแบบ

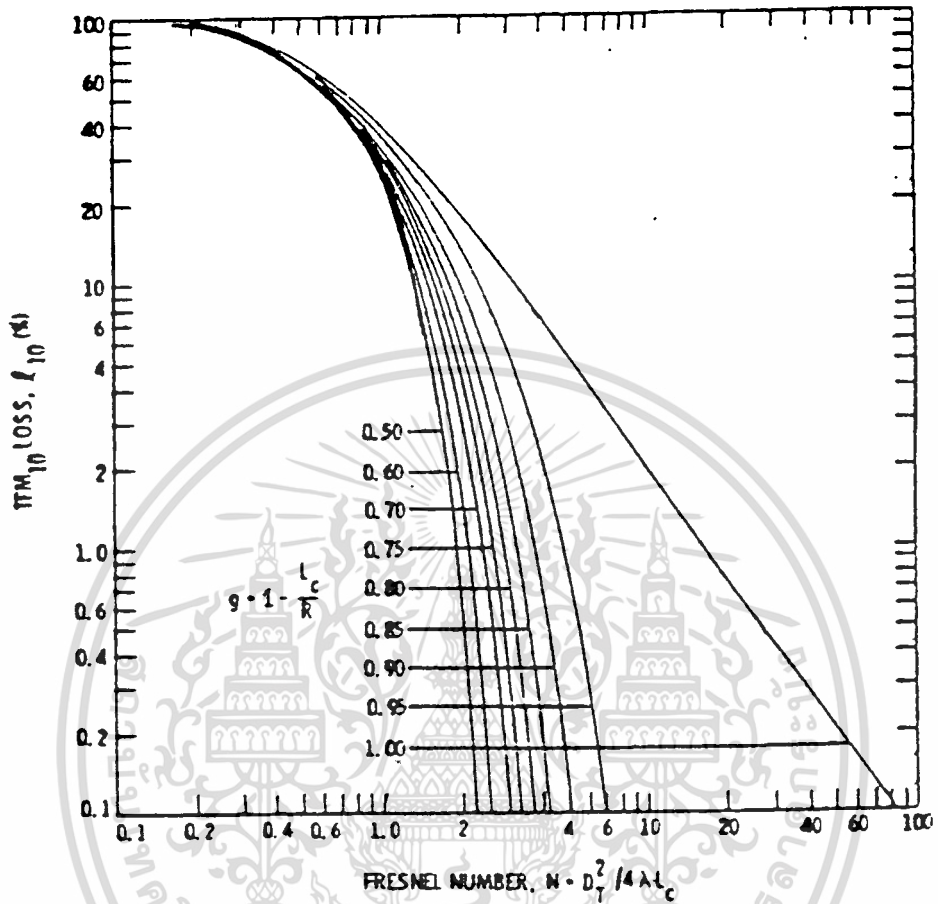
ในการที่จะคำนวณหาพลังงานที่สูญเสียไปจากเราจำเป็นต้องหา loss (l) ทั้งหมดภายในหลอดและค่าสัมประสิทธิ์ g_0 loss ทั้งหมดที่ปลายของแต่ละช่องคือผลรวมของ scattering และ absorption loss (l_m) กับ diffraction loss (l_{pq}) สำหรับโหมด TEM_{pq} หรือ

$$l = l_m + l_{pq} \quad \dots\dots(3.26)$$

loss l_m จะขึ้นอยู่กับกระจกที่ใช้และวัดได้ง่ายจากการทดลอง แต่ diffraction loss ใดๆทั่วไปถูกคำนวณจากรูปร่างทางเรขาคณิตของหลอดในเทอมของ Fresnel number (N) Li ได้สร้างกราฟความสัมพันธ์ระหว่าง diffraction loss กับ Fresnel number ดังแสดงในรูปที่ 3.3-1 และ 3.3-2



รูปที่ 3.3-1 Average single-pass TEM₀₀ mode loss for a half-symmetric cavity



รูปที่ 3.3-2 Average single-pass TEM₁₀ mode loss for a half-symmetric cavity

สำหรับ Fresnel number ของหลอด (N) หาได้จาก

$$N = D_T^2 / (4 \lambda L_c) \quad \dots\dots(3.27)$$

- ขณะที่ λ คือ ความยาวคลื่นของเลเซอร์
- L_c คือ ระยะระหว่างกระจก
- D_T คือ เส้นผ่าศูนย์กลางกลางของหลอด

เอกสารนี้เป็นเอกสารที่สงวนไว้สำหรับการใช้งานเพื่อการศึกษาเท่านั้น ไม่อนุญาตให้นำไปใช้ประโยชน์ด้านการค้า ไม่ว่าจะกรณีใดๆทั้งสิ้น อีกทั้งห้ามมิให้ตัดแปลงเนื้อหา และต้องอ้างอิงถึงเจ้าของเอกสารทุกครั้งที่มีการนำไปใช้

3.4 การคำนวณหาอัตราขยาย (g_o) และความเข้มอิมิตัว (I_o)

ตัวประกอบอื่นที่ยังปรากฏอยู่ในสมการของ I_o / I_e คือสัมประสิทธิ์ขยาย g_o ซึ่งเป็นฟังก์ชันของ เส้นผ่าศูนย์กลางของหลอดซึ่งความสัมพันธ์ของค่า g_o และเส้นผ่าศูนย์กลางของหลอดต้องหาจากข้อมูลในหนังสือและโดยการทดลอง จากการทดลองที่กระทำที่ GTE Sylvania และจากการทดลองที่รายงานไว้ในบทความต่าง ๆ [12] เราจะได้ความสัมพันธ์ของสัมประสิทธิ์ขยายเป็น

$$g_o = 0.012 - 0.0025D_T \text{ cm}^{-1} \dots\dots(3.28)$$

ขณะที่เส้นผ่าศูนย์กลางของหลอด (D_T) มีหน่วยเป็น ซม.

สำหรับความเข้มอิมิตัวสมการแสดงความสัมพันธ์ของ I_o ต้องหาจากการทดลอง ความเข้มอิมิตัวเป็นฟังก์ชันของ เส้นผ่าศูนย์กลางของหลอด จากการทดลองหลายครั้ง ได้ข้อสรุปสำหรับสมการที่แสดงความสัมพันธ์ของ I_o กับเส้นผ่าศูนย์กลางเป็น

$$I_o = (72 / D_T^2) \dots\dots(3.29)$$

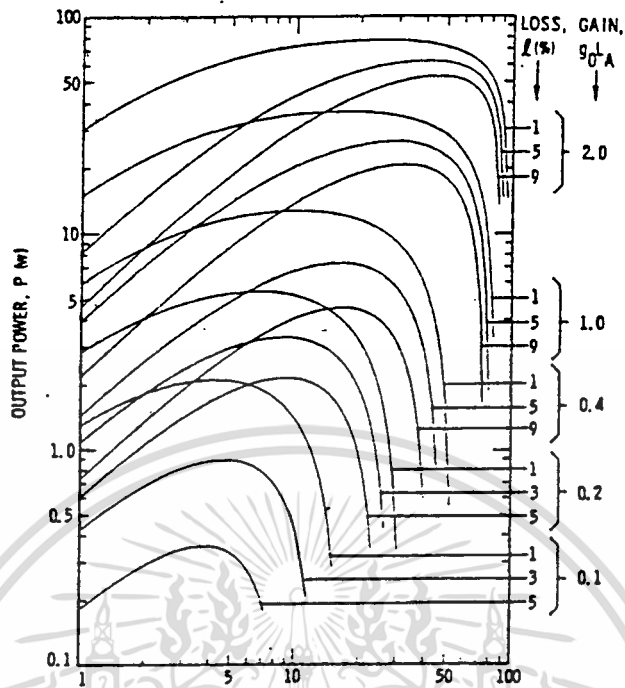
3.5 การคำนวณหากำลังทางออก (P_o)

เมื่อรวมสมการ (3.2) และ (3.29) จะได้ความสัมพันธ์ของกำลังทางออกของคาร์บอนไดออกไซด์เลเซอร์เป็น

$$P_o = 14.4 \pi (I_o / I_e) \dots\dots(3.30)$$

เมื่อใช้สมการ (3.14) ร่วมกับสมการ (3.30) นำไปพล็อตกราฟของกำลังทางออกที่เป็นฟังก์ชันของการส่งผ่านของกระจก (T) สำหรับอัตราขยาย $g_o L_e$ และ loss (1) ดังรูปที่ 3.5-1 กราฟทั้ง 5 กลุ่มตรงกับค่า $g_o L_e$ ที่ 0.1 , 0.2 , 0.4 , 1.0 และ 2.0 แต่ละกลุ่มนี้จะมีเส้นโค้งที่ตรงกับค่า loss (1) ต่าง ๆ ที่แต่ละปลายของหลอดสำหรับคาร์บอนไดออกไซด์เลเซอร์ทั่ว ๆ ไปค่า g_o จะหาได้จากสมการ (3.28) และ loss ทั้งหมดหาได้จากเส้นโค้งในรูปที่ 3.3-1 และ 3.3-2 จากรูปที่ 3.5-1 เราจะเห็นความสัมพันธ์หลายอย่าง เช่น กำลังทางออกจะเปลี่ยนแปลงน้อยลง ขณะที่อัตราขยายเพิ่มขึ้นและการเปลี่ยนแปลงของ loss มีผลกระทบต่อกำลังทางออกของระบบที่มีอัตราขยายค่ามากกว่าของระบบที่มีอัตราขยายสูง

เอกสารนี้เป็นเอกสารที่สงวนไว้สำหรับการใช้งานเพื่อการศึกษาเท่านั้น ไม่อนุญาตให้นำไปใช้ประโยชน์ด้านการค้า ไม่ว่ากรณีใดๆทั้งสิ้น อีกทั้งห้ามมิให้คัดแปลงเนื้อหา และต้องอ้างอิงถึงเจ้าของเอกสารทุกครั้งที่มีการนำไปใช้



รูปที่ 3.5-1 กราฟของกำลังทางออกต่อการส่งผ่านของกระจก
สำหรับค่าอัตราขยายและ loss ต่าง ๆ

กำลังทางออกของ เลเซอร์ที่ใช้ในการค้าโดยทั่วไปจะถูก เปรียบเทียบกับ กำลังทางออกที่ถูกทำนายไว้โดยเส้นโค้ง เหล่านี้จะได้ผลตรงกันเป็นอย่างดี ตัวอย่าง เช่นคาร์บอนไดออกไซด์ เลเซอร์รุ่น GTE Sylvania Modem 94 มีระยะกระจก (L_0) เท่ากับ 44.5 เซนติเมตร , ความยาวที่ทางาน (L_a) เท่ากับ 35.6 เซนติเมตรและ เส้นผ่าศูนย์กลางเฉลี่ย 0.5 เซนติเมตร กระจกประกอบด้วยกระจกสะท้อนกลับหมด รัศมีความโค้ง 3 เมตร และกระจกแบนราบส่งผ่านได้ 11 % ตัวประกอบ g เท่ากับ 0.85 และ Fresnel Number เท่ากับ 1.32 , loss ของโหมด TEM_{00} เป็น 6% loss l_m เท่ากับ 1% และกำลังทางออกคำนวณได้เท่ากับ 5 วัตต์ ซึ่งกำลังทางออกที่แท้จริงก็ไว้ได้ 5 วัตต์

โดยการใช้เทคนิคข้างบนนี้เราจะประมาณหา กำลังทางออกของ เลเซอร์ และการเปลี่ยนแปลงของกำลังนี้ ตามการเปลี่ยนแปลงของพารามิเตอร์ทางฟิสิกส์ได้ ลักษณะอื่น ๆ ที่เกี่ยวข้องกับการออกแบบอีกคือความสัมพันธ์ระหว่างรูปร่างของลำเลเซอร์ (beam shape) และรูปร่างเรขาคณิตของหลอด (Cavity Geometry) ซึ่งจะกล่าว ในหัวข้อต่อไป

3.6 รูปร่างเรขาคณิตของหลอดและลำแสง

ความเข้ม I ของโหมด Gaussian TEM₀₀ เป็นฟังก์ชันของรัศมี r (beam radius) ตามความสัมพันธ์ .

$$I = I_{00} \exp [-(2r^2) / W^2] \quad \dots\dots(3.31)$$

ขณะที่ I_{00} คือความเข้มสูงสุดตามแนวแกน (ที่ $r = 0$) และ W คือรัศมีของลำที่ซึ่งความเข้มลดลงไป $1 / e^2$ จากค่าสูงสุดตามแนวแกน การแผ่รังสีตามแนวแกน Z จะขยายเพิ่มเป็นรูปไฮเพอร์โบลาลำที่มีเส้นอะซิมทอทเป็นแนวเอียงทำมุมกับแกนเท่ากับ

$$\theta = \lambda / (\pi W_0^2) \quad \dots\dots(3.32)$$

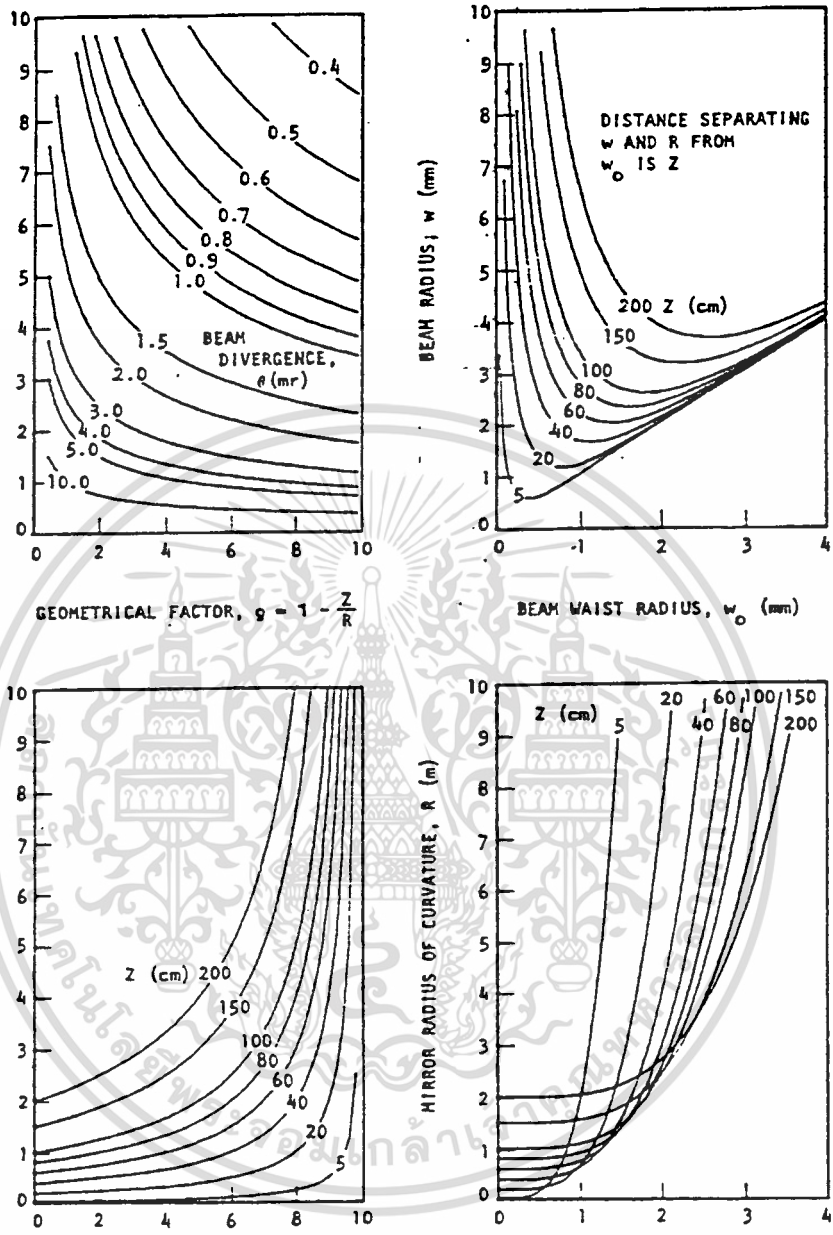
ซึ่ง W_0 เป็นส่วนคอดของลำและเป็นค่าที่น้อยที่สุดของ W ที่ตำแหน่งตามแนวแกนที่ตรงกับ W_0 ตามการทดลองของ Kogelnik และ Li การขยายตัวของลำแสงตามแนวแกน Z จากส่วนคอดของลำ (W_0) ที่ตำแหน่งแกน Z ใดๆ สามารถหาได้ในเทอมของความยาวคลื่น λ และขนาดส่วนคอด W_0 ตามความสัมพันธ์

$$W^2(Z) = W_0^2 [1 + [(\lambda Z) / (\pi W_0^2)]^2] \quad \dots\dots(3.33)$$

และ
$$R(Z) = Z [1 + [(\pi W_0^2) / (\lambda Z)]^2] \quad \dots\dots(3.34)$$

รูปที่ 3.6-1 เป็นกราฟ 4 รูปแต่ละรูปเป็นกราฟที่มีสามตัวแปรซึ่งแสดงความสัมพันธ์ระหว่างพารามิเตอร์ต่าง ๆ ของลำแสงเลเซอร์ที่ทำงานที่ $10.6 \mu\text{m}$ กราฟทั้ง 4 แสดงความสัมพันธ์ระหว่าง W และ W_0 ที่ค่า Z ต่าง ๆ ซึ่งเป็นระยะระหว่าง W_0 และ W ; ระหว่าง W และ g ($g = 1 - Z/R$) สำหรับค่า θ ต่าง ๆ ระหว่าง R และ g สำหรับค่า Z ต่าง ๆ และระหว่าง R กับ W_0 สำหรับค่า Z ต่าง ๆ

การวิเคราะห์ข้างบนนี้ไม่เพียงแต่ทำให้เราประมาณค่ากำลังทางออกและรูปร่างของลำแสงที่เกิดขึ้นได้ ยังจะทำให้เราเห็นผลที่มีต่อกำลังทางออกและรูปร่างของลำแสงเมื่อเปลี่ยนพารามิเตอร์ต่าง ๆ ไป หัวข้อต่อไปจะใช้ความสัมพันธ์ที่กล่าวมาทั้งหมดนี้พัฒนารูปแบบของการออกแบบคาร์บอนไดออกไซด์เลเซอร์ให้ดีที่สุด



รูปที่ 3.6-1 กราฟสามตัวแปรแสดงความสัมพันธ์ระหว่างพารามิเตอร์ต่างๆของลำแสง

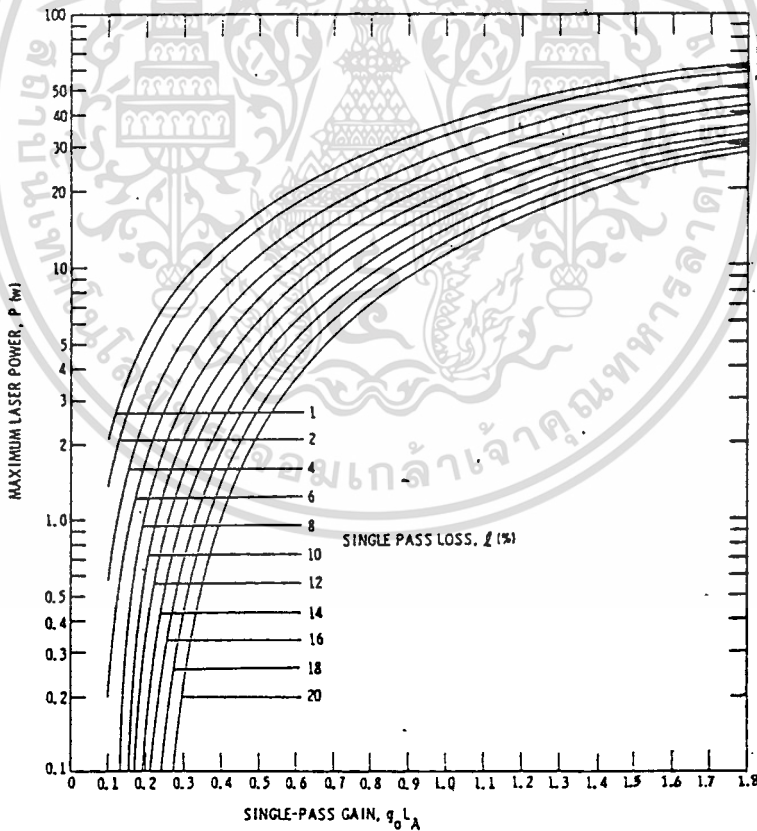
เอกสารนี้เป็นเอกสารที่สงวนไว้สำหรับการใช้งานเพื่อการศึกษาเท่านั้น ไม่อนุญาตให้นำไปใช้ประโยชน์ด้านการค้า
ไม่ว่ากรณีใดๆทั้งสิ้น อีกทั้งห้ามมิให้ตัดแปลงเนื้อหา และต้องอ้างอิงถึงเจ้าของเอกสารทุกครั้งที่มีการนำไปใช้

3.7 รูปแบบการออกแบบพิเศษเฉพาะ

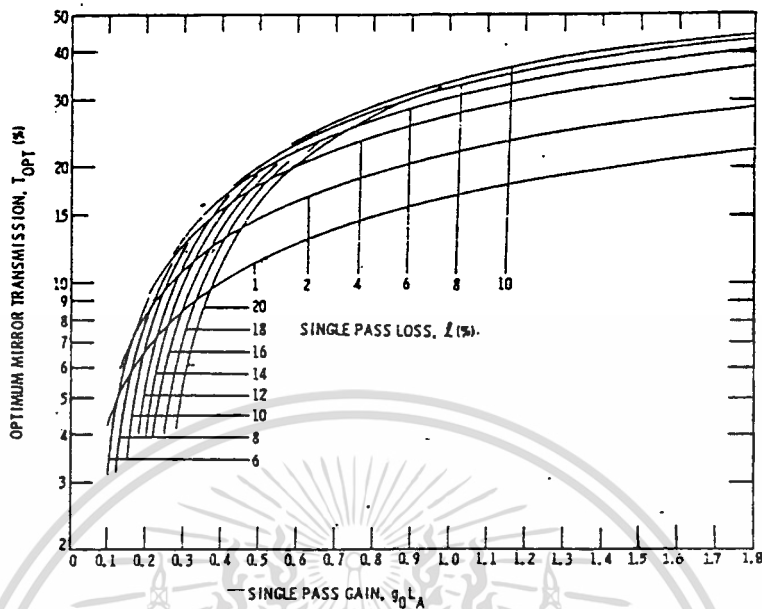
ในหัวข้อที่แล้ว เราได้อธิบายถึงความสัมพันธ์ระหว่างพารามิเตอร์ต่าง ๆ ที่เกี่ยวข้องกับารออกแบบมาแล้ว เทคนิคเหล่านั้นทำให้เราสามารถหาลักษณะต่าง ๆ ของเลเซอร์ที่ต้องการแต่แตกต่างกับการหาพารามิเตอร์ในการออกแบบที่จะให้ได้กำลังทางออกเป็นโหมด TEM₀₀ ซึ่งเป็นงานที่จะต้องวิเคราะห์หาค่าต่อไป

ในการออกแบบคาร์บอนไดออกไซด์เลเซอร์ให้ได้โหมด TEM₀₀ ชั้นแรกต้องหาค่ากำลังทางออกสูงสุด (P_m) ที่จะได้ ซึ่งเป็นฟังก์ชันของอัตราขยาย g₀L_a และ loss(1) และหาค่าการส่งผ่านของกระจกที่ดีที่สุด (T_{opt}) ที่ให้ค่า P_m ซึ่งหาได้โดยการเคอร์เฟทีฟครั้งที่หนึ่งของ I_o / I_s ในสมการที่ (3.14) แล้วให้เท่ากับศูนย์และแก้สมการหาค่า T จะได้เป็น T_{opt} ขั้นที่สองคือการเลือกพารามิเตอร์ต่าง ๆ ที่ทำให้เลเซอร์ทำงานในโหมด TEM₀₀ เพียงโหมดเดียว โหมดที่โหมด TEM₁₀ และโหมดที่สูงกว่าถูกจำกัดโดยวิธีหาค่า loss ทั้งหมดที่ทำให้ I_o / I_s เท่ากับศูนย์ สำหรับค่า T_{opt} และ g₀L_a เราจะได้ความสัมพันธ์ของ l₁₀ เป็น

$$l_{10} = 1 - l_m - (T_{opt} / 2) - [(T_{opt} / 2)^2 + \exp(-2g_0L_a)]^{1/2} \quad (3.35)$$



รูปที่ 3.7-1 แสดงกำลังทางออกสูงสุด (ที่ T_{opt}) ต่ออัตราขยาย



รูปที่ 3.7-2 แสดงการส่งผ่านของกระจกที่ดีที่สุด (T_{opt}) ต่อ $g_0 L_a$

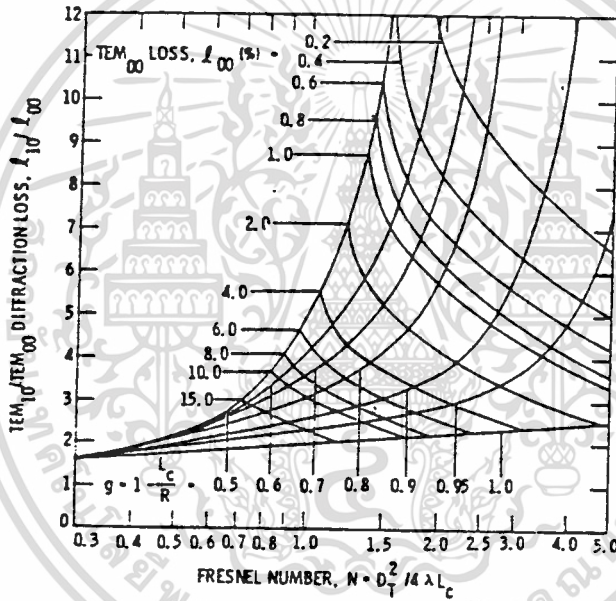
ขณะที่ T_{opt} และ $g_0 L_a$ หาได้จากรูปที่ (3.7-1) และ (3.7-2) สำหรับกำลังทางออกที่ต้องการ ดังนั้นถ้าหารค่า l_{10} นี้ด้วยค่า l_{00} ที่ตรงกับแต่ละคู่ของค่า T_{opt} และ $g_0 L_a$ เราก็สามารถพล็อตกราฟระหว่าง l_{10} / l_{00} กับ $g_0 L_a$ ได้ ตัวอย่างเช่นในตารางที่ 3.7-1 จะแสดงการหาค่า l_{10} / l_{00} ที่ขึ้นอยู่กับ $g_0 L_a$ ในที่นี้ l_m ถูกกำหนดไว้แน่นอน 1 เพิ่มขึ้นเรื่อย ๆ และ $g_0 L_a$ กับ T_{opt} หาได้จากรูป 3.7-1 และ 3.7-2 และจะได้ความสัมพันธ์ของ l_{10} / l_{00} เป็น

$$\frac{l_{10}}{l_{00}} = \frac{1 - l_m - (T_{opt} / 2) - [(T_{opt} / 2)^2 + \exp(-2g_0 L_a)]^{1/2}}{1 - l_m} \quad (3.36)$$

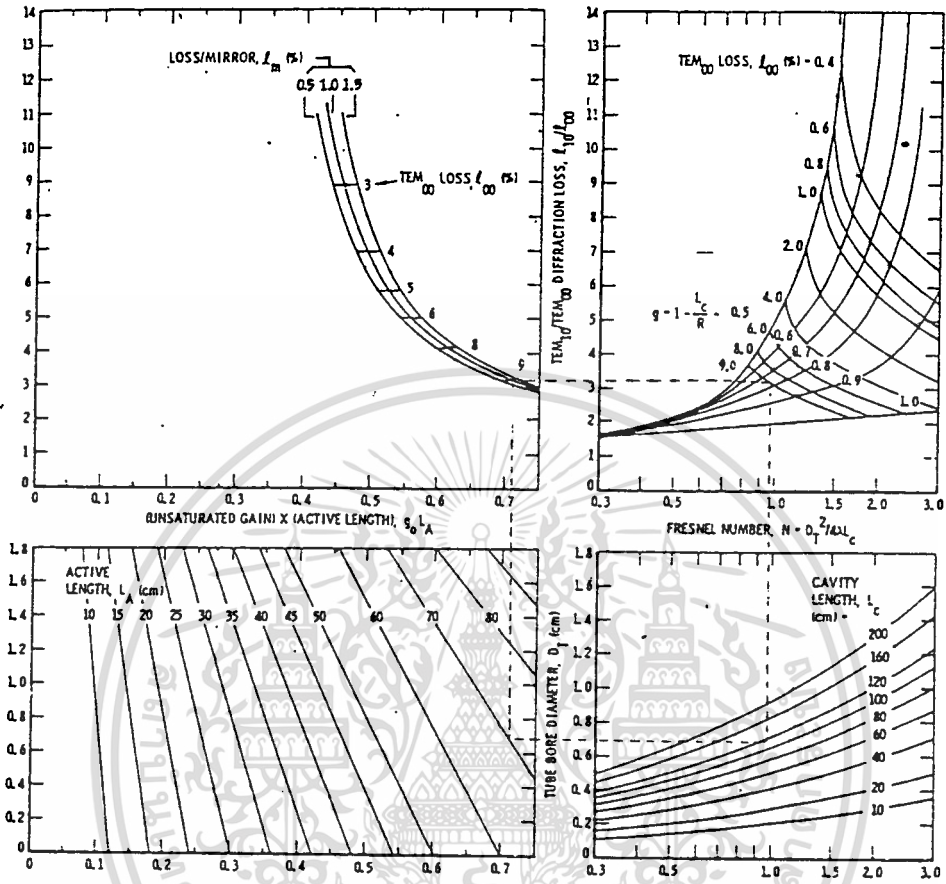
สมการ (3.36) นี้แสดงความสัมพันธ์ของอัตราส่วน losses ในเทอมของ l_m และ อัตราขยาย $g_0 L_a$ ในกราฟรูปที่ 3.7-3 แสดงความสัมพันธ์ของ l_{10} / l_{00} ที่เป็นฟังก์ชันของ Fresnel number ซึ่งหาได้จากรูปที่ 3.3-1 และ 3.3-2 โดยเอาค่า l_{10} ในรูปที่ 3.3-2 หารด้วยค่า l_{00} ในรูปที่ 3.3-1 และในกราฟรูปที่ 3.7-3 ยังรวมเอาเส้นโค้งของ loss ทั้งหมด TEM₀₀ เข้ามาแสดงไว้ด้วย

ตาราง 3.7-1 การหาค่า l_{10} / l_{∞}

l_m	l	$g_0 L \lambda$	T_{OPT}	l_{10}/l_{∞}	l_m	l_{10}/l_{∞}
0.005	0.04	0.389	0.153	6.75	0.01	7.71
	0.05	0.425	0.170	5.78		6.14
	0.06	0.458	0.185	4.79		5.17
	0.07	0.485	0.196	4.21		4.48
	0.08	0.515	0.207	3.80		4.00
	0.09	0.545	0.218	3.49		3.64
	0.10	0.572	0.226	3.22		3.35



รูปที่ 3.7-3 แสดงอัตราส่วน l_{10} / l_{∞} ต่อ Fresnel number ที่ค่า g ต่าง ๆ

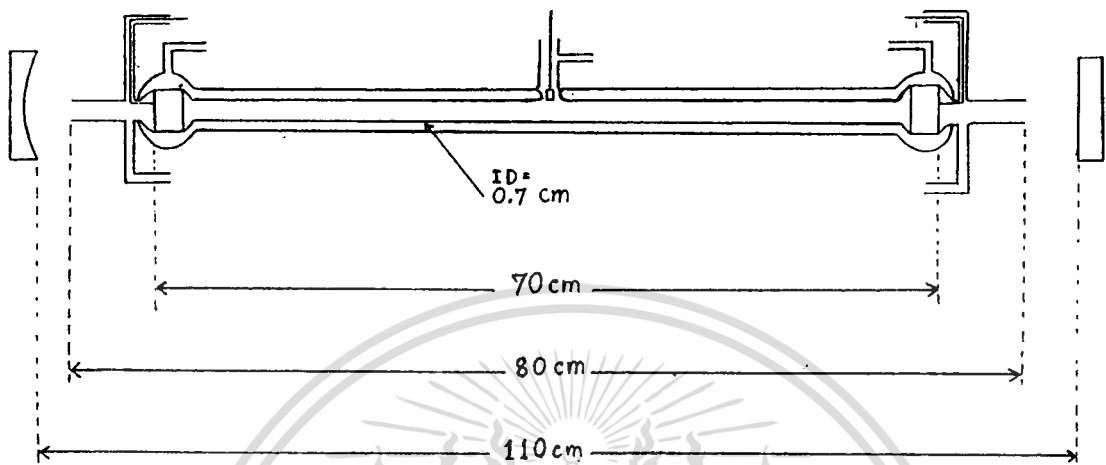


รูปที่ 3.7-4 รูปกราฟสามตัวแปรสำหรับเลือกพารามิเตอร์ต่าง ๆ ที่ใช้ในการออกแบบ

ความสัมพันธ์ของพารามิเตอร์ต่าง ๆ ที่กล่าวมาทั้งหมดสำหรับใช้ในการ ออกแบบคาร์บอนไดออกไซด์ เลเซอร์ถูกรวมอยู่ในกราฟรูปที่ 3.7-4 ซึ่งเป็นกราฟสาม ตัวแปร 4 รูป เราจะใช้กราฟรูปที่ 3.7-4 นี้ทำการออกแบบพารามิเตอร์ต่าง ๆ ของ คาร์บอนไดออกไซด์ เลเซอร์ขนาด 50 วัตต์ ทั่วงานทั้งหมด TEM₀₀ โดยกำหนดว่า กระจกมี scattering และ absorption loss ทั้งหมด 1% เริ่มต้นที่กราฟรูปบน ซ้ายตรงเส้นโค้งที่ $l_m = 1\%$ ลากเส้นแนวนอนมาตัดกับเส้นโค้งในรูปขวาที่ยังต้อง ให้ได้ค่า 100 ตรงกันทั้งสองข้าง ถ้ายังได้ค่า 100 ที่ค่าในรูปบนขวาไม่ตรงกับค่า 100 ในรูปบนซ้ายก็ต้องลากเส้นแนวนอนใหม่ที่ค่าลงจนได้ค่า 100 ตรงกันทั้งสองข้าง จากรูปกราฟจะได้ค่า 100 เท่ากันทั้งสองข้าง เป็นในรูปบนซ้ายและขวาเป็น 9% ซึ่ง ตรงกับอัตราขยาย $g_0 L_a = 0.72$ และอัตราส่วน $l_{10} / 100 = 3.3$ และจุดตัด บนกราฟรูปบนขวาเป็นจุดที่สองของรูปสี่เหลี่ยม ซึ่งทำให้ได้ค่า $g = 0.78$ และ $N = D_T^2 / (4 \lambda L_c) = 0.98$ จะสังเกตได้ว่าถ้าเลือกค่า 100 ให้สูงไปอีกจะเกิด จุดตัดบนกราฟรูปบนขวาแต่เป็นค่า g ที่สูงกว่าเดิม และจะเป็นผลในการเลือกความ ยาวของหลอดและความยาวของ L_a ที่ยาวมากขึ้น

ถึงตอนนี้เส้นแนวตั้งจะถูกลากจากจุดยอดทั้งสองข้างบนลงมาล่าง การ ตัดกันของ เส้นแนวตั้งที่มาจากจุดยอดที่ 1 กับค่าพารามิเตอร์ค่าหนึ่งของกราฟรูปล่าง ซ้ายจะกำหนดความยาวทางาน (L_a) กับเส้นผ่าศูนย์กลางของหลอด (D_T) ส่วน การตัดกันของ เส้นแนวตั้งจากจุดยอดที่สองกับพารามิเตอร์ค่าหนึ่งของกราฟรูปล่างขวา จะกำหนดระยะห่างของกระจก เส้นแนวตั้งทั้งสอง ต้องลากมาแล้วตัดกราฟรูปล่างทั้ง สองที่ค่า D_T ค่าเดียวกันเพื่อให้ความยาวของหลอดสั้นที่สุด เส้นแนวตั้งในรูปล่างซ้าย ต้องถูกลากมาให้ใกล้ที่สุดเท่าที่จะทำได้ตั้งนั้นจากกราฟจุดยอดทั้งสองตรงกับความยาว $L_a = 70$ ซม. , $L_c = 110$ ซม. และเส้นผ่าศูนย์กลางหลอด $D_T = 0.7$ ซม.

แล้วลาก เส้นโค้ง เหล่านี้จะหานายได้ว่าสำหรับคาร์บอนไดออกไซด์ เลเซอร์ ขนาด 50 วัตต์ ควรจะมีพารามิเตอร์ในการทำต่าง ๆ ดังนี้ : $D_T = 0.7$ ซม. , $L_a = 70$ ซม. , $L_c = 110$ ซม. และจาก $g = 1 - (L_c / R) = 0.78$ จะได้ $R = 5$ ม. ซึ่งเป็นรัศมีของกระจกทึบ เพราะว่า $g_0 L_a = 0.72$ และ $l = l_{00} + l_m = 0.1$ แล้วจากรูปที่ 3.7-2 จะได้ค่าการส่งผ่านของกระจก $T_{opt} = 25\%$ ซึ่งข้อมูลของหลอด เลเซอร์ที่ได้นี้แสดงรวมไว้ในรูปที่ 3.7-5 ซึ่งเป็น รูปแสดงระบบโครงสร้างของแหล่งกำเนิด เลเซอร์แบบสามอิมัลเลอร์ที่ได้ออกมา



รูปที่ 3.7-5 โครงสร้างของแหล่งกำเนิดเลเซอร์แบบสามอิเล็กโทรด ที่รับกำลังทางออกได้สูงสุด 50 วัตต์ และเป็นแบบโทมดเคียว (TEM₀₀) ; ระยะระหว่างขั้วคาโธดเป็น 70 เซนติเมตร และระยะระหว่างกระจกทั้งสองเป็น 110 เซนติเมตร และขั้วอาโนดอยู่ตรงกึ่งกลาง

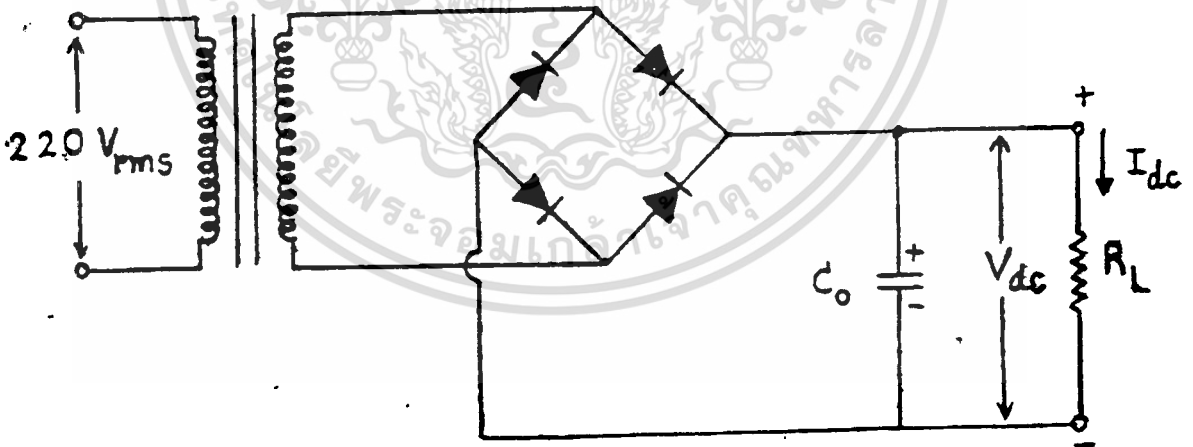
บทที่ 4

แหล่งจ่ายไฟสำหรับแหล่งกำเนิดเลเซอร์

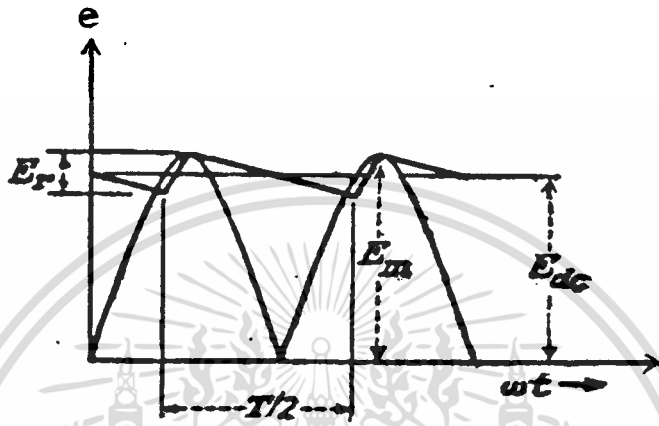
ในบทนี้เราจะกล่าวถึงวิธีการออกแบบแหล่งจ่ายไฟที่ใช้กับแหล่งกำเนิดเลเซอร์แบบสามอิเล็กโทรด แหล่งกำเนิดเลเซอร์ยุคที่วุ่นนั้นต้องการไฟแรงดันสูงและสามารถควบคุมกระแสที่จ่ายออกมาได้ ดังนั้นวงจรไฟฟ้าของแหล่งจ่ายไฟจะประกอบไปด้วยหม้อแปลงแรงดันสูงที่ทางคานเอาท์พุทให้แรงดันออกมา 7-10 KV วงจรเรกติไฟเออร์แรงดันสูงและฟิลเตอร์ และส่วนควบคุมกระแสที่ไหลผ่านแหล่งกำเนิดเลเซอร์ เราจะแยกกล่าวถึงส่วนประกอบต่างๆ ของแหล่งจ่ายไฟในแต่ละหัวข้อ

4.1 การคำนวณหาขนาดของทรานส์ฟอร์มเมอร์และไดโอด

ในวงจรแหล่งจ่ายไฟที่ใช้ในการทดลองนี้จะ เป็นแบบฟูลเวฟบริดจ์ครึ่งสแตง ในรูปที่ 4.1-1 ค่าที่สำคัญและจะต้องคำนวณให้พอดีไม่มากเกินไปคือค่าของทรานส์ฟอร์มเมอร์แรงดันสูง พิจารณารูปคลื่นความต้งศักย์ที่ไหลลคโดยประมาณในรูปที่ 4.1-2



รูปที่ 4.1-1 ฟูลเวฟบริดจ์เรกติไฟเออร์



รูปที่ 4.1-2 รูปคลื่นของความต่างศักย์ที่ไหลลคอย่างประมาณของวงจรวจรพุลเวา

จากรูปที่ 4.1-2 เราจะเห็นว่าค่าความต่างศักย์เฉลี่ยคือ

$$E_{dc} = E_m - E_r / 2 \quad \dots\dots(4.1)$$

และวงจรวจรเรคตีไฟเออร์เรามี

$$E_m = \sqrt{2} E_{ac} - E_D \quad \dots\dots(4.2)$$

- ขณะที่ E_{dc} = ค่าความต่างศักย์เฉลี่ยคงที่ที่ตกคร่อมโหลด
- E_m = ค่าความต่างศักย์พีค
- E_r = รีฟเบิลโวลเตจัน
- E_{ac} = ค่าโวลเตจันอาร์เอ็มเอสของทรานส์ฟอร์เมอร์ค้าน secondary
- E_D = ค่าความต่างศักย์ที่ตกคร่อมไดโอดทุกตัวที่นำกระแส

เอกสารนี้เป็นเอกสารที่สงวนไว้สำหรับการใช้งานเพื่อการศึกษาเท่านั้น ไม่อนุญาตให้นำไปใช้ประโยชน์ด้านการค้า
ไม่ว่ากรณีใดๆทั้งสิ้น อีกทั้งห้ามมิให้ดัดแปลงเนื้อหา และต้องอ้างอิงถึงเจ้าของเอกสารทุกครั้งที่มีการนำไปใช้

เมื่อรวมสมการที่ (4.1) และ (4.2) จะได้

$$E_{dc} = \sqrt{2} E_{ac} - E_D - E_r/2$$

$$E_{ac} = \frac{E_{dc} + E_D}{\sqrt{2}} + \frac{E_r}{2\sqrt{2}} \quad \dots\dots(4.3)$$

และถ้าเราให้ความต่างศักย์เป็น V แทน E เราจะได้สมการที่ (4.3) เป็น

$$V_{ac} = \frac{V_{dc} + V_D}{\sqrt{2}} + \frac{V_r}{2\sqrt{2}} \quad \dots\dots(4.4)$$

สำหรับกระแสของทรานส์ฟอร์เมอร์ เราหาจากความสัมพันธ์ที่ว่า

$$\text{กำลังที่จ่ายจากทรานส์ฟอร์เมอร์} \approx \text{กำลังที่โหลดได้รับ}$$

นั่นคือ

$$V_{ac} I_{ac} = V_{dc} I_{dc}$$

$$I_{ac} = \frac{V_{dc} I_{dc}}{V_{ac}}$$

จากสมการที่ (4.4) $\frac{V_{dc}}{V_{ac}} \approx \sqrt{2}$ และจะได้

$$I_{ac} = \sqrt{2} I_{dc} \quad \dots\dots(4.5)$$

สำหรับค่า PRV (Peak reverse voltage) ของไดโอดเราจะพิจารณาจากรูปที่ 4.1-1 โดยดูช่วงครึ่งไซเคิลแรกที่ไดโอดนำกระแส เราจะพบว่าค่า PRV ของไดโอดตัวที่ไม่ได้นำกระแสจะประมาณเท่ากับ V_{dc} แต่เราจะเผื่อค่า PRV เอาไว้เพื่อความปลอดภัยเป็น $3V_{dc}$ ส่วนค่ากระแสเฉลี่ยของไดโอดจะประมาณเท่ากับ I_{dc}

สำหรับแหล่งกำเนิดเลเซอร์ในการทดลองนี้เราได้ทดลองแล้วว่าต้องการสายจลต์เตจันตีซีประมาณ 10 KV ดังนั้นเราจะคิดค่าริเบิลเป็น 5% ของ V_{dc} นั่นคือ

$$V_r = 5\% \text{ ของ } 10 \text{ KV} = 500 \text{ V}_{PP}$$

และจากวงจรรูปที่ 4.1-1 จะได้ค่า PRV ของไครอคเป็น

$$\text{ค่า PRV ของไครอค} = 3 V_{dc} = 30 \text{ KV}$$

ซึ่งไครอคที่หาได้จะมีฟอร์เวิร์ดโวลต์เทจันต์ครบเท่ากับ 20 โวลต์ ดังนั้นจะได้ค่าทรานส์ฟอร์เมอร์โวลต์เทจันต์เป็น

$$\begin{aligned} V_{ac} &= \frac{V_{ac} + V_D}{\sqrt{2}} + \frac{V_x}{2\sqrt{2}} \\ &= \frac{10,000 + 20}{\sqrt{2}} + \frac{500}{2\sqrt{2}} \\ &= 7347 \text{ โวลต์} \end{aligned}$$

และสำหรับค่ากระแสคี่ซีที่แหล่งกำเนิดในระดับนี้นี้ต้องการไม่เกิน 100 mA ดังนั้นค่ากระแสของทรานส์ฟอร์เมอร์ $= \sqrt{2} \times 100 = 140 \text{ mA}$ และค่ากระแสเฉลี่ยของไครอคจะเท่ากับ 100 mA ต่อไปเราจะหาค่าของคาปาซิเตอร์ที่ใช้

4.2 การคำนวณหาขนาดของฟิลเตอร์คาปาซิเตอร์

พิจารณาวงจร เรคตีไฟเออร์แบบฟูลเวฟที่ได้รับสัญญาณคลื่นไซน์ซายน์ที่มีพิคโวลต์เทจันต์ E_m จากทรานส์ฟอร์เมอร์และเรคตีไฟเออร์มีคาร์บาซิเตอร์ C_0 และโหลด R ดังรูปที่ 4.1-1 ในที่นี้เราจะสมมุติให้ไครอคเป็นแบบอुकมคติและจะพิจารณาให้ค่า time constant RC มีค่ามากกว่าคาบเวลา T มากพอที่คาปาซิเตอร์จะถึงชาร์จเกือบเป็นเส้นตรง ซึ่งการประมาณแบบนี้จะทำให้ค่าริฟเบิล E_x มีค่าน้อยกว่าพิคโวลต์เทจันต์ E_m มากซึ่งเรียกว่า การประมาณที่ 1 ทรัฟเบิลค่า

ภายใต้ข้อสมมุติข้างบนเราจะได้รูปคลื่นเอาท์พุทที่สภาวะคงที่ดังรูปที่ 4.1-2 ที่ผ่านมาจะสังเกตเห็นว่าช่วงการคิสชาร์จ (ช่วงที่ไครอคมีน้ากระแส) เกือบจะเท่ากับคาบเวลา $T/2$ ขณะที่ช่วงของการชาร์จเท่ากับเศษส่วนน้อยๆ ของ $T/2$ ในสภาวะคงที่ประจุที่จ่ายออกไปจากคาปาซิเตอร์ในช่วงเวลาที่ไครอคมีน้ากระแส จะเท่ากับประจุที่จ่ายเข้าไปในคาปาซิเตอร์ระหว่างช่วงน้ากระแส พิจารณาวงจรไครอคมีน้ากระแส

จลต์เทจณ์ของคาบาซีเตอร์ย้งคงคทึและเก็อบเท่กักับค้่าพิค E_m ซึ้งจะทห้กกระแสของคการคิจซ้่าจ้เท่กักับ E_m / R กระแสนึ้งจะไหลคคคคคชวง $T / 2$ ค้งนึ้นประจุที่จ้่าขออกบจากคาบาซีเตอร์เท่กักับ

$$Q_{lost} \approx \frac{E_m}{R} \left(\frac{T}{2} \right) \dots\dots(4.6)$$

และพิจารณาชวงโคโรคน้่ากกระแส จลต์เทจณ์ของคาบาซีเตอร์จะเพ็่มชึ้นอึ้ก E_x ค้งนึ้นประจุที่จ้่ารับจะเป็่น

$$Q_{acquired} = C E_x \dots\dots(4.7)$$

เม็่อรวมสมการ (4.6) และ (4.7) จะค้่า

$$C = \frac{T}{2 E_x R} (E_m)$$

แต่ $T = 1 / f$ ค้งนึ้น

$$C = \frac{1}{2 f E_x R} (E_m)$$

และ $\frac{E_m}{R} \approx I_{dc}$ ซึ้งทีความถึ 50 เฮ็รทจะค้่า

$$C = \frac{I_{dc}}{100 E_x}$$

ชณะที I_{dc} มีหน่วยเป็่นแอมป์แบร์และ E_x ค็ือค้่าริพเบ็ลเป็่น V_{pp} และ C มีหน่วยเป็่นฟารัด

ส่วนอึ้ครากการทนไฟของฟิลคเตอร์คาบาซีเตอร์จะพิจารณาจากวงจรรูป 4.1-1 จะเห็นว้่า $V_c = V_{dc}$ และจากสมการที (4.4) $V_{dc} \approx \sqrt{2} V_{ac}$ เพ็ระณึ้นจะค้่า $V_c = \sqrt{2} V_{ac}$ และเราจะหาค้่าของคาบาซีเตอร์ค้่าเป็่น

$$C = \frac{I_{dc}}{100 E_x} = \frac{100 \text{ mA}}{100 \times 500}$$

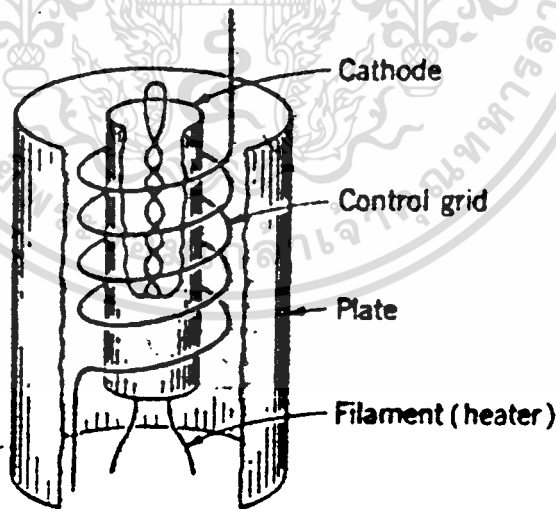
$$= 2 \mu\text{F}$$

และค่าโวลท์เทจันของคาปาซิเตอร์ = $\sqrt{2} \times 7347 \approx 11 \text{ KV}$

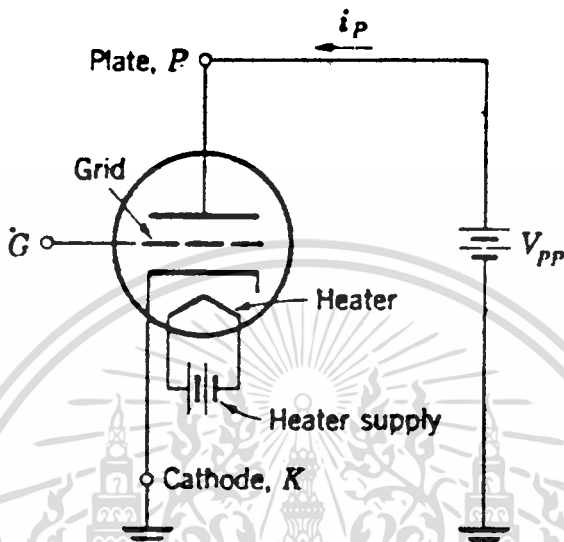
4.3 วงจรควบคุมกระแส

ในวงจรของแหล่งจ่ายไฟที่จ่ายให้แก่แหล่งกำเนิดเลเซอร์จำเป็นต้องมีวงจรควบคุมกระแสเพิ่มขึ้นมาด้วย เพื่อทำหน้าที่รักษากระแสที่ไหลผ่านหลอดเลเซอร์ให้คงที่และเราสามารถปรับกระแสที่ไหลผ่านหลอดเลเซอร์นี้ได้อีกด้วย การปรับกระแสที่ไหลผ่านหลอดจะทำให้กำลังทางออกของเลเซอร์เปลี่ยนไปตามกระแสที่เปลี่ยนด้วย ทำให้เกิดความเหมาะสมที่จะนำเอาแหล่งกำเนิดเลเซอร์นี้ไปใช้งานหลาย ๆ ด้าน

อุปกรณ์ที่สำคัญในวงจรควบคุมกระแสคือหลอดไตรโอด (Triode tube) หลอดไตรโอดมีลักษณะคล้ายหลอดไดโอด แต่มีขั้วอิเล็กโทรดขั้วที่สามเพิ่มเข้ามา ขั้วอิเล็กโทรดขั้วที่สามนี้ถูกเรียกว่า คอนโทรลกริด (control grid) ในทางฟิสิกส์แล้วชากริดนี้จะทำเป็นขดลวดเกลียวที่วางไว้ใกล้กับคาโทด ดังแสดงในรูปที่ 4.3-1

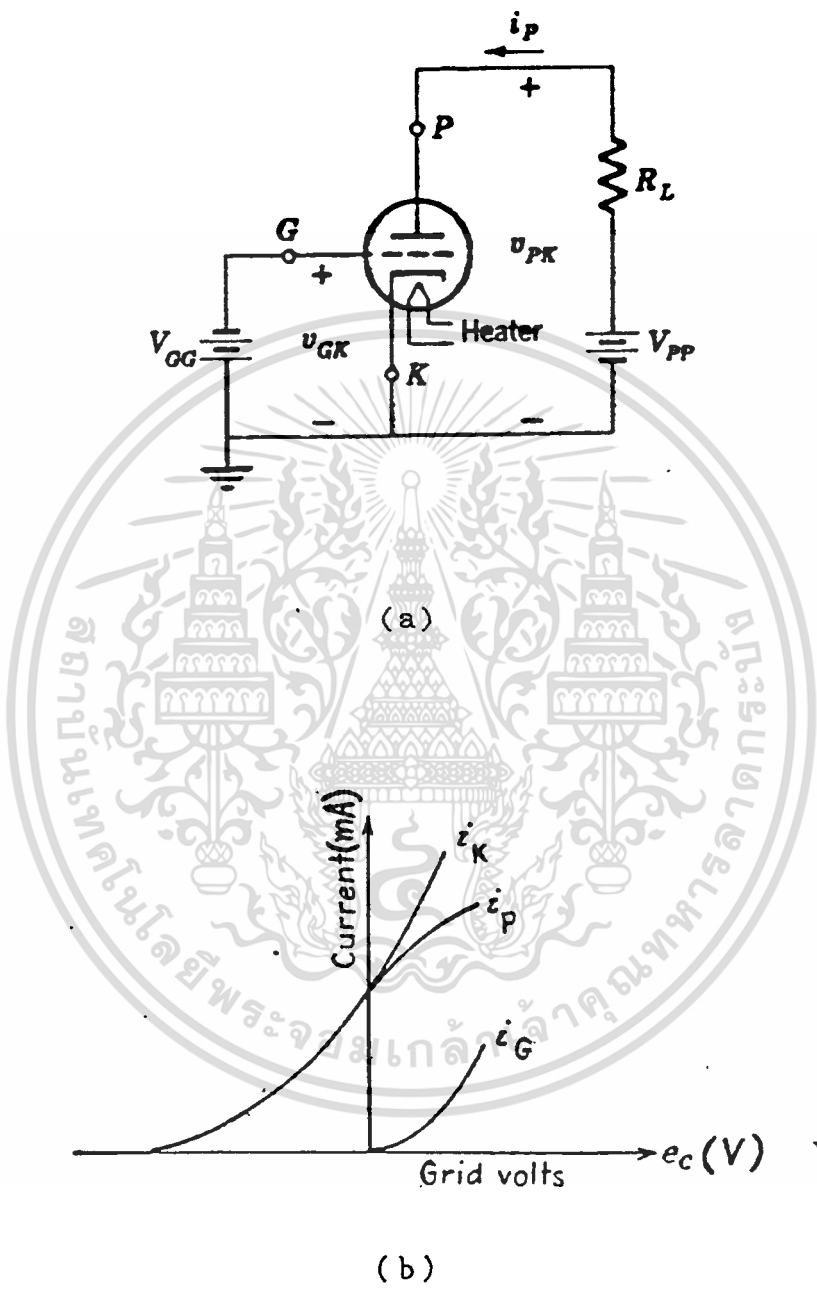


รูปที่ 4.3-1 หลอดไตรโอด (a) โครงสร้างทางฟิสิกส์



รูปที่ 4.3-1 หลอดคาโทด (b) สัญลักษณ์ทางไฟฟ้า

การทำงานของกริดในการควบคุมกระแสที่ไหลผ่านหลอดจะเป็นดังนี้คือถ้าความต่างศักย์จากกริดถึงคาโทดเป็นลบ อิเล็กตรอนบางตัวที่ออกจากคาโทดจะถูกผลักโดยกริดและจะย้อนกลับไปที่คาโทดเหมือนเดิม อิเล็กตรอนส่วนที่มีพลังงานมากกว่าจะผ่านโครงสร้างกริดและไปถึงขั้วเพลทาได้ ยิ่งความต่างศักย์จากกริดถึงคาโทดถูกทำให้เป็นลบมากขึ้นแล้วอิเล็กตรอนที่มีพลังงานสูงพอที่จะผ่านกริดไปถึงเพลทาได้มีน้อยลง ดังนั้นการเปลี่ยนแปลงแรงดันระหว่างกริดกับคาโทดจะมีผลต่อการเปลี่ยนแปลงของกระแสเพลทา (i_p) ด้วยเช่นกัน เราจึงสามารถควบคุมกระแสที่ไหลเข้ามาที่เพลทาได้โดยการเปลี่ยนค่าแรงดันระหว่างกริดกับคาโทด และเมื่อเราต่อขั้วเพลทาของหลอดคาโทดไปที่ขั้วคาโทดของหลอดเลเซอร์ จะทำให้กระแสที่ไหลผ่านหลอดเลเซอร์นั้นเป็นกระแสเพลทาของหลอดคาโทดด้วย ดังนั้นเราจะสามารถเปลี่ยนกระแสของหลอดเลเซอร์หรือกำลังทางออกของเลเซอร์ได้ โดยการเปลี่ยนแรงดันระหว่างกริดกับคาโทด



รูปที่ 4.3-2 ลักษณะเอาต์พุตของหลอดไตรโอด (a) วงจรไตรโอดพื้นฐาน (b) ลักษณะกราฟ VI

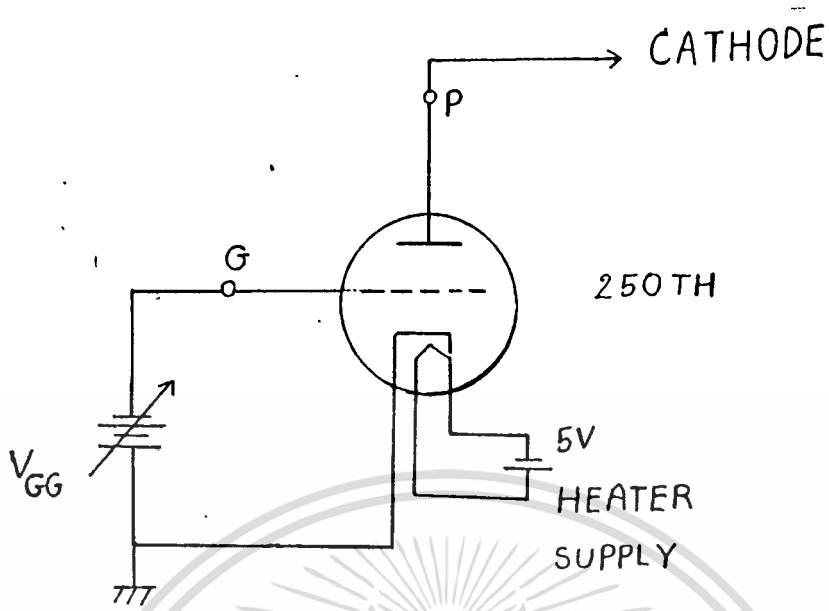
เอกสารนี้เป็นเอกสารที่สงวนไว้สำหรับการใช้งานเพื่อการศึกษาเท่านั้น ไม่อนุญาตให้นำไปใช้ประโยชน์ด้านการค้า ไม่ว่าจะกรณีใดๆทั้งสิ้น อีกทั้งห้ามมิให้ดัดแปลงเนื้อหา และต้องอ้างอิงถึงเจ้าของเอกสารทุกครั้งที่มีการนำไปใช้

ลักษณะเอาต์พุตของหลอดไตรโอดทั่ว ๆ ไป ถูกแสดงดังรูป 4.3-2 เรา จะเห็นว่ากระแสไหลเป็นฟังก์ชันของแรงดันจากกริดไบคาโรด (V_{GK}) ซึ่งเราได้ อธิบายไว้ในย่อหน้าก่อนแล้ว ความสัมพันธ์ระหว่างกระแสไหล , แรงดัน จาก เพลทถึงคาโรดและแรงดันจากกริดถึงคาโรดเป็นดังสมการ

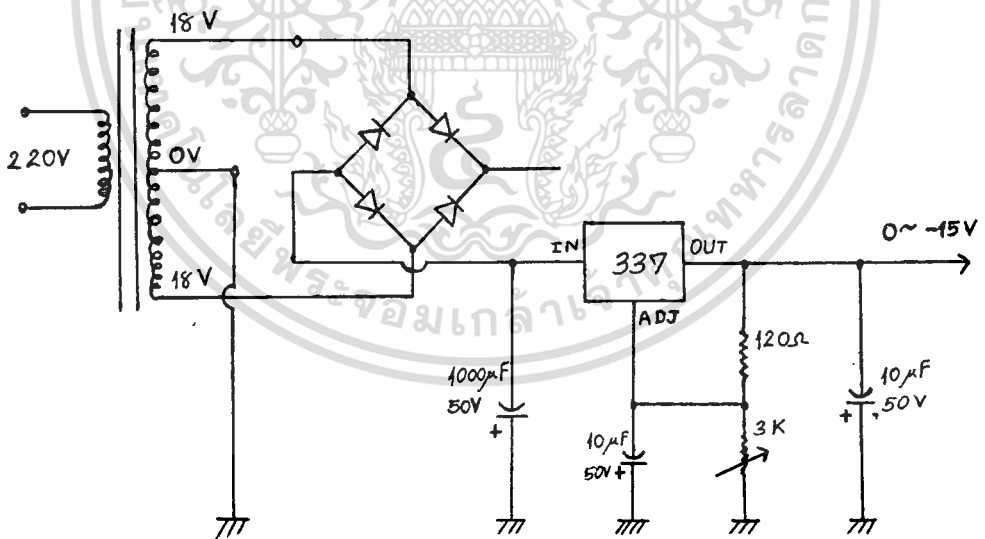
$$i_P \approx G (V_{PK} + \mu V_{GK})^{3/2} \dots\dots(4.8)$$

$$V_{GK} \leq 0 , V_{PK} \geq 0 , i_P \geq 0$$

ในการออกแบบเลือกขนาดของหลอดไตรโอด ค่าที่สำคัญที่จะต้อง เลือก ให้เหมาะสมคือค่าแรงดันสูงสุดที่เพลทจะทนได้ ในวงจรควบคุมกระแสเราจะต่อ หลอดไตรโอดไว้ที่ขั้วคาโรดของหลอดเลเซอร์ ซึ่งแรงดันที่ขั้วคาโรดของหลอด เลเซอร์จะอยู่ในช่วง 2-3 KV (เพราะแรงดันที่ตกคร่อมระหว่างขั้วคาโรดกับ ขั้วคาโรดต้องไม่น้อยกว่า 7 KV หลอดเลเซอร์ถึงจะทำงาน) ดังนั้นเราต้อง เลือก หลอดไตรโอดที่เพลทของมันทนแรงดันได้สูงกว่า 3 KV เมื่อดูจากข้อมูลของหลอด ไตรโอดที่มีจำหน่ายแล้วเบอร์ที่เหมาะสมที่สุดคือเบอร์ 250 TH ซึ่งแรงดันสูงสุดที่ เพลทจะทนได้เท่ากับ 4 KV และแหล่งจ่ายไฟที่ใช้สำหรับจุดไส้หลอดเป็น 5 V วงจร ส่วนควบคุมกระแสนี้ถูกแสดงไว้ในรูปที่ 4.3-3

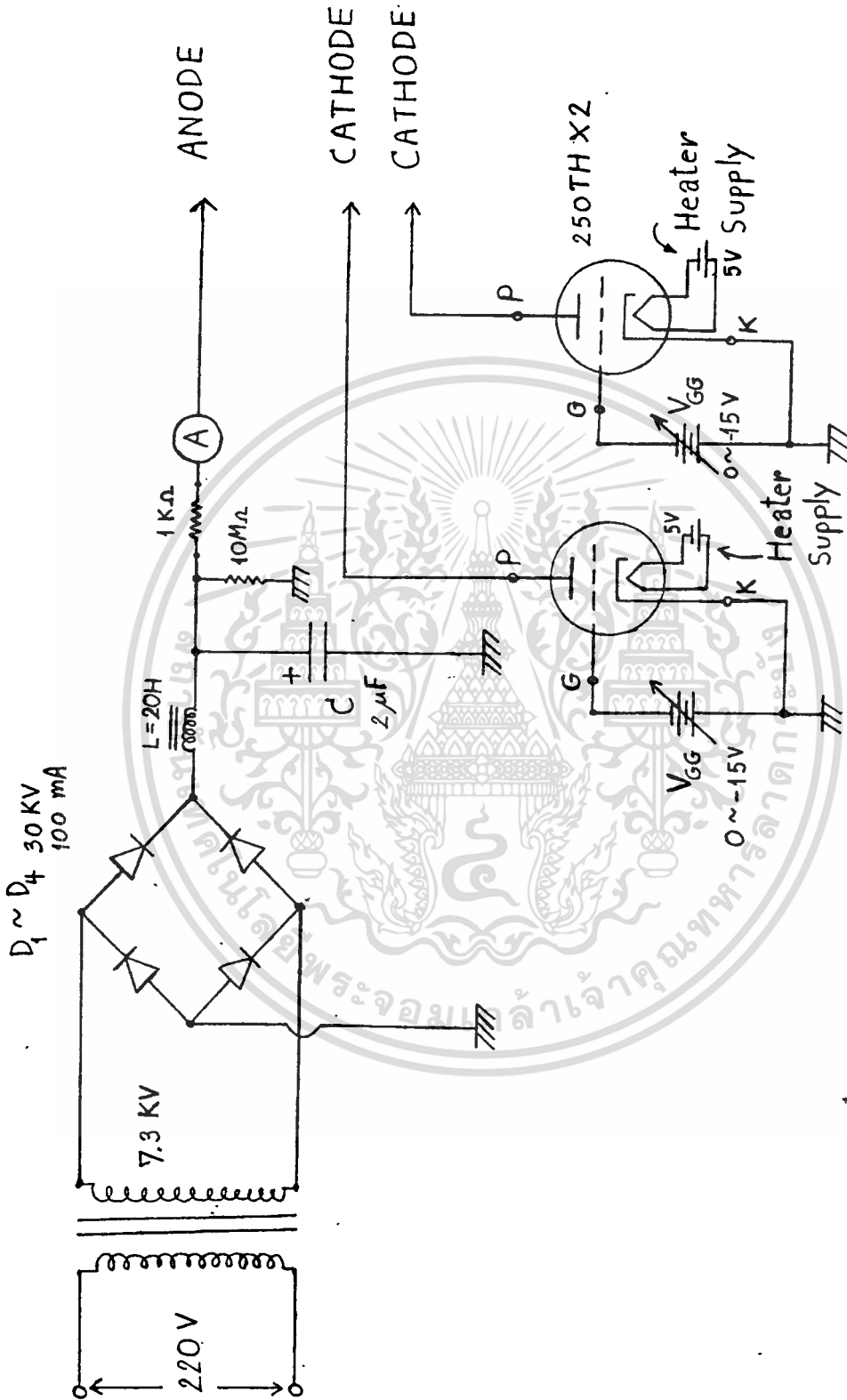


รูปที่ 4.3-3 วงจรส่วนควบคุมกระแส



รูปที่ 4.3-4 วงจรกำเนิดแรงดัน 0 ~ -15 โวลต์

4.4 วงจรของแหล่งจ่ายไฟรวมที่ใช้ในการทดลอง



รูปที่ 4.4-1 วงจรรวมของแหล่งจ่ายไฟที่ใช้ในการทดลอง

วงจรรวมทั้งหมดของแหล่งจ่ายไฟที่เข้ากับหลอดเลเซอร์ในการทดลองถูกแสดงไว้ในรูปที่ 4.4-1 ในการทดลองเราจะปรับค่าโวลต์เตจอร์ระหว่างกริดกับคาโทดของหลอดคาโทดให้กระแสไหลผ่านหลอดเลเซอร์ตั้งแต่ $0 \sim 60 \text{ mA}$ โดยคูคค่ากระแสที่ไหลได้จากแอมป์มิเตอร์ A ซึ่งการปรับค่าโวลต์เตจอร์ระหว่างกริดกับคาโทดเราจะปรับที่แหล่งจ่ายไฟกระแสตรง (V_{GG}) $0 \sim -15$ โวลต์



บทที่ 5

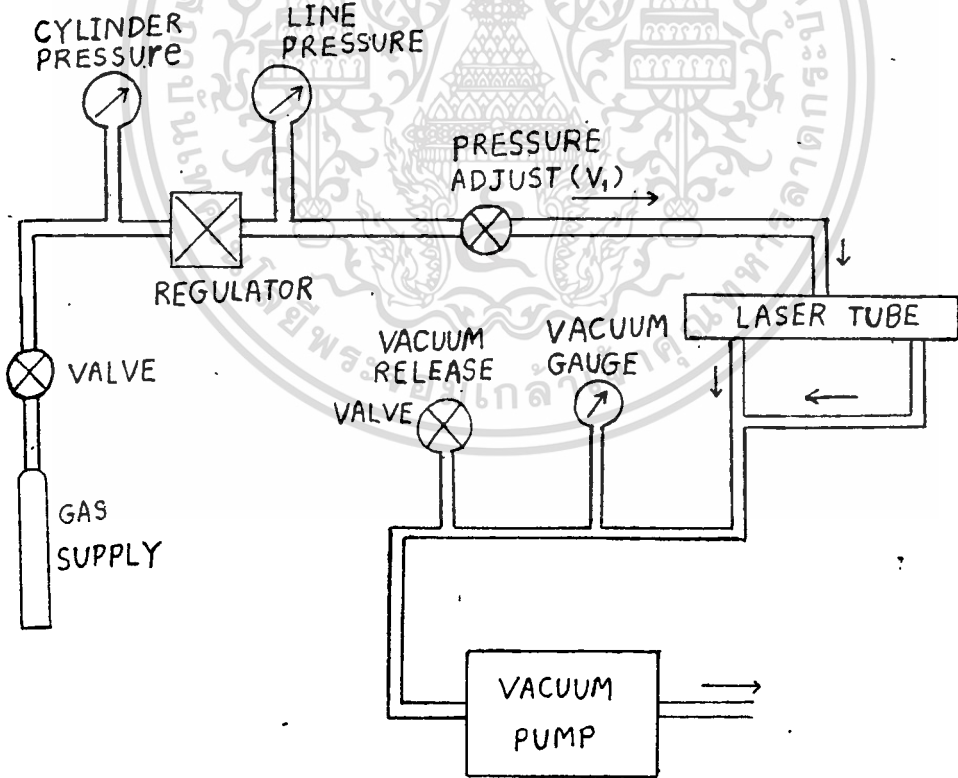
โครงสร้างของแหล่งกำเนิดเลเซอร์ , การทดลองและผลการทดลอง

ในบทนี้เราจะนำเอาระบบของแหล่งกำเนิดเลเซอร์ทั้งหมดที่ได้ออกแบบไว้แล้วมาสร้างและทำการทดลอง เพื่อตรวจสอบถึงประสิทธิภาพที่ได้สร้างขึ้น ระบบของแหล่งกำเนิดเลเซอร์ที่เราได้สร้างขึ้นมีโครงสร้างประกอบด้วยส่วนสำคัญสามส่วน คือ หลอดเลเซอร์ , แก๊สเลเซอร์ที่ไหลผ่านระบบและระบบระบายความร้อน และส่วนของแหล่งจ่ายไฟสูง ส่วนแรกและส่วนที่สามเราได้กล่าวไว้ในบทก่อน ๆ แล้วในส่วนที่สองเป็นระบบแก๊สเลเซอร์และระบบระบายความร้อนจะกล่าวในหัวข้อต่อไป

5.1 ระบบแก๊สเลเซอร์ที่ไหลผ่าน

แก๊สเลเซอร์ในการทดลอง เป็นแก๊สผสมสามชนิดตามอัตราส่วนดังนี้

คาร์บอนไดออกไซด์	4.5 %
ไนโตรเจน	13.5 %
ฮีเลียม	82.0 %

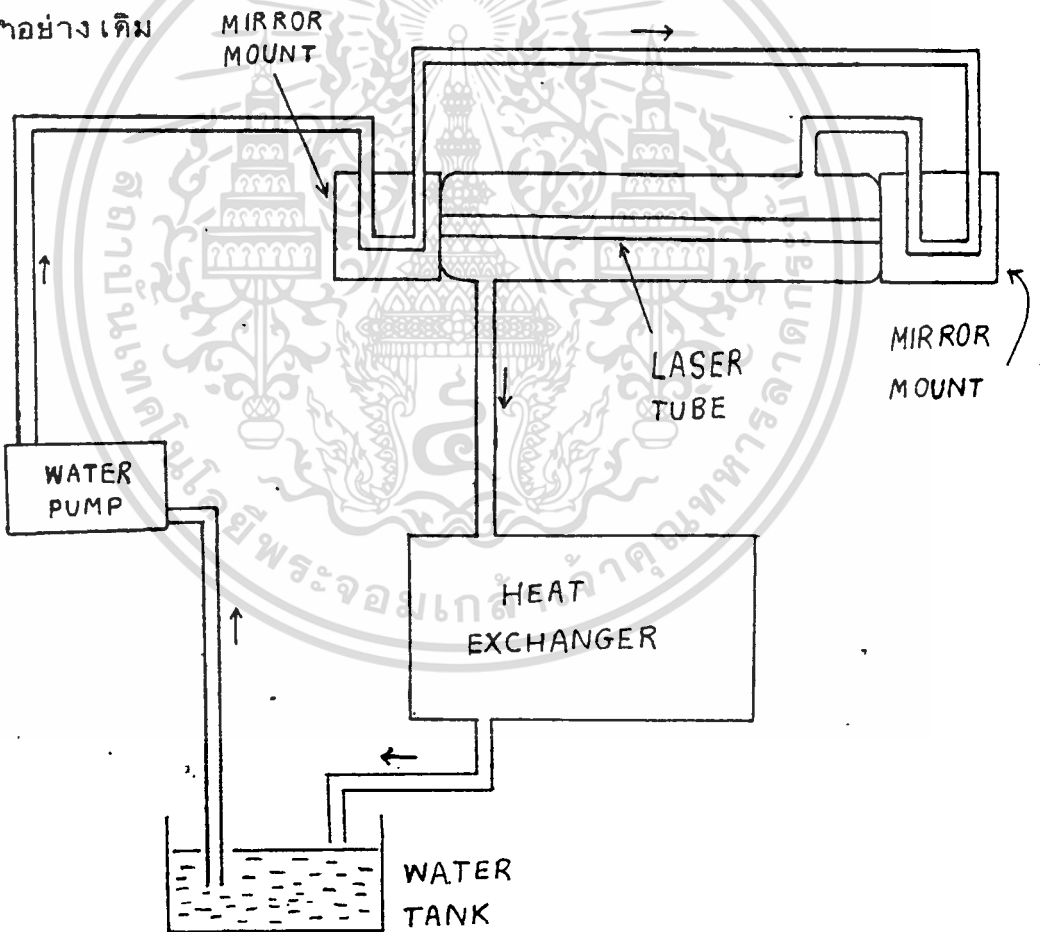


รูปที่ 5.1-1 โค้ดแกรมของระบบแก๊สเลเซอร์ที่ไหลผ่าน

แก๊สนี้จะถูกเก็บไว้ในถังแก๊สความดันสูง ซึ่งบนตัวถังแก๊สจะมีวาล์ว , เรคกูเลเตอร์และ เกจวัดความดันสองตัวติดตั้งอยู่ที่ถังแก๊ส เกจวัดความดันตัวหนึ่งจะวัดความดันในถังแก๊ส อีกตัวหนึ่งจะวัดความดันของแก๊สที่ไหลเข้าไปในระบบ ส่วนเรคกูเลเตอร์จะเป็นตัว ควบคุมแก๊สที่ไหลออกจากถังแก๊สก่อนเข้าระบบไปในระบบโดยจะรักษาความดันของแก๊ส ไว้ที่ 25 ปอนด์ต่อตารางนิ้ว ส่วนอุปกรณ์ที่เป็นตัวรับความดันของแก๊สในหลอด เลเซอร์ ก็คือวาล์วขนาดเล็ก (V_1) วาล์ว V_1 นี้จะเป็นตัวเปลี่ยนความดันของแก๊สในหลอด เลเซอร์ที่ใช้ทดสอบผลต่าง τ ในการทดลองต่อไป

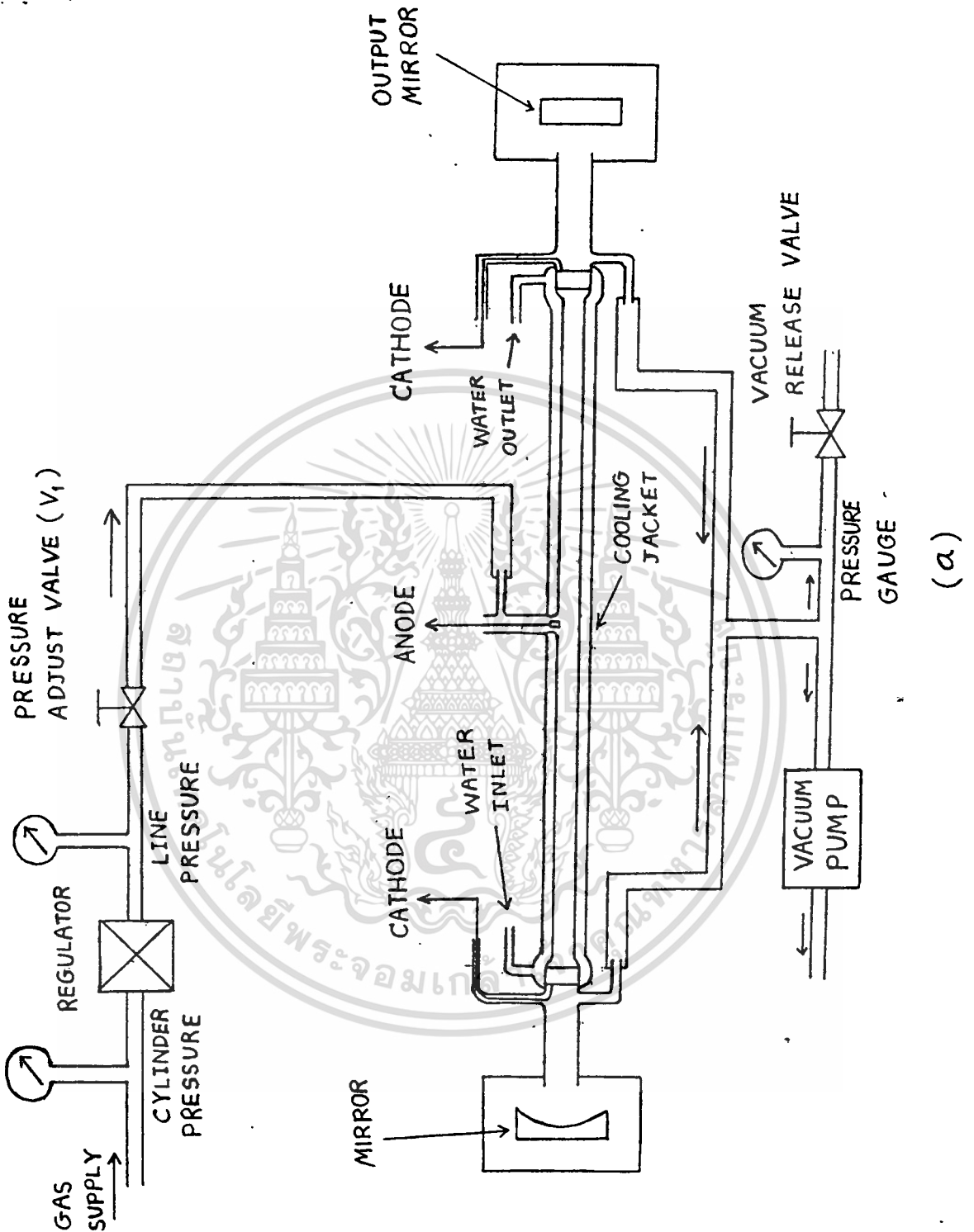
5.2 ระบบระบายความร้อน

แหล่งกำเนิดเลเซอร์ที่สร้างขึ้นมีกำลังสูงพอสมควร ทว่าก็ต้องมีระบบ ระบายความร้อนผ่านหลอดเลเซอร์ขึ้นนอกถังแสดงงานรูปที่ 5.2-1 บีมน้ำจะถูกนำจาก ถังเก็บน้ำผ่านไปที่ส่วนของกระจกหัวและออกไปที่ส่วนของกระจกท้ายจากนั้นจะ เข้าไปที่ หลอดเลเซอร์ขึ้นนอกและออกจากหลอดขึ้นนอกก็ไปที่ส่วนถ่ายเทความร้อน (heat exchanger) เพื่อถ่ายเทความร้อนออกไปจากน้ำและจากนั้นน้ำที่เย็นแล้วจะกลับเข้าสู่ ถังเก็บน้ำอย่างเต็ม

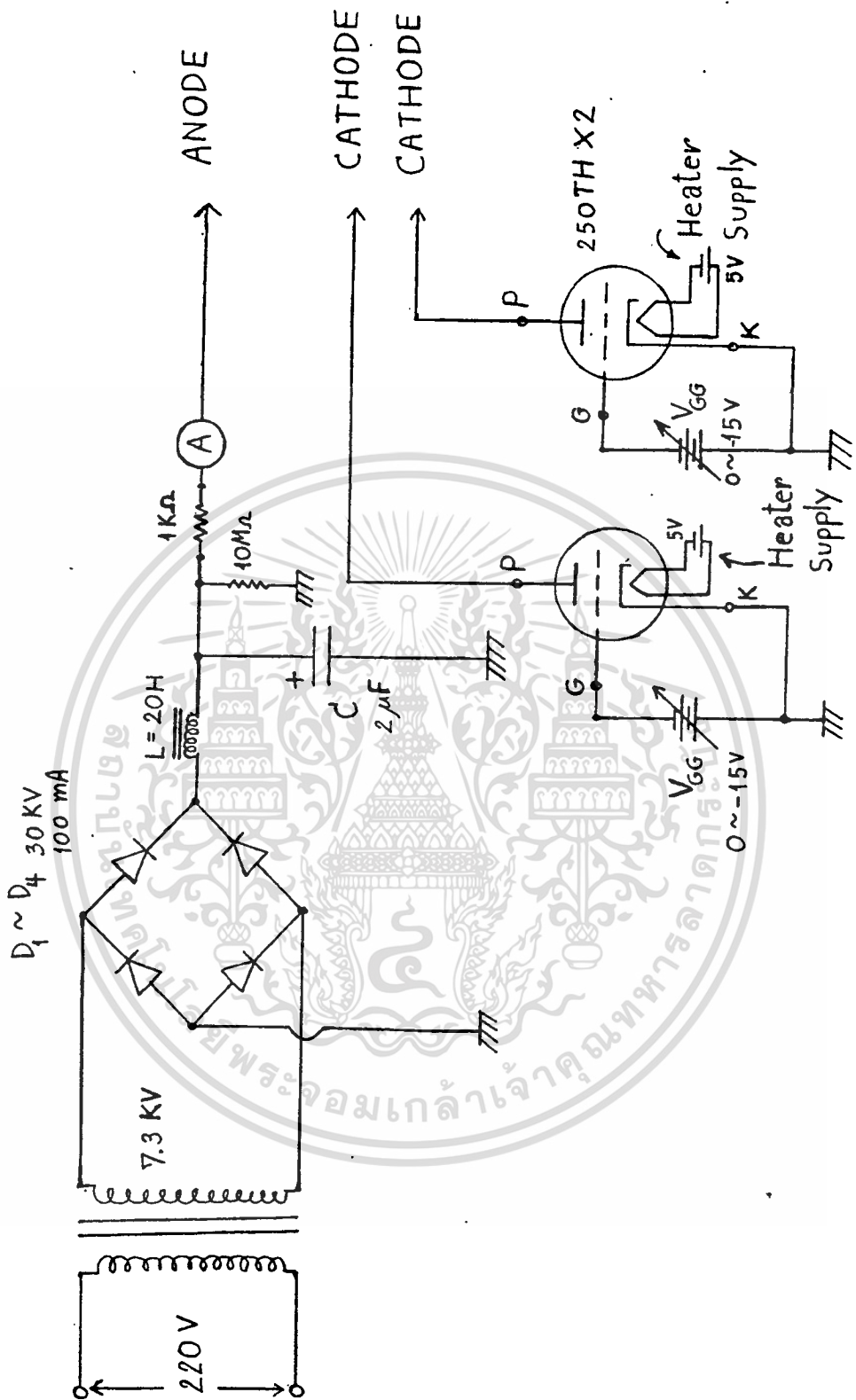


รูปที่ 5.2-1 โคอะแกรมของระบบระบายความร้อน

5.3 โครงสร้างของระบบเลเซอร์ทั้งหมดที่ใช้ในการทดลอง



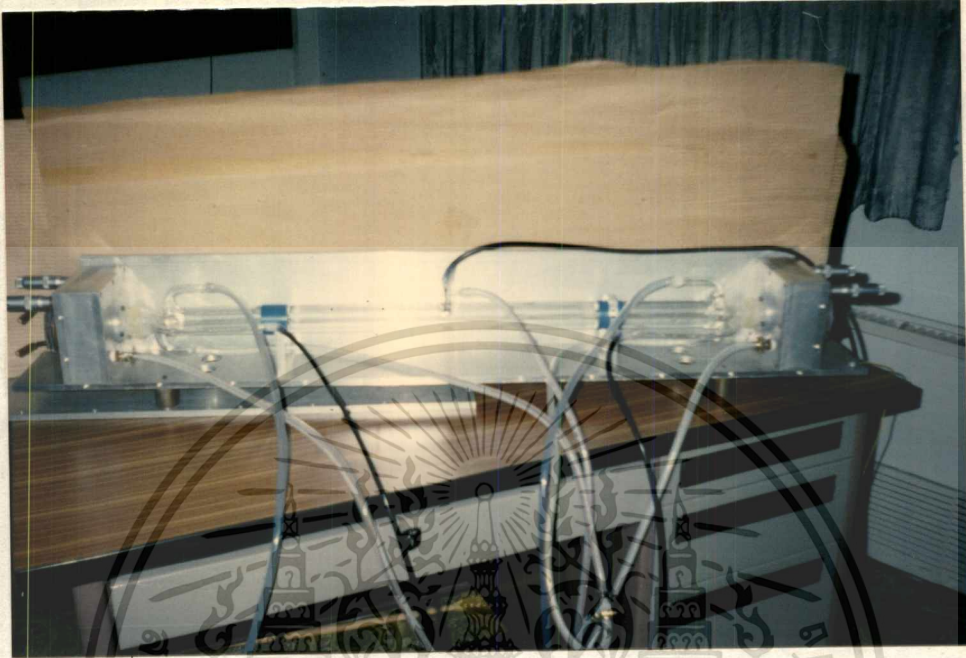
รูปที่ 5.3-1 (a) โคอะแกรมของโครงสร้างของระบบเลเซอร์ทั้งหมดที่ใช้ทดลอง



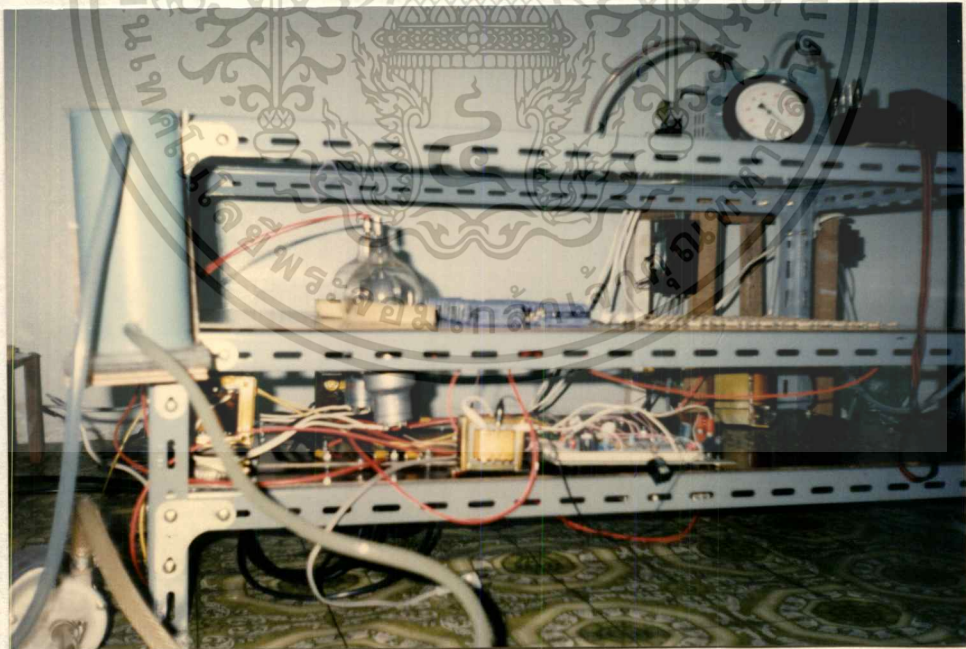
รูปที่ 5.3-1 (b)

เอกสารนี้เป็นเอกสารที่สงวนไว้สำหรับการใช้งานเพื่อการศึกษาเท่านั้น ไม่อนุญาตให้นำไปใช้ประโยชน์ด้านการค้า
 ไม่ว่ากรณีใดๆทั้งสิ้น อีกทั้งห้ามมิให้ดัดแปลงเนื้อหา และต้องอ้างอิงถึงเจ้าของเอกสารทุกครั้งที่มีการนำไปใช้

จากโคอะแกรมในรูป 5.3-1 (a) และ (b) เราจะเห็นถึงโครงสร้างของระบบ เลเซอร์ทั้งหมดที่ใช้งานการทดลอง ส่วนภาพถ่ายจากระบบจริง ๆ ที่ได้สร้างขึ้นมาถูก แสดงไว้ในรูปที่ 5.3-2 และ 5.3-3



รูปที่ 5.3-2 ภาพถ่ายส่วนหัวปรับกระจก , หลอดแก้วและแท่นวาง



รูปที่ 5.3-3 ภาพถ่ายส่วนแหล่งจ่ายไฟ

5.4 การทดลองและผลการทดลอง

ในการทดลองเพื่อทดสอบระบบทั้งหมดที่สร้างขึ้น เราจะปรับค่าความต่างศักย์ V_{test} ให้มีกระแสไหลผ่านหลอดเลเซอร์ตั้งแต่ 0-60 mA ซึ่งดูได้จากแอมมิเตอร์ A โดยตั้งค่าความดันของแก๊สเลเซอร์ในหลอดไว้ที่ค่าหนึ่งและเปลี่ยนค่าความดันแก๊สนี้ไปด้วยตั้งแต่ 10-35 mmHg ซึ่งจะเปลี่ยนค่าความดันของแก๊สนี้ที่วาล์วรับความดัน (V_1) โดยอ่านค่าความดันของแก๊สในหลอดที่เกจวัดความดัน และทำการวัดกำลังทางออกที่ตกกระทบบนแผ่นพลาสติกที่ใช้ทดสอบหมวกการทางาน

ผลการทดลองที่บันทึกไว้แสดงในตารางที่ 2 , รูปที่ 5.4-1 , 5.4-2 และรูปที่ 5.4-3

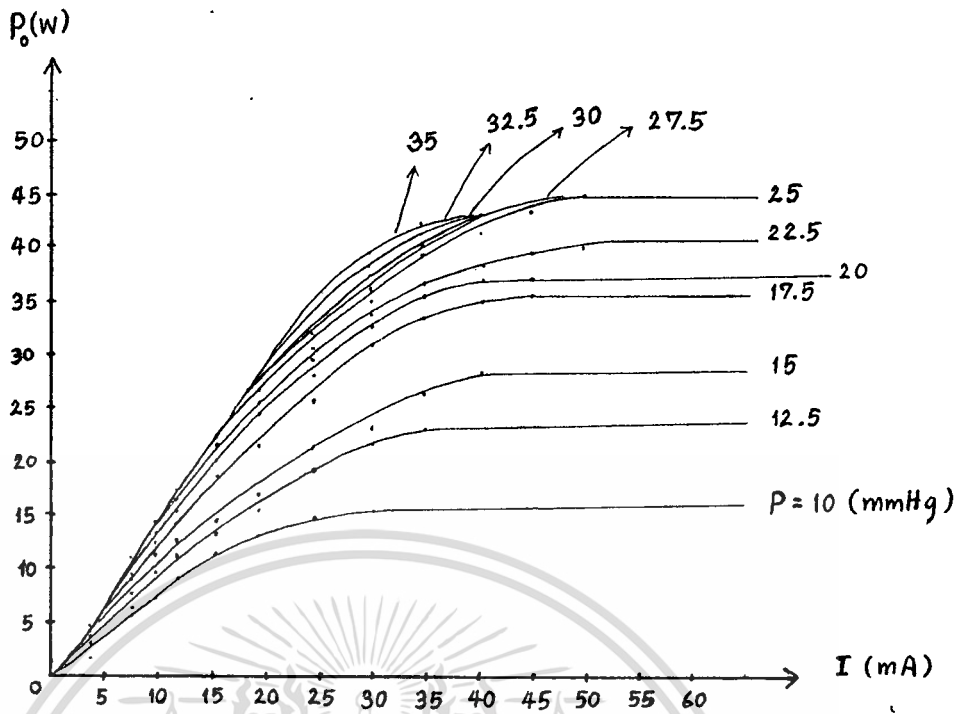
ตารางที่ 2 ผลการทดลองปรับกระแสและความดันแก๊ส

$\frac{P_o}{P} \times I$	0	4	8	10	12	16	20	25	30	35	40	45	50	60
10	0	2	5.5	7	9	11	12	14	15	15	15	15	15	15
12.5	0	2.5	6	9.5	11	12	14	19	21	22	22	22	22	22
15	0	3	7	10.5	12	13.5	16	20.5	22	25	28	28	28	28
17.5	0	3	8.5	12	14	18	21	25	31	33	34	35	35	35
20	0	3.5	9	13	15	20	24	27	32	35	36	36	36	36
22.5	0	3.5	10	14	16	21	25	28	33	36	37	38	38	40
25	0	4	11	14	17	22	26	29	34	38	41	43	45	45
27.5	0	4	11	14	17	22	27	31	35	39	41	43	45	45
30	0	4	12	15	18	23	27	31	36	39	42	43	45	45
32.5	0	4	12	15	18	23	29	32	37	40	42	43	45	45
35	0	4	12	15	18	24	29	34	38	41	42	43	45	45

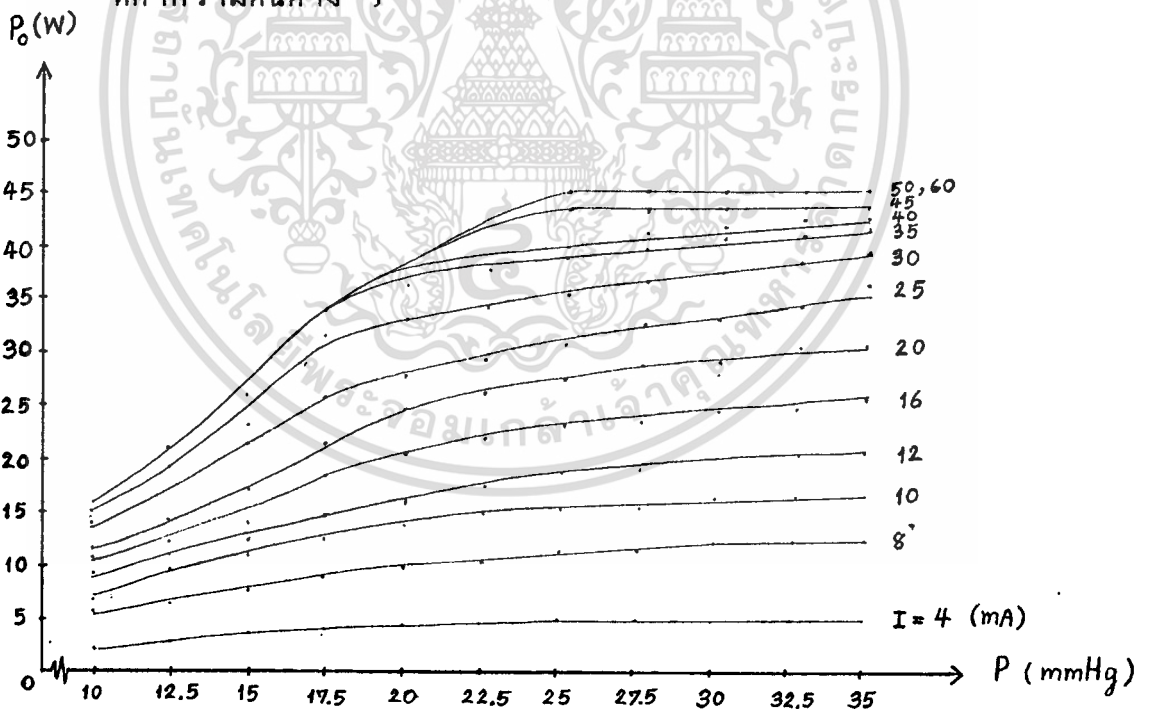
I = กระแสที่ไหลผ่านแอมมิเตอร์ A (mA)

P = ความดันของแก๊สที่ผ่านหลอดเลเซอร์ออกมา (mmHg)

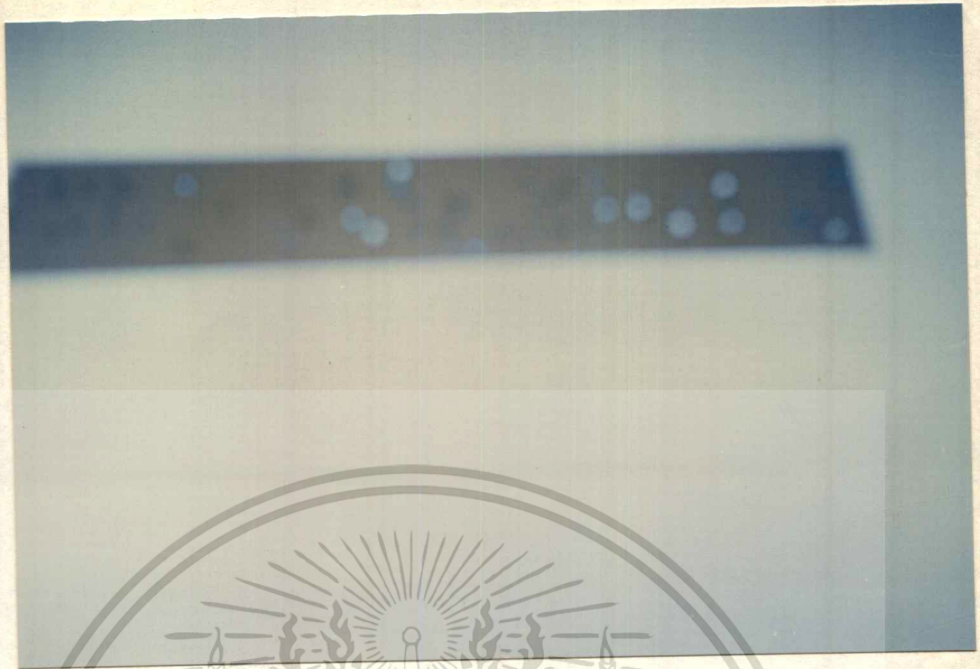
P_o = กำลังทางออกของหลอดเลเซอร์ (วัตต์)



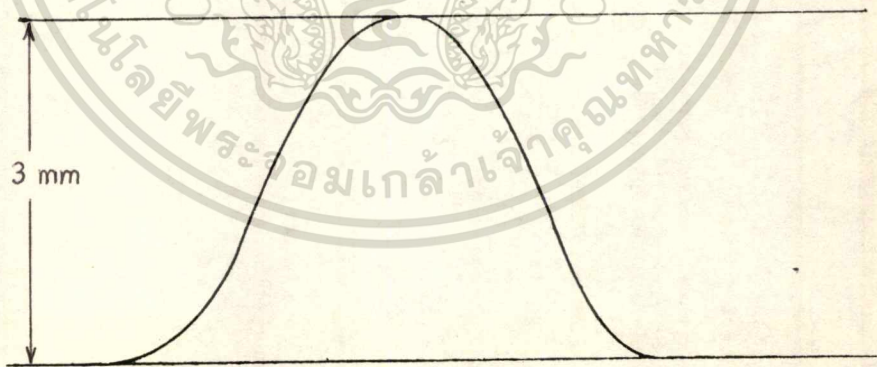
รูปที่ 5.4-1 กราฟแสดงความสัมพันธ์ของกำลังทางออกของ เลเซอร์กับกระแสสขาร์จ ที่ค่าความดันต่าง ๆ



รูปที่ 5.4-2 กราฟแสดงความสัมพันธ์ของกำลังทางออกของ เลเซอร์กับความดันที่ค่า กระแสสขาร์จต่าง ๆ



รูปที่ 5.4-3 แสดงภาพถ่ายของระหมดของกำลังทางออกที่ตกกระทบบนแผ่นพลาสติก
หนา 3 mm



รูปที่ 5.4-4 แสดงภาพวาดภาคตัดขวางของรูป 5.4-3

จากผลการทดลองที่ได้ในรูป 5.4-1 เราพบว่าเมื่อปรับให้กระแสที่ออก จากแหล่งจ่ายไฟไปยังขั้วอาร์โนดเพิ่มขึ้นเรื่อย ๆ กำลังทางออกของเลเซอร์ (P_o) จะเพิ่มขึ้นตามไปเรื่อย ๆ และจะไปถึงที่ที่ค่ากระแสช่วง 50-60 mA ที่ความดันของ แก๊สเลเซอร์ค่าหนึ่ง ๆ และกำลังทางออกสูงสุดที่ทำได้เป็น 45 วัตต์ซึ่งนับว่าเข้าได้ดี มากสำหรับผลการทดลองในรูปที่ 5.4-2 แสดงให้เห็นว่าเมื่อเพิ่มความดันแก๊สให้มากขึ้นที่ค่ากระแสค่าหนึ่งกำลังทางออกก็เพิ่มมากขึ้นตามไปด้วย แต่ก็คงจะไปถึงในช่วง ความดัน 30-35 mmHg ส่วนโหมดของกำลังทางออกที่สังเกตได้จากแผ่นพลาสติกพบว่าได้โหมด TEM₀₀ ซึ่งเป็นโหมดที่เหมาะสมที่จะนำไปใช้ในการผ่าตัดมากและภาพ วาดภาคตัดขวางที่ได้ในรูปที่ 5.4-4 ก็มีการกระจายแบบ Gaussian

สำหรับการวัดกำลังทางออกของแสงเลเซอร์ เราใช้ Laser Power Probe สำหรับวัดแสงเลเซอร์ CO₂ โดยตรง โดยขณะทำการวัดเราจะใช้ส่วนที่เป็น หัว sensor รับความร้อนยื่นไปให้แสงเลเซอร์ที่ออกมาจากกระจกเอาท์พุทตกกระทบ เป็นเวลานาน 20 วินาที แล้วจึงอ่านค่ากำลังทางออกเป็นวัตต์ที่เข็มของมิเตอร์ของ Power Probe

บทที่ 6

สรุปผลการวิจัยและข้อเสนอแนะ

วิทยานิพนธ์ฉบับนี้ได้ทำการทดลองออกแบบและสร้างแหล่งกำเนิดเลเซอร์แบบคาร์บอนไดออกไซด์เลเซอร์เนื่องจากเลเซอร์แบบนี้มีความยาวคลื่น 10.6 ไมครเมตร ซึ่งเป็นความยาวคลื่นที่เนื้อเยื่อกระดูกสันหลังได้คิดและยังให้เอาต์พุตที่ต่อเนื่องสูงกว่าและประสิทธิภาพที่สูงกว่าแบบอื่น ๆ ทำให้มีความเหมาะสมที่จะนำไปใช้งานด้านการผ่าตัดทางการแพทย์ แหล่งกำเนิดเลเซอร์ที่มีความต้องการในการผ่าตัดควรมีกำลังทางออกอยู่ในช่วง 45-50 วัตต์และโหมดของกำลังทางออกต้องเป็นแบบ TEM₀₀ จึงจะสามารถนำมาใช้งานด้านการผ่าตัดได้ ซึ่งจุดสำคัญที่จะให้ได้แหล่งกำเนิดเลเซอร์ที่มีคุณภาพแบบนี้คือ การออกแบบและคำนวณโครงสร้างของช่องตัวกลาง (medium cavity) และรีโซเนเตอร์ให้สัมพันธ์กันซึ่งได้กล่าวไว้อย่างละเอียดในบทที่ 3 ในบทที่ 3 นั้น ได้แสดงรายละเอียดของการออกแบบคาร์บอนไดออกไซด์เลเซอร์แบบธรรมดาที่ง่ายและเป็นที่ยอมรับที่อยู่บนพื้นฐานความสัมพันธ์ระหว่างพารามิเตอร์ต่าง ๆ ความสัมพันธ์เหล่านี้บางอันมาจากทฤษฎี บางอันมาจากการสังเกตในการทดลองในบทนี้ยังได้กล่าวถึงความสัมพันธ์ต่าง ๆ ของพารามิเตอร์ทั้งหมดที่เกี่ยวข้องกับการออกแบบรวมทั้งใช้รูปภาพแสดงความสัมพันธ์เหล่านี้ ความสัมพันธ์ในรูปภาพนี้จะทำให้เราสามารถกำหนดผลของการเปลี่ยนพารามิเตอร์ในการออกแบบ , กำลังทางออกของเลเซอร์ที่เกิดขึ้น หรือออกแบบระบบเลเซอร์ใหม่ที่ได้กำลังทางออกแบบโหมดเดียว (TEM₀₀) ตามต้องการได้ ถ้าหากเว้นเรื่องความสัมพันธ์จากการสังเกตในการทดลองเล็ก ๆ น้อย ๆ ที่ต้องการแล้ววิธีการออกแบบที่มีอยู่ในบทที่ 3 จะสามารถใช้ได้ทั่วไปและยังสามารถใช้กับระบบเลเซอร์ระบบอื่น ๆ ได้อีกด้วยเพียงแค่ปรับการทดลองให้เหมาะสมเท่านั้น นอกจากการออกแบบความสัมพันธ์ต่าง ๆ ที่กล่าวไว้ในบทที่ 3 แล้ว ส่วนสำคัญอีกอย่างหนึ่งคือ แหล่งจ่ายไฟของแหล่งกำเนิดเลเซอร์ซึ่งได้กล่าวไว้ในบทที่ 4 แหล่งจ่ายไฟที่ระบบเลเซอร์ต้องการต้องมีโวลเตจสูงและควบคุมกระแสได้ วงจรไฟฟ้าของแหล่งจ่ายไฟจะประกอบไปด้วยหม้อแปลงโวลเตจสูงที่ทางด้านเอาต์พุตให้โวลเตจออกมาประมาณ 7 KV ส่วนวงจรเรกติฟายเออร์เป็นแบบบริดจ์ไดโอดและฟิลเตอร์จะประกอบไปด้วยรีซีคอินพุทและคาปาซิเตอร์ในส่วนของการควบคุมกระแสเราใช้หลอดคาโรบอกเป็นตัวควบคุมกระแสที่ไหลผ่านหลอดเลเซอร์ โดยสามารถปรับกระแสได้ที่ขั้วกริดของหลอดคาโรบอก ซึ่งจะทำให้เราสามารถปรับกำลังทางออกของเลเซอร์ได้ เพราะกำลังทางออกของเลเซอร์นั้นจะเปลี่ยนแปลงตามกระแสที่

ไหลผ่านหลอด เล เซอร์

โครงสร้างของแหล่งกำเนิด เล เซอร์ที่สร้างขึ้นตามการออกแบบและการคำนวณพร้อมกับผลการทดลองและการทดสอบในเชิงปฏิบัติของแหล่งกำเนิด เล เซอร์ซึ่งได้ถูกแสดงไว้ในบทที่ 5 นั้น เราประกอบขึ้นมาเองทั้งหมดแต่กว่าจะสำเร็จลงได้เราประสบปัญหาต่าง ๆ มากมาย อันดับแรกเลยก็คือการสร้างหลอด เล เซอร์ซึ่งเป็นหลอดแก้วไพเร็กซ์ (pyrex) นั้นมีวิธีการสร้างที่ยุ่งยากมากเพราะต้องทำเป็นหลอดสองชั้น ชั้นในสำหรับให้แก๊ส เล เซอร์ไหลผ่าน ส่วนชั้นนอกสำหรับให้หน้าระบายความร้อนผ่าน ต้องใช้เวลาทำนานหลายเดือนเพราะส่วนใหญ่เมื่อทำเสร็จแล้วหลอดแก้วมักจะแตกร้าวอันเนื่องมาจากการคลายตัวหลังจากหลอดเย็นตัวลง ส่วนปัญหาอันที่สองก็คือหัวปรับกระแสจกสะท้อน ซึ่งแบบแปลนรายละเอียดได้ถูกแสดงไว้ในภาคผนวก ก. ในส่วนนี้เป็นชิ้นส่วนทางแมคคาเนนิคส์ที่มีส่วนเคลื่อนที่ได้และแต่ละชั้นที่มาประกอบกันจะมีรูตรงกลางทุกชั้น ซึ่งต้องทำให้จุดศูนย์กลางของรูนี้ของทุกชั้นอยู่ในแนวเดียวกันจึงจะทำให้เกิดแสง เล เซอร์ขึ้นมาได้ ในส่วนนี้ต้องหาผู้เชี่ยวชาญที่มีฝีมือในการกลึงและประกอบชิ้นงานมาช่วยทำต้องใช้เวลาและเสียค่าใช้จ่ายมากทีเดียว ปัญหาอันสุดท้ายอยู่ที่ส่วนของแหล่งจ่ายไฟคือ หม้อแปลงไฟฟ้าแรงสูงและหลอดไตรโอด การทำหม้อแปลงไฟฟ้าแรงสูงให้มีคุณภาพใช้งานได้นั้นหายากมาก เพราะมีการพันลวดถึงหกพันกว่ารอบและฉนวนไฟฟ้าที่ใช้ทำจะเป็นพวกยางมะตอย หรือ เรซินทำให้มีปัญหาในการหล่อและเทลงล้อมรอบขดลวดมักจะเกิดปัญหาการลัดวงจรอยู่บ่อยมาก การทำให้ได้คุณภาพจริง ๆ ต้องใช้เวลาทำ ส่วนหลอดไตรโอดมีราคาแพงและหายากในประเทศไทยไม่มีขายทำให้ต้องสั่งซื้อจากต่างประเทศราคาซื้อขายจึงสูงมากทำให้ต้นทุนของการสร้างสูงตามไปด้วย ส่งผลให้งานวิจัยชิ้นนี้ล่าช้าไปมาก โครงสร้างทั้งหมดที่ได้ทำขึ้นถูกแสดงไว้ในบทที่ 5

สำหรับผลการทดลองที่ได้จากรูปที่ 5.4-1 เป็นรูปกราฟที่แสดงความสัมพันธ์ของกำลังทางออกของ เล เซอร์กับกระแสคัลลิวาร์จที่ค่าความดันต่าง ๆ จะเห็นว่าความดันของแก๊สในช่อง 25-35 mmHg เป็นช่วงที่ให้กำลังทางออกสูงที่สุดประมาณ 45 วัตต์และในช่วงนี้กำลังทางออกจะแปรผันตามกระแสเกือบเป็นเส้นตรง ส่วนกำลังทางออกที่ได้ยังไม่เท่ากับ 50 วัตต์ทั้งนี้เป็นเพราะกระแสจกสะท้อนที่ปลายหลอด เล เซอร์ทั้งสองถูกใช้ในการทดลองมาเป็นเวลานาน ทำให้เกิดรีวรอยอันเนื่องมาจากการทำความสะอาดหลาย ๆ ครั้ง เป็นผลให้คุณภาพของกระแสจกลดลงและส่งผลให้กำลังทางออกที่ต่ำลดลงไปเล็กน้อย ส่วนกราฟรูปที่ 5.4-2 จะเห็นว่าความดันของแก๊สในช่อง 25-35 mmHg เป็นช่วงที่เหมาะสมในการใช้งานมากที่สุดเพราะให้กำลังทางออกสูงที่สุดและคงที่ตลอดช่วง และจากรูปที่ 5.4-3 และ 5.4-4 เป็นภาพแสดงรูปร่าง

ของลาแสง เลเซอร์ที่ได้ จะเห็นว่า ความเข้มของลาแสงสูงที่สุดจะอยู่ในแนวแกนกลาง
ของลาแสง ซึ่งเป็นลักษณะของลาแสงแบบโหมด TEM₀₀ ตรงตามจุดประสงค์ของ
การออกแบบ ดังนั้นแหล่งกำเนิดที่เราได้สร้างขึ้นจึงมีคุณสมบัติเหมาะกับการนำไปใช้
งานในทางการแพทย์มาก

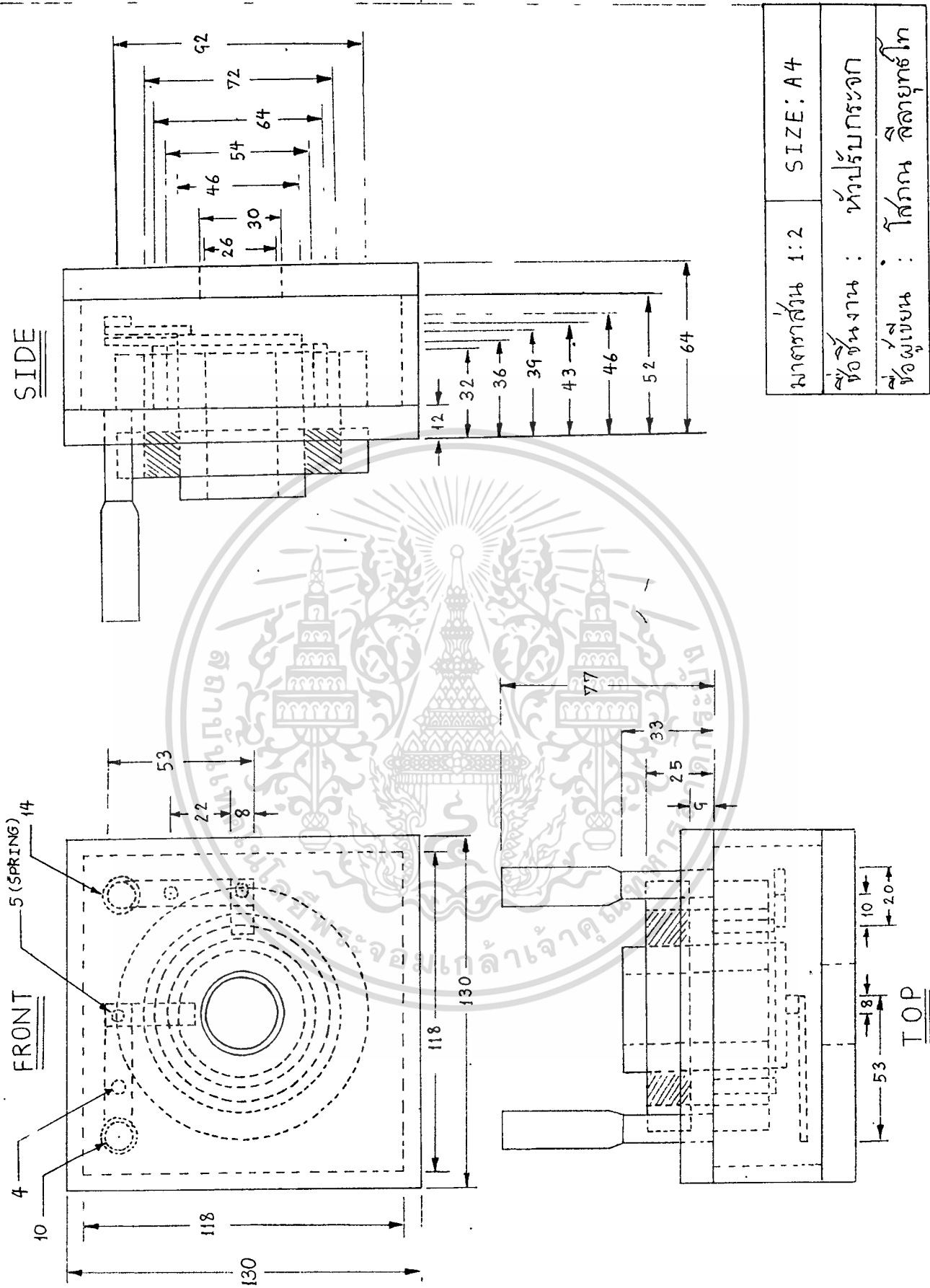


บรรณานุกรม

- [1] AMNON YARIV . OPTICAL ELECTRONICS . Thrid Edition New York
USA : CBS College Publishing , 1985
- [2] ORAZIO SVELTO . PRINCIPLES OF LASER . Translated by
David C. HANNA . NEW YORK : PLenum Press , 1982
- [3] J. WILSON and HAWKES . OPTOELECTRONICS An Introduction .
New Jersey : Prentice Hall , 1983
- [4] L. TARASOV . LASER PHYSICS and Application .Translated by
M. Edelev . MOSCOW : Mir Publishers , 1986
- [5] JEFF HECHT . THE LASER GUIDEBOOK . New York :
McGRAW - HILL BOOK COMPANY , 1986
- [6] W.W. Rigrod . " Saturation Effects in High-Gain Lasers . "
Journal of Applied Physics , volume 36 , no. 8 (1965) ,
pp. 2487-2490
- [7] L.V. TARASOV . LASER PHYSICS . Translated by RAM S. Wadhwa
MOSCOW : Mir Publishers , 1983
- [8] วิวัฒน์ เฟ่าลินจง . " การออกแบบหัวเลเซอร์สำหรับเลเซอร์ผ่าตัด . " วิทยานิพนธ์
ปริญญามหาบัณฑิต สาขาวิศวกรรมไฟฟ้า บัณฑิตวิทยาลัย สถาบันเทคโนโลยี
พระจอมเกล้าเจ้าคุณทหารลาดกระบัง , 2531.
- [9] รัชภณ ลีลาฤทธิ์ . " การออกแบบและสร้างแหล่งกำเนิดเลเซอร์แบบ
สามอิเล็กโทรด " การประชุมทางวิชาการ วิศวกรรมไฟฟ้าครั้งที่ 13 ,
หน้า 50 -60 , ภาควิชา วิศวกรรมมาไฟฟ้า คณะวิศวกรรมศาสตร์
มหาวิทยาลัยเชียงใหม่ , 2533
- [10] SAMUEL SEELY . RADIO ELECTRONICS . New York :
McGRAW - HILL BOOK COMPANY , 1965
- [11] DONALD L. SCHILLING and BELOVE . ELECTRONIC CIRCUITS :
Discrete and Integrated .Tokyo : McGRAW - HILL KOGAKUSHA,
1986
- [12] P.K. CHEO . " Steady-state CO₂ laser model . " Journal of
Quantum Electron , volume 3 , IEEE(1967) , pp.79-82

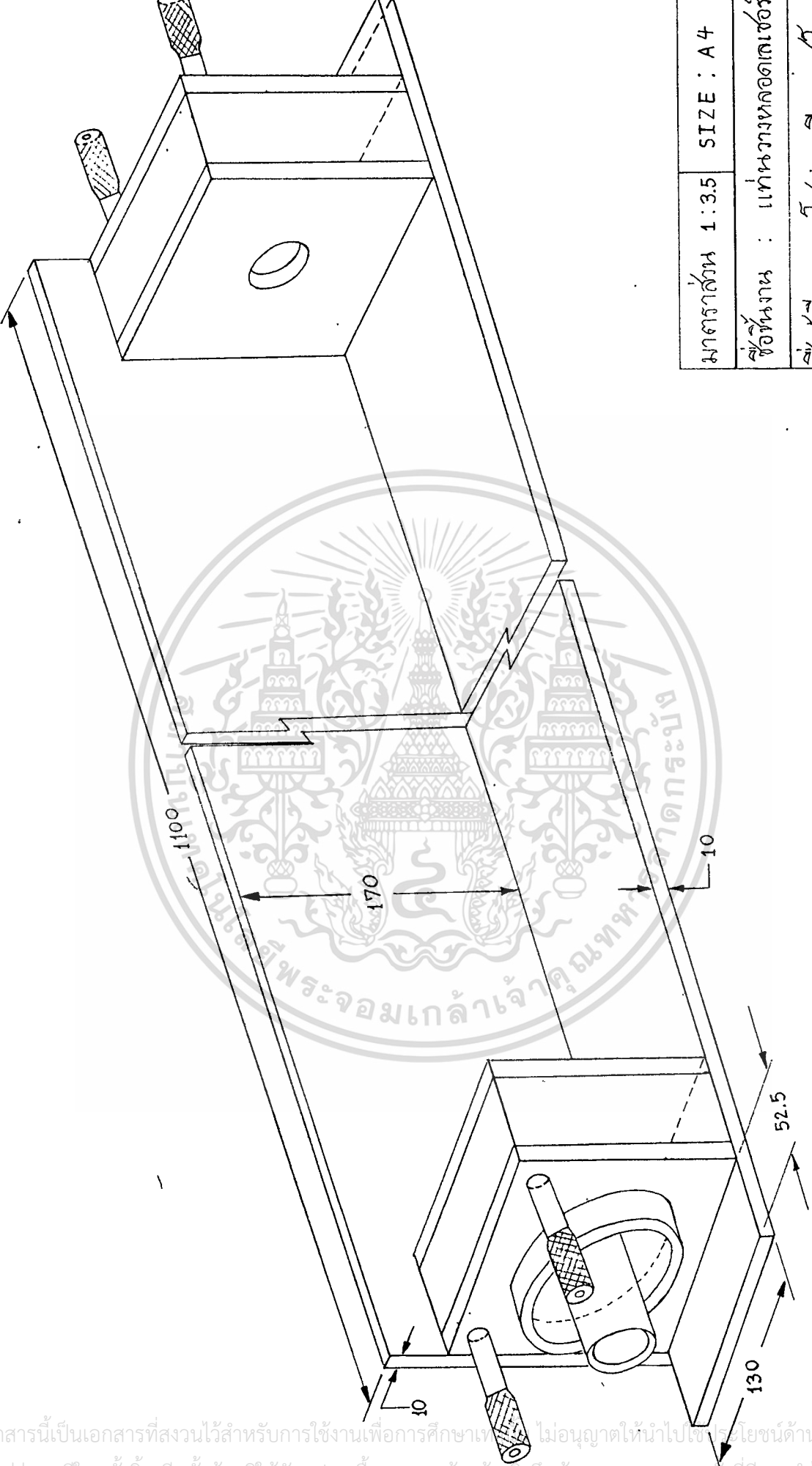


แบบแสดงรายละเอียดของหัวปรับกระจกและแท่นวางแหล่งกำเนิดเลเซอร์



มาตราส่วน 1:2	SIZE: A4
ชื่อชิ้นงาน : หัวปรับกระจก	
ชื่อผู้เขียน : ไศภณ สีลายุทธ์โท	

เอกสารนี้เป็นเอกสารที่สงวนไว้สำหรับการใช้งานเพื่อการศึกษาเท่านั้น ไม่อนุญาตให้นำไปใช้ประโยชน์ด้านการค้า ไม่ว่าจะกรณีใดๆทั้งสิ้น อีกทั้งห้ามมิให้ดัดแปลงเนื้อหา และต้องอ้างอิงถึงเจ้าของเอกสารทุกครั้งที่มีการนำไปใช้



มาตราส่วน 1:3.5	SIZE : A4
ชื่อผลงาน : แท่งวางหลอดเคเซอรั	
ชื่อผู้เขียน : ไสภัทล ลีลายุทธ์ไพ	

เอกสารนี้เป็นเอกสารที่สงวนไว้สำหรับการใช้งานเพื่อการศึกษาเท่านั้น ไม่อนุญาตให้นำไปเผยแพร่โดยไม่ขออนุญาต
 ไม่ว่าจะกรณีใดๆทั้งสิ้น อีกทั้งห้ามมิให้ดัดแปลงเนื้อหา และต้องอ้างอิงถึงเจ้าของเอกสารทุกครั้งที่มีการนำไปใช้



ภาคผนวก ข .

กราฟแสดงความสัมพันธ์ระหว่างความยาวคลื่นกับการส่งผ่านกระจก

Chemical vapor deposited ZnSe is an infrared material that transmits from .5 microns in the visible to 22 microns in the infrared.

Due to its low absorptivity at several laser wavelengths (as low as .0005 cm⁻¹ at 10.6 microns) ZnSe is excellent in many systems for lenses, windows, output couplers and beam splitters. For high power applications, it is critical that material bulk absorption and internal defect structure be fully controlled, that minimum-damage polishing technology be employed in fabricating the optics, and that the highest quality optical thinfilm coatings optimized to the type of application be utilized. II-VI employs a CO₂ laser vacuum calorimeter capable of resolving fractional absorption into the 10⁻⁵ range to monitor its production process and to constantly improve finished product performance. Our Quality Assurance department will provide testing and certification of specific optics.

Because of its broad transmission range and specifically its low absorption and scatter in the 8 to 14 micron region, ZnSe is a standard material for use in FLIR and other infrared instrument or imaging systems. II-VI offers a large selection of AR, reflective and beamsplitter coatings which can be tailored to specific application needs. Several representative examples follow in this catalog.

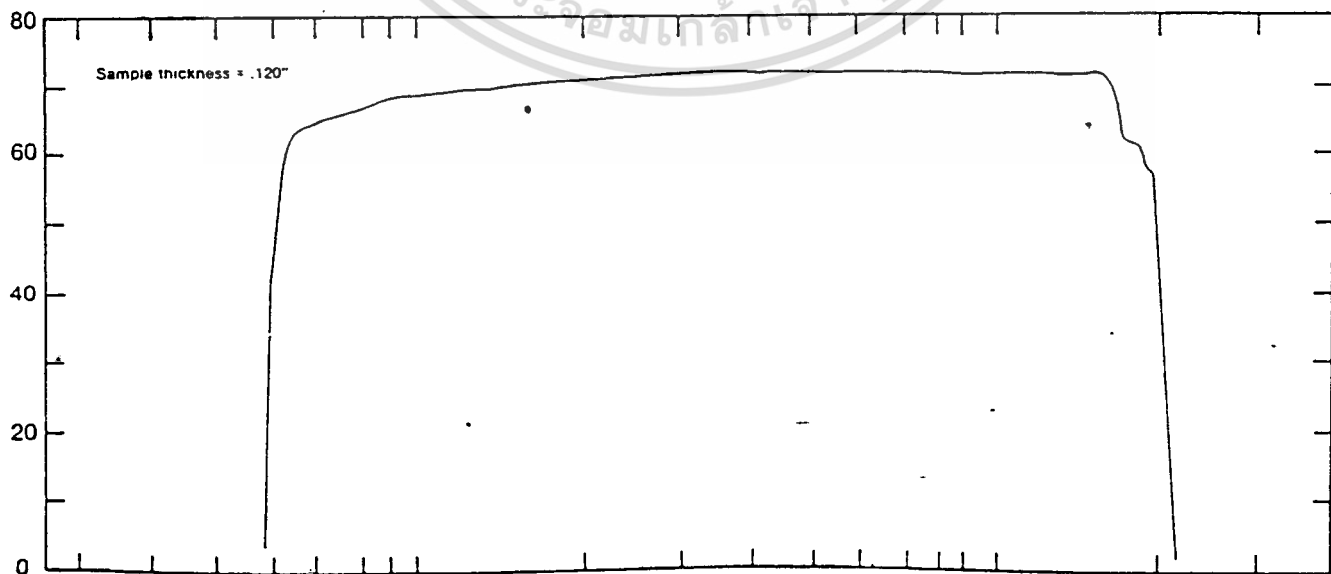
ZnSe optics are routinely polished at diameters of 10 to 15 cm, and sizes in excess of 30 cm diameter and 2.5 cm thick have been manufactured to customer requirements.

ZnSe is non-hygroscopic, chemically stable unless treated with strong acids, and safe to use in industrial and field applications as well as in laboratory environments.

MATERIAL PROPERTIES

Bulk Absorptivity (cm ⁻¹ @ 10.6 μm)	≤ .0015	Temperature Change of Refractive Index (10 ⁻⁶ /C°)	64.
Thermal Conductivity (W/cm-C°)	.18	Refractive Index @ 10.6 μm	2.40
Thermal Expansion Coefficient (10 ⁻⁶ /C°)	7.6	Hardness (Knoop)	130.
		Rupture Modulus (psi)	8000.

TRANSMISSION OF UNCOATED ZnSe



เอกสารนี้เป็นเอกสารที่ใช้งานไว้สำหรับการใช้งานเพื่อการศึกษาเท่านั้น ไม่อนุญาตให้ไปใช้ประโยชน์ด้านการค้า
 ไม่ทำการแก้ไขทั้งสิ้น อีกทั้งห้ามมิให้ตัดหรือเปลี่ยนแปลงข้อมูลของเอกสารทุกครั้งที่มีการนำไปใช้

semi-insulating optical GaAs provides an alternative to in medium and high power CW CO₂ laser systems for lenses and beamsplitters. GaAs is particularly useful in applications where toughness and durability are important. Hardness and strength make GaAs a good choice where abrasive particles from a workpiece tend to build up or bombard an optical surface. Softer substrates allow particles to embed in the optic even when the best of oils is used. Often in cases where frequent cleaning by polishing is required, use of GaAs will extend optic lifetime. In CW CO₂ laser output coupler applications, where the surface Fresnel reflection of GaAs (R = 28%) can be used as a tough coupler with minimum coating absorption (no coating) is produced which can operate into the multi-

kilowatt range. The residual absorption due to the substrate and AR coating is effectively conducted out of the optic by the good thermal conductivity of GaAs (2.67 times that of ZnSe).

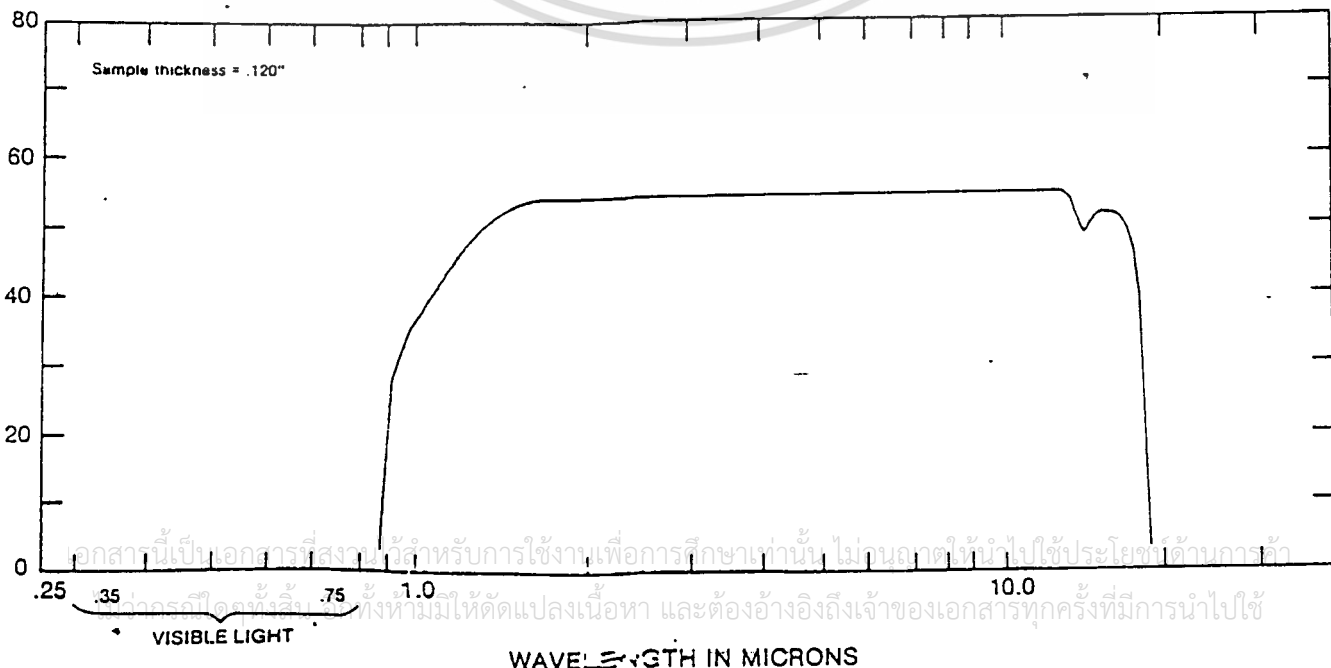
In these and other GaAs CO₂ laser applications, reliable control of substrate quality is crucial. At II-VI we utilize our laser vacuum calorimetry capability and other inspection techniques to screen out material with voids, inclusions or other defects which cause inferior GaAs performance.

GaAs optics are limited by crystal growth technology to dimensions in the 5 to 7 cm range. The material is non-hygroscopic, safe to use in laboratory and field applications and it is chemically stable except when contacted with strong acids.

MATERIAL PROPERTIES

Bulk Absorptivity (cm ⁻¹ @ 10.6 μm)	≤ .010	Temperature Change of Refractive Index (10 ⁻⁶ /C°)	149.
Thermal Conductivity (W/cm-C°)	.48	Refractive Index @ 10.6 μm	3.27
Thermal Expansion Coefficient (10 ⁻⁶ /C°)	5.7	Hardness (Knoop)	750.
		Rupture Modulus (psi)	20000.

TRANSMISSION OF UNCOATED GaAs



เอกสารนี้เป็นเอกสารที่สงวนไว้สำหรับการใช้งานเพื่อการศึกษาเท่านั้น ไม่อนุญาตให้นำไปใช้ประโยชน์อื่นใด
 เอกสารนี้จัดทำขึ้นเพื่อใช้สำหรับให้ข้อมูลเบื้องต้น และต้องอ้างอิงถึงเจ้าของเอกสารทุกครั้งที่มีการนำไปใช้

Cadmium telluride has an infrared transmission range which extends from one micron in the near IR to greater than 25 microns in the mid-IR. The absorptivity of II-VI electrooptic CdTe at 10.6 microns is low at $< 0.02 \text{ cm}^{-1}$ however, due to its thermal conductivity (approximately a third that of Ge) CdTe is limited to use in CO₂ laser systems with CW power levels up to a few hundred watts

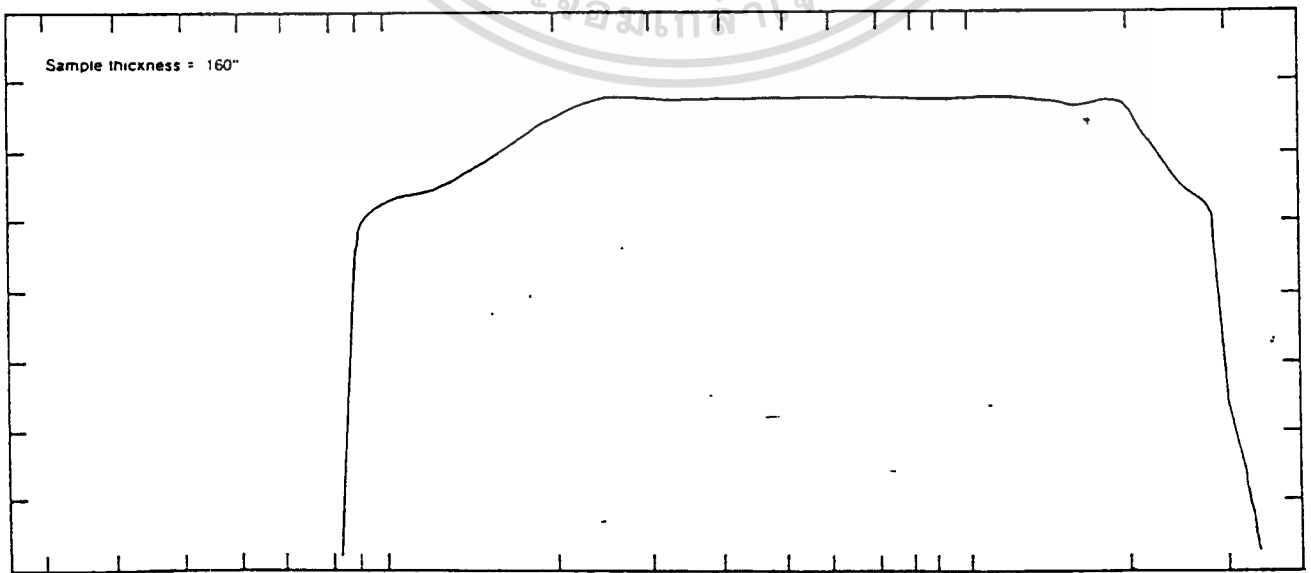
CdTe is used successfully as an output coupler in some commercial CO₂ lasers.

CdTe is an ideal choice for filter substrates in the 12 to 25 micron region where many materials have lowered and variable transmission due to the presence of absorption bands

MATERIAL PROPERTIES

Bulk Absorptivity (cm^{-1} @ 10.6 μm)	$\leq .0018$	Temperature Change of Refractive Index ($10^{-6}/\text{C}^\circ$)	107
Thermal Conductivity ($\text{W}/\text{cm}\cdot\text{C}^\circ$)	.06	Refractive Index @ 10.6 μm	2.67
Thermal Expansion Coefficient ($10^{-6}/\text{C}^\circ$)	5.9	Hardness (Knoop)	45.
		Rupture Modulus (psi)	3200.

TRANSMISSION OF UNCOATED CdTe



0.25 0.35 0.75 10.0
 VISIBLE LIGHT WAVELENGTH IN MICRONS

Data

ase

Product Type 0° Phase Shift Mirror

Customer LASER LEE GROUP

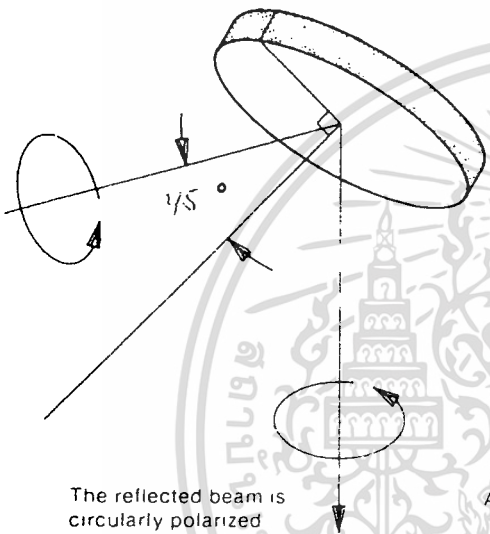
Purchase Order 6-22-92

II-VI Sales Order 60937

Description 10" Ø X 0.250" (S.M.)

d

TEST PARAMETERS



All tests are performed at 10.6μ at 45 degrees angle of incidence

A witness sample from each coating run is tested for percent absorption at 10.6μ, 45 degrees AOI

The reflected beam is circularly polarized

Absorption 0.57% on W S @ 45 AOI

SERIAL NUMBER

% REFLECTIVITY

PHASE RETARDATION

80-22085 12

79.5

0.2

เอกสารนี้เป็นเอกสารที่สงวนไว้สำหรับการใช้งานเพื่อการศึกษาเท่านั้น ไม่อนุญาตให้นำไปใช้ประโยชน์ด้านการค้า
ไม่ว่ากรณีใดๆทั้งสิ้น อีกทั้งห้ามมิให้ดัดแปลงเนื้อหา และต้องอ้างอิงถึงเจ้าของเอกสารทุกครั้งที่มีการนำไปใช้

ประวัติผู้เขียน

นาย ภิภพ ลีลาฤทธิ์เกิด เกิดเมื่อวันที่ 8 กันยายน พ.ศ.2509 ที่จังหวัด ชลบุรี เป็นบุตรชายคนโตในจำนวนพี่น้อง 4 คนของ นายสันติและนางยุ้น ลีลาฤทธิ์ สำเร็จการศึกษาปริญญาวิศวกรรมศาสตรบัณฑิต สาขาวิศวกรรมควบคุม จากสถาบัน เทคโนโลยีนเรศวรจอมเกล้าเจ้าคุณทหารลาดกระบัง ปีการศึกษา 2530 เข้าศึกษาต่อ ระดับปริญญาวิศวกรรมศาสตรมหาบัณฑิต สาขาวิศวกรรมไฟฟ้า คณะวิศวกรรมศาสตร์ สถาบันเทคโนโลยีนเรศวรจอมเกล้าเจ้าคุณทหารลาดกระบัง ปีการศึกษา 2531 มีผลงาน ทางวิชาการที่ได้รับการยอมรับนอกเหนือจากวิทยานิพนธ์จำนวน 1 เรื่อง ได้แก่ การ ออกแบบและสร้างแหล่งกำเนิดเลเซอร์แบบสามอิลเลคทรด เคยได้รับทุนการศึกษาขณะ ศึกษาในระดับปริญญาโทบัณฑิต เมื่อปีการศึกษา 2532 ประสบการณ์การทำงานเคย เป็นอาจารย์พิเศษสอนนักศึกษาระดับปริญญาบัณฑิต ภาควิชาวิศวกรรมควบคุม คณะวิศวกรรม ศาสตร์ สถาบันเทคโนโลยีนเรศวรจอมเกล้าเจ้าคุณทหารลาดกระบัง เมื่อปีการศึกษา 2531 ถึง 2532

